



การพัฒนาแผนภูมิการออกแบบแบบบนพื้นฐานของความน่าเชื่อถือสำหรับกำแพงกันดิน

**Development of Reliability – Based Design Charts for Retaining Walls**

ศุจิวิศว์ จิริยะเลอพงษ์

**Sujiwit Jariyalerpong**

วิทยานิพนธ์นี้เป็นส่วนหนึ่งของการศึกษาตามหลักสูตรปริญญา

วิศวกรรมศาสตรมหาบัณฑิต สาขาวิชาวิศวกรรมโยธา

มหาวิทยาลัยสงขลานครินทร์

**A Thesis Submitted in Partial Fulfillment of the Requirements for the Degree of**

**Master of Engineering in Civil Engineering**

**Prince of Songkla University**

**2553**

**ลิขสิทธิ์ของมหาวิทยาลัยสงขลานครินทร์**

(1)

ชื่อวิทยานิพนธ์	การพัฒนาแผนภูมิการออกแบบบนพื้นฐานของความน่าเชื่อถือสำหรับ กำแพงกันดิน
ผู้เขียน	นายศุภิวิศว์ จริยะเลอพงษ์
สาขาวิชา	วิศวกรรมโยธา

---

### อาจารย์ที่ปรึกษาวิทยานิพนธ์หลัก

.....  
(รองศาสตราจารย์ ดร.ธนิต เนลิมขานนท์)

### คณะกรรมการสอบ

.....  
ประธานกรรมการ  
(รองศาสตราจารย์ ดร.สุชาติ ลิ่มกตัญญู)

### อาจารย์ที่ปรึกษาวิทยานิพนธ์ร่วม

.....  
(ดร.พิพัฒน์ ทองจิม)

.....  
กรรมการ  
(รองศาสตราจารย์ ดร.ธนิต เนลิมขานนท์)

.....  
กรรมการ  
(ดร.พิพัฒน์ ทองจิม)

.....  
กรรมการ  
(ผู้ช่วยศาสตราจารย์ ดร.สุทธิศักดิ์ ศรลัมพ์)

บัณฑิตวิทยาลัย มหาวิทยาลัยสงขลานครินทร์ อนุมัติให้นับวิทยานิพนธ์ฉบับนี้  
เป็นส่วนหนึ่งของการศึกษา ตามหลักสูตรปริญญาวิศวกรรมศาสตรมหาบัณฑิต สาขาวิชาวิศวกรรม  
โยธา

.....  
(ศาสตราจารย์ ดร.อมรรัตน์ พงศ์คุรา)   
คณบดีบัณฑิตวิทยาลัย

ชื่อวิทยานิพนธ์	การพัฒนาแผนภูมิการออกแบบแบบบันพื้นฐานของความน่าเชื่อถือสำหรับกำแพงกันดิน
ผู้เขียน	นายศุภจิวิศว์ จริยะเลอพงษ์
สาขาวิชา	วิศวกรรมโยธา
ปีการศึกษา	2553

### บทคัดย่อ

ความไม่แน่นอนของคุณสมบัติของทรายทำให้เกิดปัญหาในการวิเคราะห์เสถียรภาพของกำแพงกันดิน ในการศึกษาครั้งนี้ทฤษฎีความน่าจะเป็นถูกใช้ในการประเมินผลของความไม่แน่นอนของคุณสมบัติของทรายต่อเสถียรภาพของกำแพงกันดิน ค่าเสถียรภาพของกำแพงกันดินถูกคำนวณในรูปแบบของค่าอัตราส่วนความปลอดภัย (FS) และค่าผลต่างความปลอดภัย (SM) ค่าความน่าจะเป็นในการพิบัติของกำแพงกันดิน ( $P_f$ ) ถูกคำนวณด้วยวิธี First Order Second Moment (FOSM) และวิธี Monte Carlo Simulation (MCS) ผลการศึกษาพบว่าตัวแปรที่มีความสำคัญต่อการวิเคราะห์เสถียรภาพของกำแพงกันดิน โดยความน่าจะเป็นประกอบด้วย ค่าอัตราส่วนระหว่างความกว้างต่อความสูงของกำแพงกันดิน (L/H), ค่าเฉลี่ยมุมเสียดทานภายในของทราย ( $\mu_\phi$ ), ค่าสัมประสิทธิ์แห่งความแปรผันของค่ามุมเสียดทานภายในของทราย ( $COV_\phi$ ) ซึ่งตัวแปรดังกล่าวถูกนำมาใช้ในการออกแบบกำแพงกันดินโดยความน่าจะเป็น ซึ่งสามารถแสดงผลในรูปของแผนภูมิการออกแบบแบบบันพื้นฐานของความน่าเชื่อถือ (RBD) ซึ่งเป็น Charts ที่ใช้ออกแบบค่า L/H สำหรับค่า  $\mu_\phi$  และ  $COV_\phi$  ต่างๆตามค่า  $P_f$  ที่กำหนด สำหรับการพิบัติจากการเลื่อนไถล, การพิบัติจากการพลิกคว่ำ และการพิบัติเนื่องจากดินได้ฐานรากมีกำลังรับแรงเบกทานไม่เพียงพอ จากการใช้ Charts ในการออกแบบพบว่าค่า L/H ที่ต้องการจะมีค่าลดลงเมื่อค่า  $\mu_\phi$  ที่ใช้สำหรับทำการคำนวณมีค่าสูงขึ้น แต่ค่า L/H ที่ต้องการจะมีค่ามากขึ้นเมื่อค่า  $COV_\phi$  ที่ใช้สำหรับทำการคำนวณมีค่าสูงขึ้น ผลการตรวจสอบความน่าเชื่อถือของ Charts พบร่วมค่า L/H ที่หาได้จาก RBD Charts มีค่าใกล้เคียงกับผลที่คำนวณได้จาก Conventional method

**คำหลัก :** เสถียรภาพของกำแพงกันดิน, ความน่าจะเป็นในการพิบัติของกำแพงกันดิน, การวิเคราะห์โดยความน่าจะเป็น

<b>Thesis Title</b>	Development of Reliability – Based Design Charts for Retaining Walls
<b>Author</b>	Mr. Sujiwit Jariyalerpong
<b>Major Program</b>	Civil Engineering
<b>Academic Year</b>	2553

## **ABSTRACT**

Uncertainty in properties of cohesionless soils may lead to problems in retaining walls stability analysis. In this study, the probabilistic approach was used for evaluating uncertainty of sand properties on retaining walls stability. The stability of retaining walls was determined in terms of factor of safety (FS) and safety margin (SM). Probability of failure of retaining walls ( $P_f$ ) was analyzed using First Order Second Moment method (FOSM) and Monte Carlo Simulation method (MCS). Study results indicated that the ratio of width to height of retaining walls (L/H), the mean of internal friction angle of sand ( $\mu_\phi$ ), coefficient of variation of the internal friction angle of sand ( $COV_\phi$ ) were found to be significant parameters for probabilistic analysis of retaining walls stability. These variables were used to develop reliability - based design charts (RBD charts), which can be used to design value of L/H for a set of  $\mu_\phi$  and  $COV_\phi$  for any target probability of failure for sliding, overturning and bearing capacity modes. Analytical results showed that, the value of L/H decreased with increasing  $\mu_\phi$  but increased with increasing  $COV_\phi$ . In addition, the L/H values obtained from RBD charts were similar to those obtained from the conventional method.

**Keywords :** Retaining Walls Stability, Probability of Failure of Retaining Walls, Probability Analysis

## สารบัญ

	หน้า
<b>สารบัญ</b>	(6)
รายการตาราง	(8)
รายการภาพประกอบ	(9)
<b>สัญลักษณ์คำย่อและตัวย่อ</b>	(12)
<b>บทที่</b>	
<b>1 บทนำ</b>	
1.1 ความสำคัญและที่มาของงานวิจัย	1
1.2 วัตถุประสงค์ของงานวิจัย	3
1.3 ขอบเขตของงานวิจัย	3
<b>2 แนวคิดและทฤษฎีที่เกี่ยวข้อง</b>	
2.1 ทฤษฎีเสถียรภาพของกำแพงกันดิน	5
2.2 ความไม่แน่นอนในคุณสมบัติของดิน	14
2.3 วิธีการวิเคราะห์เสถียรภาพของกำแพงกันดินโดยความน่าจะเป็น	17
2.4 ความน่าจะเป็นในการพิบัติของโครงสร้างในงานวิศวกรรมโยธา	25
2.5 งานวิจัยที่เกี่ยวข้อง	26
<b>3 วิธีดำเนินการวิจัย</b>	
3.1 การกำหนดลักษณะทางกายภาพของกำแพงกันดิน	33
3.2 ตัวแปรที่มีผลต่อเสถียรภาพของกำแพงกันดิน	34
3.3 การคำนวณค่าความน่าจะเป็นในการพิบัติ	34
3.4 การสร้าง Design Charts	40
3.5 การตรวจสอบความถูกต้องของ Design Charts	46
<b>4 ผลการวิจัยและการวิจารณ์</b>	
4.1 ผลการคำนวณค่าความน่าจะเป็นในการพิบัติของกำแพงกันดินโดยความน่าจะเป็น	49
4.2 การพัฒนา Design Charts	55

## สารบัญ (ต่อ)

	หน้า
4.3 การเปรียบเทียบ Design charts	74
4.4 ผลการตรวจสอบความถูกต้อง Design Charts	86
<b>5 สรุปผลการวิจัย</b>	
5.1 สรุปผลการวิจัย	88
<b>บรรณานุกรม</b>	91
<b>ภาคผนวก</b>	
ก. ขั้นตอนการคำนวณความแปรปรวนของค่าเสถียรภาพของกำแพงกันดิน	
ด้วยวิธี FOSM โดยใช้ค่า $FS_s$	94
ข. ค่าอัตราส่วนขนาดของโครงสร้างกำแพงกันดินสำหรับใช้พัฒนา	
Design charts	99
<b>การเผยแพร่ผลงานวิทยานิพนธ์</b>	
ก. การเผยแพร่ในการประชุมวิชาการ	112
<b>ประวัติผู้เขียน</b>	119

## รายการตาราง

ตารางที่	หน้า
2.1 Summary of Inherent Variability of Strength Properties (Phoon et al., 1995)	27
2.2 Comparative Study for Cross Sectional Area of Retaining Wall (in $m^2$ ) (Babu and Basha, 2004)	31
4.1 ผลการคำนวณค่าความน่าจะเป็นในการพิบัติ ( $P_r$ ) ของกำแพงดิน	50
4.2 เปรียบเทียบผลการคำนวณที่ได้จากการคำนวณด้วยวิธี FOSM และ MCS สำหรับ SM	79
4.3 เปรียบเทียบผลการคำนวณที่ได้จากการคำนวณด้วยวิธี FOSM และ MCS เมื่อ $\frac{L}{H}$ กำหนดให้ใช้ค่า $\frac{L}{H}$ เท่ากัน	79
4.4 การเปรียบเทียบผลที่ได้จากการศึกษา กับผลการคำนวณด้วย Conventional method	87

## รายการภาพประกอบ

รูปที่	หน้า
1.1 การใช้ประโยชน์กำแพงกันดิน	2
1.2 ลักษณะกำแพงกันดินกำแพงกันดินที่จะทำการวิเคราะห์	4
2.1 แรงดันดินด้านข้างบนกำแพงกันดิน	6
2.2 Free body diagram ของแรงเพื่อใช้วิเคราะห์ Sliding mode	11
2.3 Free body diagram ของแรงเพื่อใช้วิเคราะห์ Overturning mode	12
2.4 Free body diagram ของแรงเพื่อใช้วิเคราะห์ Bearing capacity mode	14
2.5 ความไม่แน่นอนในคุณสมบัติของดิน (Christian et al., 1992)	15
2.6 การหาความน่าจะเป็นในการพิบัติจากค่าการกระจายตัว	20
2.7 การกระจายตัวแบบสม่ำเสมอ (Uniform distribution (0, 1))	23
2.8 การกระจายตัวแบบปกติ (Normal distribution)	24
2.9 การกระจายตัวโดยมีการคำนวณค่า Realization ของ $\phi$	25
2.10 ความสัมพันธ์ของค่าความน่าจะเป็นในการพิบัติของโครงสร้างในงานวิศวกรรม โยธาและมูลค่าความเสียหายในชีวิตอันเป็นผลที่ตามมาจากการพิบัติ (After Baecher 1987)	26
2.11 ความสัมพันธ์ระหว่าง $\lambda$ (a) and $\eta$ (b) and $COV_{\phi}$ with $P_f = 0.0001$ for $COV_T = 5%, 10%, 15% \text{ และ } 20$ (Chalermyanont, 2004)	28
3.1 แผนผังแสดงขั้นตอนของวิธีคำนวณการวิจัย	32
3.2 ลักษณะของกำแพงกันดินที่ใช้ทำการศึกษา	33
3.3 Probabilistic Analysis (ดัดแปลงจาก Chalermyanont and Benson, 2004)	35
3.4 ขั้นตอนการคำนวณค่า $P_f$ ด้วยวิธี FOSM โดยใช้ค่าอัตราส่วนความปลอดภัย (FS)	37

## รายการภาพประกอบ (ต่อ)

รูปที่	หน้า
3.5 ขั้นตอนการคำนวณค่า $P_f$ ด้วยวิธี MCS โดยใช้ค่าอัตราส่วนความปลอดภัย (FS)	39
3.6 ขั้นตอนการสร้าง Design charts จากการคำนวณด้วยวิธี FOSM โดยใช้ค่าอัตราส่วนความปลอดภัย (FS)	42
3.7 ขั้นตอนการสร้าง Design charts จากการคำนวณด้วยวิธี MCS โดยใช้ค่าอัตราส่วนความปลอดภัย (FS)	44
3.8 Flow charts ขั้นตอนการตรวจสอบความถูกต้องของ Design charts ที่ได้จากการหาค่าเสถียรภาพแบบ FS	47
3.9 Flow charts ขั้นตอนการตรวจสอบความถูกต้องของ Design charts ที่ได้จากการหาค่าเสถียรภาพแบบ SM	48
4.1 ลักษณะการกระจายตัวของค่าเสถียรภาพของกำแพงกันดินการคำนวณด้วยวิธี MCS โดยใช้ค่า FS: เมื่อ $\frac{L}{H} = 0.27$ , $\mu_\phi = 35^\circ$ , $COV_\phi = 10\%$ และ $\gamma = 18 \text{ kN/m}^3$	51
4.2 ลักษณะการกระจายตัวของค่าเสถียรภาพของกำแพงกันดินการคำนวณด้วยวิธี MCS โดยใช้ค่า SM: เมื่อ $\frac{L}{H} = 0.27$ , $\mu_\phi = 35^\circ$ , $COV_\phi = 10\%$ และ $\gamma = 18 \text{ kN/m}^3$	52
4.3 ความสัมพันธ์ระหว่างจำนวนครั้งที่ทำการคำนวณซ้ำ (N) กับค่า $P_f$ สำหรับ การคำนวณด้วยวิธี MCS โดยใช้ค่า FS	53
4.4 ความสัมพันธ์ระหว่างจำนวนครั้งที่ทำการคำนวณซ้ำ (N) กับค่า $P_f$ สำหรับ การคำนวณด้วยวิธี MCS โดยใช้ค่า SM	54
4.5 กราฟแสดงความสัมพันธ์ระหว่างค่า $\frac{L}{H}$ กับค่า $\mu_\phi$ และความสัมพันธ์ระหว่าง ค่า $\frac{L}{H}$ กับค่า $COV_\phi$	55
4.6 Design charts สำหรับ Sliding mode ที่ได้จากการวิธี FOSM โดยใช้ค่า FS	56
4.7 Design charts สำหรับ Overturning mode ที่ได้จากการวิธี FOSM โดยใช้ค่า FS	57
4.8 Design charts สำหรับ Bearing capacity mode ที่ได้จากการวิธี FOSM โดยใช้ค่า FS	58
4.9 ลักษณะการกระจายตัวของค่า FS ของ Sliding mode ที่ได้จากการคำนวณด้วยวิธี FOSM	59

## รายการภาพประกอบ (ต่อ)

รูปที่	หน้า
4.10 ลักษณะการกระจายตัวของค่า FS ของ Overturning mode ที่ได้จากการคำนวณด้วยวิธี FOSM	60
4.11 ลักษณะการกระจายตัวของค่า FS ของ Bearing capacity mode ที่ได้จากการคำนวณด้วยวิธี FOSM	60
4.12 Design charts สำหรับ Sliding mode ที่ได้จาก FOSM โดยใช้ค่า SM	61
4.13 Design charts สำหรับ Overturning mode ได้จาก FOSM โดยใช้ค่า SM	62
4.14 Design charts สำหรับ Bearing capacity mode ได้จาก FOSM โดยใช้ค่า SM	63
4.15 ผลของการเปลี่ยนแปลงค่าหน่วยน้ำหนักจากการคำนวณด้วยวิธี MCS โดยใช้ค่า SM ที่ค่า $P_f = 0.01$	65
4.16 Design charts สำหรับ Sliding mode ที่ได้จาก MCS โดยใช้ค่า FS	66
4.17 Design charts สำหรับ Overturning mode ที่ได้จาก MCS โดยใช้ค่า FS	67
4.18 Design charts สำหรับ Bearing capacity mode ที่ได้จาก MCS โดยใช้ค่า FS	68
4.19 Design charts for Sliding mode ที่ได้จาก MCS โดยใช้ค่า SM	70
4.20 Design charts สำหรับ Overturning mode ที่ได้จาก MCS โดยใช้ค่า SM	71
4.21 Design charts สำหรับ Bearing capacity mode ที่ได้จาก MCS โดยใช้ค่า SM	72
4.22 การเปรียบเทียบ Design charts ที่ได้จากวิธี MCS (Sliding mode)	75
4.23 การเปรียบเทียบ Design charts ที่ได้จากวิธี MCS (Overturning mode)	76
4.24 การเปรียบเทียบ Design charts ที่ได้จากวิธี MCS (Bearing capacity mode)	77
4.25 การเปรียบเทียบ Design charts ที่ได้จากวิธี MCS และ FOSM	80
4.26 การเปรียบเทียบ Design charts ที่ได้จากวิธี MCS และ FOSM	81
4.27 การเปรียบเทียบ Design charts ที่ได้จากวิธี MCS และ FOSM	82
4.28 การเปรียบเทียบ Design charts ที่ได้จากวิธี MCS (FS), MCS (SM) และ FOSM (SM) (Sliding mode)	83
4.29 การเปรียบเทียบ Design charts ที่ได้จากวิธี MCS (FS), MCS (SM) และ FOSM (SM) (Overturning mode)	84
4.30 การเปรียบเทียบ Design charts ที่ได้จากวิธี MCS (FS), MCS (SM) และ FOSM (SM) (Bearing capacity mode)	85

## บทที่ 1

### บทนำ

#### 1.1 ความสำคัญและที่มาของงานวิจัย

ปัจจุบันโครงการก่อสร้างต่างๆมักมีการอบรมดินเพื่อปรับระดับหน้าดินให้เหมาะสมกับการใช้งาน ในกรณีที่ระดับดินมีความสูงต่ำไม่เท่ากันมีการเลือกกำแพงกันดินมาใช้เป็นส่วนหนึ่งของโครงสร้าง และพบว่ากำแพงกันดินที่ใช้งานยังมีบางส่วนที่ยังเกิดการพิบัติทั้งๆที่ในการออกแบบก็ได้ทำการเลือกใช้อัตราส่วนความปลดภัยที่มีค่าสูงและน่าจะเหมาะสมแล้ว สาเหตุหนึ่งในการพิบัติที่น่าสนใจคือ ค่าคุณสมบัติของดินที่ใช้ในการวิเคราะห์ออกแบบมีความถูกต้องเหมาะสมเพียงใด เนื่องจากดินเป็นวัสดุก่อสร้างที่เกิดขึ้นเองตามธรรมชาติจึงส่งผลให้ค่าคุณสมบัติต่างๆของดินมักมีความไม่แน่นอน (Phoon et al., 1995) นอกจากนั้นความไม่แน่นอนของค่าคุณสมบัติของดินยังอาจเกิดขึ้นได้จากขั้นตอนการก่อสร้างที่ไม่ถูกต้องเหมาะสมเพียงพอ ดังนั้นในการวิเคราะห์ออกแบบกำแพงกันดินจึงควรคำนึงถึงค่าความไม่แน่นอนของคุณสมบัติของดินในขั้นตอนการคำนวณด้วย (Chalermyanont and Benson, 2004)

การศึกษาและวิเคราะห์พฤติกรรมการพิบัติของกำแพงกันดิน เชิงพื้นฐานทางปฏิวัติศาสตร์มีความสำคัญสำหรับการนำไปใช้ออกแบบป้องกันและแก้ไขผลกระทบที่เกิดจากการพิบัติหรือลักษณะงานต่างๆที่เกี่ยวกับการก่อสร้างกำแพงกันดิน ใน การวิเคราะห์และออกแบบกำแพงกันดินจะต้องพิจารณาถึงลักษณะการพิบัติทั้ง 3 รูปแบบของกำแพงกันดินอันได้แก่ การพิบัติจากการเลื่อนไถ (Sliding failure), การพิบัติจากการพลิกคว่ำ (Overturning failure) และการพิบัติจากการใต้ฐานรากมีกำลังด้านแรงแบกท่านไม่เพียงพอ (Bearing capacity failure) ความถูกต้องของผลการวิเคราะห์ความพิบัติเหล่านี้จะขึ้นอยู่กับความถูกต้องของค่าคุณสมบัติของดินที่ใช้ในการวิเคราะห์ และความถูกต้องของสมการที่ใช้ในการวิเคราะห์ที่ต้องสามารถแสดงกลไกการพิบัติที่เกิดขึ้นจริง ซึ่งค่าคุณสมบัติของดินดังกล่าวมักมีความไม่แน่นอน (Uncertainty) ตามธรรมชาติ (Phoon et al., 1995) จึงอาจก่อให้เกิดความผิดพลาดในการคำนวณเสถียรภาพของกำแพงกันดินได้

ในทางปฏิบัติวิศวกรจัดการกับความไม่แน่นอนทั้งหมดโดย กำหนดอัตราส่วนความปลอดภัย (Factor of safety) ให้สูงเพื่อชดเชยกับความไม่แน่นอนแต่อย่างไรก็ตาม การใช้อัตราส่วนความปลอดภัยสูงเกินไปก็อาจทำให้เกิดราคาการก่อสร้างที่สูงขึ้น ในขณะที่การใช้อัตราส่วนความปลอดภัยต่ำเกินไปก็อาจทำให้เกิดการพิบัติของกำแพงกันดินได้ การคำนวณโดยนำทฤษฎีความน่าจะเป็นเข้ามามีส่วนร่วมในการวิเคราะห์ (Probabilistic analysis) เป็นการวิเคราะห์ที่นำข้อมูลทางสถิติอย่างมีระบบ เช่น การจำลองความไม่แน่นอนของคุณสมบัติของดินด้วย Probability density function ซึ่งสามารถอธิบายได้โดยค่าเฉลี่ย (Mean) และค่าสัมประสิทธิ์แห่งความแปรผัน (Coefficient of variation; COV) ซึ่งจะให้ผลการวิเคราะห์ของเสถียรภาพของกำแพงกันดินในรูปแบบของความน่าจะเป็นในการพิบัติ (Probability of failure) (Degroot , 1996)

งานวิจัยนี้ใช้ Probabilistic analysis เพื่อจัดการกับความไม่แน่นอนของค่าคุณสมบัติของดินที่จะใช้ในการคำนวณ โดยอาศัยหลักการของ First order second moment method (FOSM) และ Monte carlo simulation (MCS) มาทำการวิเคราะห์เสถียรภาพของกำแพงกันดินแล้วนำเสนอในรูปแบบของ Charts ที่สามารถนำไปใช้ในการออกแบบกำแพงกันดินได้ ซึ่งจะเน้นไปที่การออกแบบโดยการใช้ค่า Probability of failure แทนที่จะเป็น Factor of safety



รูปที่ 1.1 การใช้ประโยชน์กำแพงกันดิน

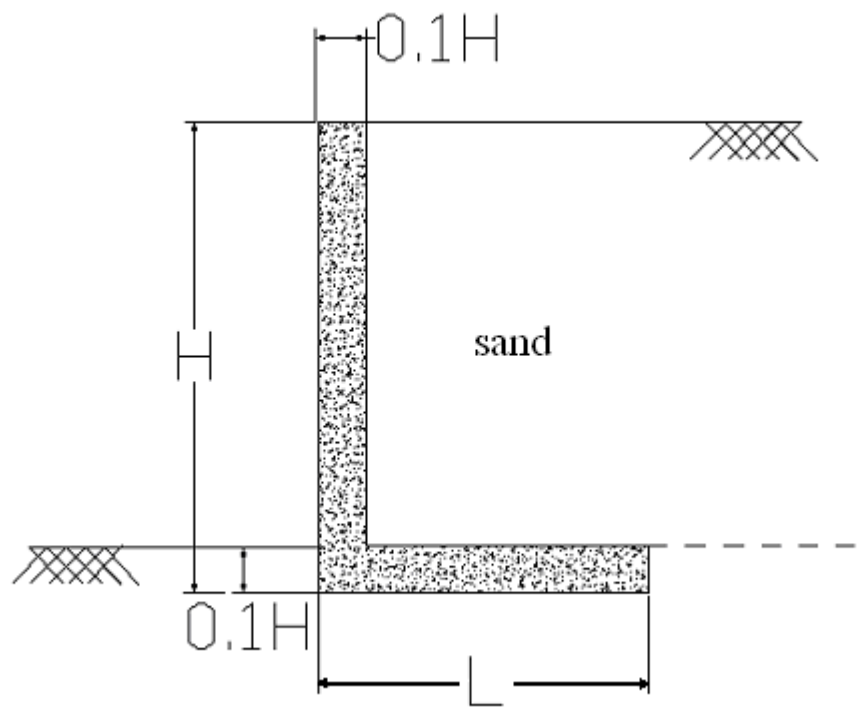
## 1.2 วัตถุประสงค์ของงานวิจัย

- 1.2.1 ใช้ Probabilistic analysis จัดการกับความไม่แน่นอนของคุณสมบัติของดิน (Uncertainty of soil properties) โดยแสดงผลการคำนวณเสถียรภาพของกำแพงกันดินในรูปของ Probability of failure
- 1.2.2 พัฒนาวิธีการวิเคราะห์เสถียรภาพของกำแพงกันดินใหม่โดยอาศัยหลักของความน่าจะเป็นนำเสนอในรูปแบบของ Design chart

## 1.3 ขอบเขตของงานวิจัย

ปัญหาเสถียรภาพของกำแพงกันดินขึ้นอยู่กับขนาดฐานปร่างของโครงสร้างกำแพงกันดินและความไม่แน่นอนของค่าคุณสมบัติของดินอันอาจเกิดจากธรรมชาติหรือจากขั้นตอนการก่อสร้าง เพื่อควบคุมความผิดพลาดในการวิเคราะห์เสถียรภาพของกำแพงกันดิน จึงจำเป็นต้องทำการจัดขอบเขตในการศึกษา ดังนี้

- 1.3.1 ลักษณะของโครงสร้างกำแพงกันดินเป็นคอนกรีตมีลักษณะเป็น L – Shape (Liu and Evett, 2004) โดยที่ดินหน้ากำแพงมีส่วนช่วยในการเพิ่มเสถียรภาพของกำแพงกันดินด้วย (รูปที่ 1.2)
- 1.3.2 ดินที่ใช้ในการวิเคราะห์เป็นทรายสะอาด (Clean sand) ที่ไม่มีแรงขัดเหนียว



รูปที่ 1.2 ลักษณะกำแพงกันดินกำแพงกันดินที่จะทำการวิเคราะห์

## บทที่ 2

### แนวคิดและทฤษฎีที่เกี่ยวข้อง

การวิเคราะห์เสถียรภาพของกำแพงกันดินโดยอาศัยหลักทฤษฎีความน่าจะเป็นนั้น ผู้ที่ศึกษาต้องมีความเข้าใจในการประยุกต์ใช้ความรู้พื้นฐานทางด้านวิธีการวิเคราะห์เสถียรภาพของกำแพงกันดินและความรู้ทางด้านทฤษฎีความน่าจะเป็นมาพนวกร่วมกัน การศึกษารังน់ผู้วิจัยได้รวบรวมทฤษฎีหรือข้อมูลที่เกี่ยวข้องกับการศึกษาทั้งหมด โดยแบ่งออกเป็น 5 หัวข้อ ได้แก่

- 1) การวิเคราะห์เสถียรภาพของกำแพงกันดิน (Stability analysis of retaining walls)
- 2) ความไม่แน่นอนในคุณสมบัติของดิน (Uncertainty of soil properties)
- 3) การวิเคราะห์เสถียรภาพของกำแพงกันดินโดยความน่าจะเป็น (Probabilistic analysis of stability of retaining walls)
- 4) ความน่าจะเป็นในการพิบัติของโครงสร้างในงานวิศวกรรมโยธา
- 5) งานวิจัยที่เกี่ยวข้อง

#### 2.1 ทฤษฎีเสถียรภาพของกำแพงกันดิน

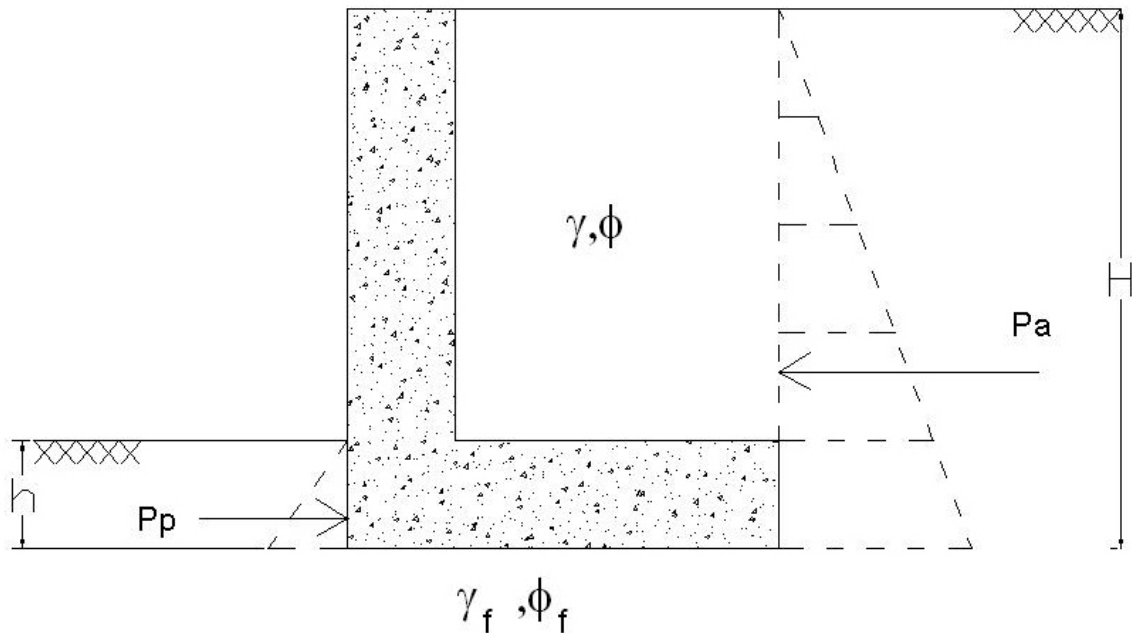
##### 2.1.1 ทฤษฎีแรงดันด้านข้าง

การออกแบบโครงสร้างกำแพงกันดินจำเป็นต้องทราบค่าแรงดันดินด้านข้างที่กระทำต่อโครงสร้างกำแพงกันดิน เพื่อนำไปใช้คำนวณหาขนาดสัดส่วนของโครงสร้างกำแพงกันดินที่เหมาะสมและแข็งแรงเพียงพอที่จะไม่ทำให้เกิดการพิบัติ โดยแรงดันดินด้านข้างจะขึ้นอยู่กับค่าคุณสมบัติของดิน เช่น ค่าหน่วยน้ำหนักของดิน ( $\gamma$ ) , ค่ามุมเสียดทานภายในของเม็ดดิน ( $\phi$ ) , แรงขีดเหนี่ยาของมวลดิน ( $C$ ) และขึ้นอยู่กับผิวสัมผัสของโครงสร้างกำแพงกันดินกับมวลดิน

Rankine (1957) ได้เสนอวิธีหาแรงดันดินด้านข้างของดินเม็ดหินที่ไม่มีความเชื่อมแน่น (Cohesionless Soil) สมมติฐานที่ใช้ในทฤษฎีของ Rankine คือ มวลดินมีเนื้อเดียวกัน

และมีคุณสมบัติรับแรงเหมือนกันทุกทิศทาง กำแพงกันดินมีแนวตรงตั้งฉากกับแนวนอนและมีผิวเรียบ (Smooth) นั่นคือ ไม่พิจารณาถึงแรงเสียดทานระหว่างกำแพงกันดินบริเวณพิવัสดันพื้นที่กับมวลดิน ซึ่งค่าสัมประสิทธิ์แรงดันด้านข้างของมวลดินในสภาพ Active หรือ Passive ที่ระดับความลึกต่างๆ สามารถคำนวณได้จากสภาพสมดุลพลาสติก (Plastic equilibrium in soils) ตามขอบเขตการพิบัตจากการเฉือน (สมการของ Mohr - Coulomb)

แรงดันดินด้านข้างของดินที่ไม่มีความเชื่อมแน่น (Cohesionless soil) กรณีที่ดินถมอยู่ในแนวราบเสมอกับสันของกำแพงกันดินแรงดันดินแบบ Active ( $P_a$ ) และ Passive ( $P_p$ ) ดังรูปที่ 2.1 สามารถคำนวณได้จากสมการที่ 2.1 และ 2.2 ตามลำดับ



รูปที่ 2.1 แรงดันดินด้านข้างบนกำแพงกันดิน

$$P_a = \frac{1}{2} K_a \gamma H^2 \quad (2.1)$$

$$P_p = \frac{1}{2} K_p \gamma_f h^2 \quad (2.2)$$

เมื่อ  $P_a$  = แรงดันดินด้านข้างแบบ Active

$P_p$  = แรงดันดินด้านข้างแบบ Passive

$$K_a = \frac{1 - \sin \phi}{1 + \sin \phi}$$

$$K_p = \frac{1 + \sin \phi}{1 - \sin \phi}$$

$H$  = ความสูงของดินตามหลังกำแพงกันดิน

$h$  = ความสูงของดินตามหน้ากำแพงกันดิน ( $0.1H$ )

$\gamma$  = หน่วยน้ำหนักของดิน

$\phi$  = มุมเสียดทานภายในของดิน

$\gamma_f$  = หน่วยน้ำหนักของดินใต้ฐานราก

$\phi_f$  = มุมเสียดทานภายในของดินใต้ฐานราก

### 2.1.2 ค่ากำลังรับแรงแบกท่าน

ผู้ที่จะวิเคราะห์และออกแบบกำแพงกันดินออกจากจะต้องมีความรู้ความเข้าใจในเรื่องของทฤษฎีแรงดันดินด้านข้างแล้วบังจำเป็นจะต้องมีความรู้ความเข้าใจเกี่ยวกับทฤษฎีที่จะใช้สำหรับการคำนวณหาค่ากำลังรับแรงแบกท่านหรือค่ากำลังด้านแรงกดของดิน (Bearing capacity of soil) ด้วยซึ่งค่าดังกล่าวเป็นค่าที่จะแสดงถึงความสามารถของดินที่จะต้องรับน้ำหนักบรรทุกได้โดยไม่เกิดการพิบัติอันเนื่องมาจากการแปรเปลี่ยน

การวิเคราะห์เพื่อหาค่ากำลังรับแรงแบกท่านหรือกำลังด้านแรงกดสูงสุดของดิน (Ultimate bearing capacity of soil) Meyerhof (1963) ได้ทำการทดสอบและวิเคราะห์หาค่ากำลังรับแรงแบกท่านและเสนอสมการสำหรับการหาค่ารับน้ำหนักบรรทุกประดิษฐ์ โดยอาศัยทฤษฎีการพิบัติแบบ Plastic โดยมีตัวแปรหลักได้แก่ รูปร่างหน้าตัด (Shape of footing) ระดับความลึก (Depth) และได้ใช้ค่ากำลังของดิน (Shear strength) เหนือฐานรากใน Shear zone มาพิจารณาด้วยทำให้สมการนี้สามารถใช้ได้ทั้งกรณีวิเคราะห์ฐานรากตื้นและฐานรากลึกซึ่งมีสมมุติฐานดังนี้

- มวลดินเป็นวัสดุเนื้อดีเยิกันและมีคุณสมบัติรับแรงเหมือนกันทุกทิศทางและค่ากำลังด้านแรงเฉือนของมวลดินสามารถคำนวณได้จากสมการของ Mohr - Coulomb

- b) ฐานรากมีลักษณะเป็นแนวยาวและผิวสัมผัสของฐานรากกับดินได้ฐานรากเป็นแบบบรุขระ
- c) การพิบัติของดินได้ฐานรากเป็นแบบ General shear failure
- d) บริเวณที่เกิดการพิบัติจะไม่เกินกว่าระดับของฐานราก นั่นคือจะไม่คิดแรงที่เกิดจากแรงยึดเหนี่ยวของมวลดินที่อยู่เหนือระดับของฐานราก

สมการที่ใช้คำนวณค่ากำลังรับแรงแบกทันสูงสุดของ Meyerhof สำหรับฐานรากตื้นต่อเนื่อง (Strip footing) จะต้องทำการหาค่าตัวประกอบกำลังรับแรงแบกทัน (Bearing capacity factors;  $N_c$ ,  $N_q$ ,  $N_\gamma$ ) ซึ่งจะขึ้นอยู่กับค่ามุมเสียดทานภายในของดิน ( $\phi$ ) หากได้เสียก่อนแล้วจึงทำการคำนวณหาค่ากำลังรับแรงแบกทันของดิน ดังนี้

$$q_{ult} = cN_c + qN_q + \frac{1}{2}\gamma BN_\gamma$$

เมื่อ  $q_{ult}$  = ค่ารับแรงแบกทันประดิษฐ์

$$N_c = (N_q - 1)\cot\phi$$

$$N_q = e^{\pi\tan\phi} \tan^2\left(45 + \frac{\phi}{2}\right)$$

$$N_\gamma = (N_q - 1)\tan(1.4\phi)$$

ในกรณีของทราย  $q_{ult} = qN_q + \frac{1}{2}\gamma BN_\gamma$  (2.3)

### 2.1.3 การวิเคราะห์เสถียรภาพของกำแพงกันดิน (Stability Analysis of Retaining Walls)

วิธีวิเคราะห์เสถียรภาพของกำแพงกันดินได้ถูกพัฒนาขึ้นมาในรูปของสมการและ Design Charts แบบต่างๆเพื่อช่วยออกแบบกำแพงกันดิน โดยมีจุดมุ่งหมายที่เหมือนกันคือเพื่อให้กำแพงกันดินที่วิเคราะห์ออกแบบมีเสถียรภาพที่มั่นคงและแข็งแรงเพียงพอต่อการพิบัติในลักษณะต่างๆ ซึ่งสามารถจำแนกออกได้เป็น 3 กรณีหลักคือ 1) การพิบัติจากการเลื่อนไถ (Sliding failure) 2) การพิบัติจากการพลิกคว่ำ (Overturning failure) และ 3) การพิบัติเนื่องจากดินใต้

ฐานรากมีกำลังรับแรงแบกทานไม่เพียงพอ (Bearing failure) ทั้งนี้การวิเคราะห์จะต้องมีความถูกต้องตามทฤษฎีพื้นฐานและสมมุติฐานที่ตรงกับลักษณะการพิบัติ ดังนี้

- พิจารณาแรง (Force) ที่มากระทำต่อกำแพงกันดินที่มีทั้งแรงที่กระทำในแนวราบ และแรงที่กระทำในแนวตั้ง อันเกิดจากน้ำหนักของโครงสร้างของกำแพงกันดิน และน้ำหนักของดินตาม
- พิจารณาปัจจัยของการพิบัติที่คาดว่าจะเกิดขึ้นของกำแพงกันดินว่าควรจะเป็นไปในลักษณะใด
- พิจารณาสมดุลของแรง (Force) และสมดุลของโมเมนต์ (Moment) โดยพิจารณาจากสมดุลของแรงกระทำ (Driving force), แรงต้านการกระทำ (Resisting force) และตำแหน่งที่แรงต่างๆกระทำต่อโครงสร้างกำแพงกันดินในการพิบัติลักษณะต่างๆ

การวิเคราะห์เสถียรภาพของกำแพงกันดิน ในการศึกษาครั้งนี้จะทำการวิเคราะห์เสถียรภาพของกำแพงกันดินใน 2 รูปแบบ ได้แก่ การหาค่าอัตราส่วนความปลอดภัย (Factor of safety; FS) ซึ่งเป็นวิธีการที่ใช้แสดงถึงค่าเสถียรภาพของโครงสร้างที่วิศวกรรู้จักและคุ้นเคยในการใช้งานเป็นอย่างดี และการหาค่าผลต่างความปลอดภัย (Safety margin; SM) โดยค่าอัตราส่วนความปลอดภัย (FS) สามารถคำนวณได้จากอัตราส่วนระหว่างแรงต้านการกระทำ (Resisting force;  $R_f$ ) ต่อแรงกระทำ (Driving force;  $D_f$ ) และโครงสร้างมีเสถียรภาพเมื่อค่า  $FS \geq 1$

$$FS = \frac{R_f}{D_f} \quad (2.4)$$

ส่วนค่าผลต่างความปลอดภัย (SM) สามารถคำนวณค่าได้จากผลลบระหว่างแรงต้านการกระทำ ( $R_f$ ) กับแรงกระทำ ( $D_f$ ) และโครงสร้างมีเสถียรภาพเมื่อค่า  $SM \geq 0$

$$SM = R_f - D_f \quad (2.5)$$

### 2.1.3.1 การพิบัติจากการเลื่อนไถล

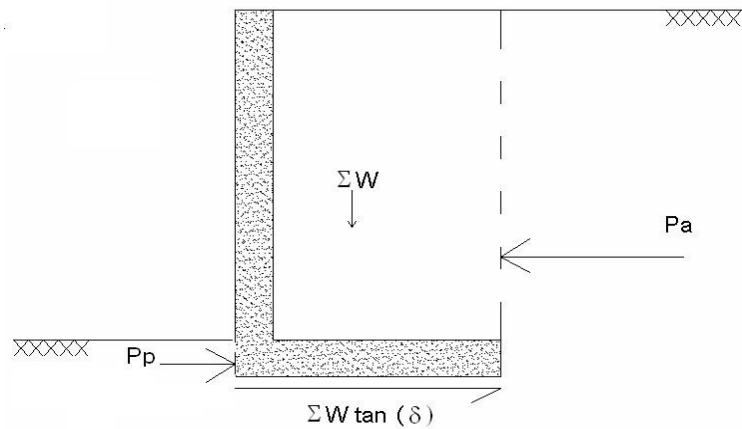
การพิบัติจากการเลื่อนไถล (Sliding mode) เป็นการพิบัติที่เกิดจากแรงเสียดทานใต้ฐานรากของกำแพงกันดินมีค่าน้อยกว่าแรงดันดินด้านข้างเนื่องจากดินถม (รูปที่ 2.2) ค่าอัตราส่วนความปลดภัยของการเลื่อนไถล ( $FS_s$ ) ได้จากอัตราส่วนระหว่างแรงด้านการเลื่อนไถล ( $R_f = \sum W \tan(0.75\phi) + P_p$ ) และแรงเลื่อนไถล ( $D_f = Pa$ ) และหาค่าผลต่างความปลดภัยของการเลื่อนไถล ( $SM_s$ ) ได้จากผลบันระหว่างแรงด้านการเลื่อนไถล ( $R_f = \sum W \tan(0.75\phi) + P_p$ ) กับแรงเลื่อนไถล ( $D_f = Pa$ ) ดังสมการที่ 2.6, 2.7 ตามลำดับ

$$FS_s = \frac{R_f}{D_f} = \frac{\sum W \tan(0.75\phi) + P_p}{P_a} \quad (2.6)$$

$$SM_s = R_f - D_f = \sum W \tan(0.75\phi) + P_p - P_a \quad (2.7)$$

เมื่อ	$\sum W \tan(\delta) = $ แรงเสียดทานใต้ฐานรากกำแพงกันดิน
$\sum W$	= ผลรวมของน้ำหนักดินถมและน้ำหนักของกำแพงกันดิน
$\delta$	= $(0.1H \times 0.9H)\gamma_c + (L \times 0.1H)\gamma_c + 0.9H(L - 0.1H)\gamma$
$\gamma_c$	= ค่ามุมเสียดทานระหว่างผิวคอนกรีตกับดิน = $0.75\phi$ = หน่วยน้ำหนักของคอนกรีต = $24 \text{ kN / m}^3$

สำหรับการวิเคราะห์ออกแบบกำแพงกันดินด้วยวิธี Conventional method มีคำแนะนำว่าโครงสร้างกำแพงกันดินจะมีความปลอดภัยต่อการพิบัติแบบเลื่อนไถลเมื่อกำหนดให้ค่า  $FS_s \geq 2$  (Teng, 1962)



รูปที่ 2.2 Free body diagram ของแรงเพื่อใช้เคราะห์ Sliding mode

### 2.1.3.2 การพิบัติจากการพลิกคว่ำ

การพิบัติจากการพลิกคว่ำของกำแพงกันดิน (Overturning mode) เป็นการพิบัติอันเนื่องมาจากโมเมนต์ที่กระทำรอบจุด O หน้ากำแพงกันดินมีค่ามากกว่าโมเมนต์ต้าน (รูปที่ 2.3) ค่าอัตราส่วนความปลดภัยของการพลิกคว่ำ ( $FS_o$ ) สามารถหาได้จากอัตราส่วนระหว่างผลรวมของโมเมนต์ต้านการพลิกคว่ำ ( $\sum M_R$ ) ต่อผลรวมของโมเมนต์พลิกคว่ำ ( $\sum M_o$ ) และผลต่างความปลดภัยของการพลิกคว่ำ ( $SM_o$ ) สามารถหาได้จากผลต่างระหว่างผลรวมของโมเมนต์ต้านการพลิกคว่ำ ( $\sum M_R$ ) กับผลรวมของโมเมนต์พลิกคว่ำ ( $\sum M_o$ ) ดังสมการที่ 2.8, 2.9 ตามลำดับ

$$FS_o = \frac{\sum M_R}{\sum M_o} = \frac{\sum W_i d_i + P_p d_p}{P_a d_a} \quad (2.8)$$

$$SM_o = \sum M_R - \sum M_o = \sum W_i d_i + P_p d_p - P_a d_a \quad (2.9)$$

เมื่อ

$$\sum W_i d_i = W_1 d_1 + W_2 d_2 + W_3 d_3$$

$W_1$  = นำหนักของกำแพงกันดิน

$$= (0.1H \times 0.9H) \gamma_c$$

$d_1$  = ระยะจากแนวแรง  $W_1$  ถึงจุด O

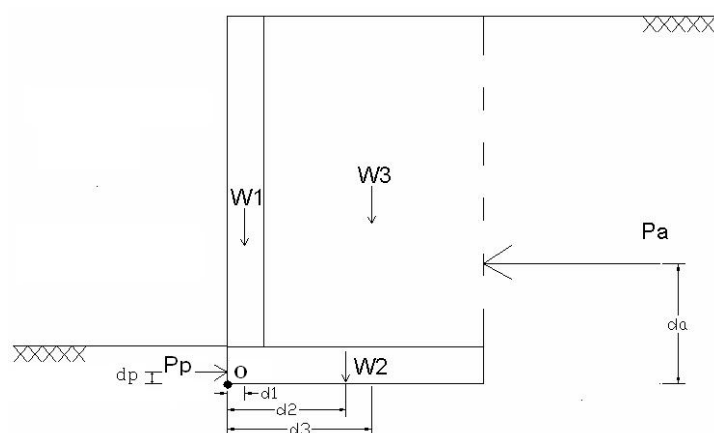
$$= \frac{0.1H}{2}$$

$W_2$  = นำหนักของฐานรากของกำแพงกันดิน

$$\begin{aligned}
&= (Lx0.1H)\gamma_c \\
d_2 &= \text{ระยะจากแนวเร่ง } W_2 \text{ ถึงจุด O} \\
&= \frac{L}{2} \\
W_3 &= \text{นำหนักของดินถม} \\
&= 0.9H(L - 0.1H)\gamma \\
d_3 &= \text{ระยะจากแนวเร่ง } W_3 \text{ ถึงจุด O} \\
&= 0.1H + \frac{L - 0.1H}{2} \\
d_a &= \text{ระยะจากแนวเร่ง } P_a \text{ ถึงจุด O} \\
&= \frac{H}{3}
\end{aligned}$$
  

$$\begin{aligned}
d_p &= \text{ระยะจากแนวเร่ง } P_p \text{ ถึงจุด O} \\
&= \frac{h}{3}
\end{aligned}$$

สำหรับการวิเคราะห์ออกแบบกำแพงกันดินด้วยวิธี Conventional method มีคำแนะนำว่า โครงสร้างกำแพงกันดินจะมีความปลอดภัยต่อการพิบัติแบบพลิกคร่ำเมื่อกำหนดให้ค่า  $FS_o \geq 1.5$  (Teng, 1962)



รูปที่ 2.3 Free body diagram ของแรงเพื่อใช้วิเคราะห์ Overturning mode

### 2.1.3.3 การพิบัติจากดินใต้ฐานรากมีกำลังต้านแรงแบกท่านไม่เพียงพอ

การพิบัติจากดินใต้ฐานรากมีกำลังต้านแรงแบกท่านไม่เพียงพอ (Bearing capacity mode) เป็นการพิบัติของกำแพงกันดินที่เกิดจากน้ำหนักของกำแพงกันดินและดินถมมีค่ามากกว่าค่ากำลังรับแรงแบกท่านประดับ (Ultimate bearing capacity,  $q_{ult}$ ) ของดินฐานราก (รูปที่ 2.4) ค่าอัตราส่วนความปลดภัยของแรงแบกท่าน ( $FS_b$ ) สามารถหาได้จากอัตราส่วนระหว่างค่ากำลังรับแรงแบกท่านประดับ ( $q_{ult}$ ) ต่อค่าน้ำหนักแบกท่านที่เกิดจากน้ำหนักของกำแพงกันดินและดินถม ( $\Sigma W/L$ ) และสามารถค่าผลต่างความปลดภัยของแรงแบกท่าน ( $SM_b$ ) ได้จากการคำนวณค่ากำลังรับแรงแบกท่านประดับ ( $q_{ult}$ ) กับค่าน้ำหนักแบกท่านที่เกิดจากน้ำหนักของกำแพงกันดินและดินถม ( $\Sigma W / L$ ) ดังสมการที่ 2.10, 2.11 โดยค่า  $q_{ult}$  สามารถหาได้จากสูตรของ Meyerhof (สมการที่ 2.3)

$$FS_b = \frac{q_{ult}}{q} = \frac{q_h N_q + 0.5 \gamma L' N_\gamma}{\frac{\Sigma W}{L}} \quad (2.10)$$

$$SM_b = q_{ult} - q = q_h N_q + 0.5 \gamma L' N_\gamma - \frac{\Sigma W}{L} \quad (2.11)$$

Meyerhof (1963) เสนอการหาค่า  $q_{ult}$  ในกรณีที่แรงกระทำด้านข้างหรือโอมเมนต์ จึงต้องมีการปรับแก้ค่าความกว้างของฐานของกำแพงกันดินให้ถูกต้องเนื่องจากโครงสร้างของกำแพงกันดินและลักษณะการถมดินเป็นไปแบบไม่สมมาตรส่งผลให้แรงที่กระทำต่อฐานรากเกิดการเยื่องศูนย์โดยสมการที่ 2.3 ต้องปรับเป็น

$$q_{ult} = q N_q + \frac{1}{2} \gamma L' N_\gamma \quad (2.12)$$

เมื่อ  $L'$  = ความกว้างของฐานรากหลังปรับแก้

$$= (L - 2e)$$

$e$  = ระยะเยื่องศูนย์ของแรงดึงดูด

$$= L - x' - X$$

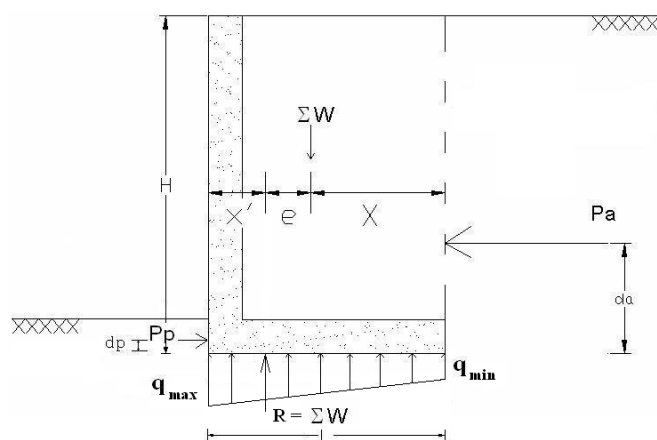
$X$  = ระยะที่  $\Sigma W$  กระทำห่างจากขอบขวาของฐานราก (Centroid)

$$= \frac{\sum W_i d_i}{\sum W_i}$$

$x' =$  ระยะที่แรงปั๊กกระทำการตัดกับฐานรากของกำแพงกันดิน

$$= \frac{(\Sigma W)(L - X) + (P_p) \left( \frac{h}{3} \right) - (P_a) \left( \frac{H}{3} \right)}{\Sigma W}$$

สำหรับการวิเคราะห์ออกแบบกำแพงกันดินด้วยวิธี Conventional method มี คำแนะนำว่า โครงสร้างกำแพงกันดินจะมีความปลอดภัยต่อการพิบัติเนื่องจากมีกำลังต้านแรงแบก ท่านไม่เพียงพอ เมื่อกำหนดให้ค่า  $FS_b \geq 3$  (Teng, 1962)



รูปที่ 2.4 Free body diagram ของแรงเพื่อใช้วิเคราะห์ Bearing capacity mode

## 2.2 ความไม่แน่นอนในคุณสมบัติของดิน (Uncertainty of Soil Properties)

ดินเป็นวัสดุที่เกิดขึ้นเองตามกระบวนการทางธรรมชาติ ดังนั้นจึงเป็นสาเหตุทำให้ เกิดความแปรปรวนหรือความไม่แน่นอนในคุณสมบัติของดินตามมาทำให้ไม่สามารถทราบถึงค่า คุณสมบัติ (Soil properties) ที่แท้จริงภายในแน่ใจได้ และปัญหาความไม่แน่นอนในคุณสมบัติ ของดินนี้จะส่งผลให้มีอิทธิพลต่อผลลัพธ์ในการวิเคราะห์เสถียรภาพของกำแพงกันดิน ซึ่งในที่นี้คือ ค่าความน่าจะเป็นในการพิบัตินั่นเอง (Probability of failure,  $P_f$ ) ดังนั้นจึงควรทำความเข้าใจ เกี่ยวกับความไม่แน่นอนในคุณสมบัติของดิน (Uncertainty of soil properties) และวิธีจัดการ ความไม่แน่นอนของค่าคุณสมบัติของดินเพื่อความถูกต้องของผลลัพธ์ในการวิเคราะห์เสถียรภาพ ของกำแพงกันดินต่อไป

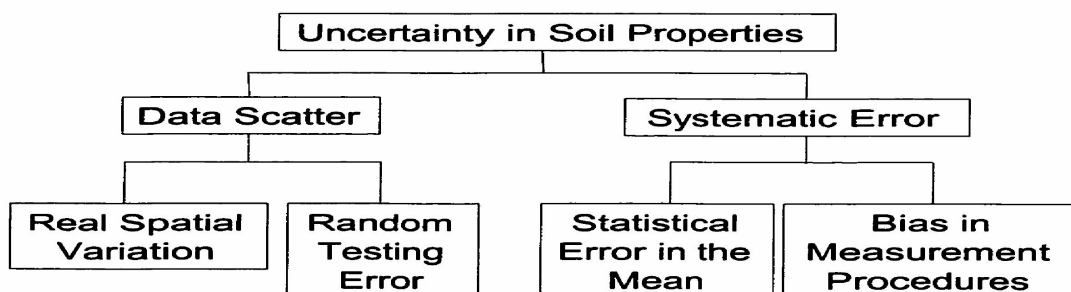
### 2.2.1 สาเหตุของความไม่แน่นอน (Sources of Uncertainty)

ความไม่แน่นอนในคุณสมบัติของดินมีด้วยกันทั้งหมด 2 ส่วน (Christian et al., 1994; Lacasse and Nadim, 1996; Phoon and Kulhawy, 1999) ได้แก่

a. ความไม่แน่นอนตามธรรมชาติ (Inherent Uncertainty); เป็นตัวแปรที่ไม่สามารถทำการควบคุมได้ เพราะเกิดจากสภาพความเป็นจริงตามธรรมชาติภายใต้สภาวะแวดล้อมนั้นๆ

b. ความผิดพลาดจากระบบ (Systematic Error); เกิดจากความผิดพลาดในการวัดการทดสอบเครื่องมือที่ใช้ทดสอบหรือแบบจำลอง (Model) ในการหาคุณลักษณะต่างๆ ของดิน และข้อมูลที่เกิดจากการรวบรวมข้อมูล (Collection) ที่ไม่เพียงพอทำให้เกิดความไม่แน่นอนขึ้นได้ แต่ความไม่แน่นอนที่เกิดจากความผิดพลาดอย่างเป็นระบบสามารถควบคุมและลดทอนให้น้อยลงได้ (Lacasse and Nadim, 1996)

Christian et al. (1992) จัดแยกความไม่แน่นอนในคุณสมบัติของดินทั้งหมดเป็น 2 หมวดหมู่ ได้แก่ ความไม่แน่นอนที่เกิดจากการกระจายของข้อมูล (Data scatter) ซึ่งประกอบไปด้วย ค่าความแปรปรวนแบบ Spatial variation และ ความผิดพลาดจากการทดสอบแบบสุ่ม ส่วนค่าความผิดพลาดที่เกิดจากระบบ (Systematic error) ประกอบไปด้วย ความผิดพลาดทางสถิติของค่าเฉลี่ย และ ความโน้มเอียง (Bias) จากวิธีการวัด ดังรูปที่ 2.5



รูปที่ 2.5 ความไม่แน่นอนในคุณสมบัติของดิน (Christian et al., 1992)

## 2.2.2 การหาปริมาณความไม่แน่นอนในคุณสมบัติของดิน (Quantifying Uncertainty in Soil Properties)

Degroot (1996) กล่าวว่าวิศวกรรมธุรกิจสามารถปรับปรุงข้อมูลเพื่อจะได้ไม่เกิดความผิดพลาดโดยจะต้องปรับปรุงให้ได้ค่าประมาณที่ดีที่สุด (A best estimate) และ ค่าที่บ่งบอกถึงความไม่แน่นอนของค่าประมาณที่ดีที่สุดนี้ (A measure of uncertainty in the best estimate) โดยค่าสองค่าดังกล่าวนี้ในทางสถิติก็คือค่าเฉลี่ย (Mean,  $\mu_x$ ) และ ค่าเบี่ยงเบนมาตรฐาน (Standard deviation,  $\sigma_x$ ) ตามลำดับ

a.) ค่าเฉลี่ย (Mean,  $\mu_x$ ); เป็นตัวสถิติที่ใช้วัดค่าแนวโน้มสู่สูนย์กลางของข้อมูลที่กระจายแบบปกติเท่านั้น กล่าวคือ ข้อมูลต้องมีรูปทรงของรูปแบบข้อมูลที่ค่อนข้างสมมาตรรอบค่าๆหนึ่ง คือ เป็นตัวแบบที่มียอดเดียว (Unimodal pattern) และเป็นข้อมูลที่รวมรวมจากข้อที่มีความเบี่ยงเบนคงที่

$$\mu_x = \frac{1}{N} \sum_{i=1}^N X_i \quad (2.13)$$

b.) ค่าเบี่ยงเบนมาตรฐาน (Standard Deviation,  $\sigma_x$ ); เป็น rakที่สองของค่าความแปรปรวนซึ่งเป็นค่าที่ใช้อันมานความเบี่ยงเบนของข้อมูล ได้ดีที่สุด

$$\sigma_x = \sqrt{\frac{1}{N-1} \sum_{i=1}^N (X_i - \mu_x)^2} \quad (2.14)$$

c.) สัมประสิทธิ์แห่งความแปรผัน (Coefficient of Variation, COV); เป็นอัตราส่วนของค่าเบี่ยงเบนมาตรฐานต่อค่าเฉลี่ยในรูปของเปอร์เซ็นต์

$$COV_x = \frac{\sigma_x}{\mu_x} \times 100\% \quad (2.15)$$

และสามารถนำผลที่ได้จากการคำนวณข้างต้นไปคำนวณหาค่าความน่าจะเป็นในการพิบัติ ( $P_f$ ) ได้จากความสัมพันธ์ดังนี้

$$Z = \frac{X - \mu_x}{\sigma_x}$$

= การแจกแจงแบบปกติมาตรฐาน

$f(Z)$  = การแจกแจงความน่าจะเป็นสะสมแบบปกติมาตรฐาน

$$P_f = \text{ความน่าจะเป็นในการพิบัติ}$$

$$= 1 - f(Z)$$

เพื่อความสะดวกค่า  $Z$  และ  $f(Z)$  สามารถคำนวณได้จากการใช้โปรแกรม Microsoft Excel ช่วยคำนวณดังนี้

$$Z = \text{ค่ามาตรฐาน (Normalized value Z)}$$

$$= \text{STANDARDIZE}(X, \mu_x, \sigma_x)$$

$$f(Z) = \text{ค่าการแจกแจงแบบปกติมาตรฐานสะสม}$$

$$\text{Standard normal cumulative distribution } (\mu_x = 0, \sigma_x = 1)$$

$$= \text{NORMSDIST}(Z)$$

### 2.3 วิธีการวิเคราะห์เสถียรภาพของกำแพงกันดินโดยความน่าจะเป็น (Probabilistic Method for Determining Stability of Retaining Walls)

การวิเคราะห์เสถียรภาพของกำแพงกันดินโดยความน่าจะเป็น คือ วิธีการวิเคราะห์ความเป็นไปได้ที่จะเกิดการพิบัติ (Probability of failure) ของกำแพงกันดินโดยประยุกต์ใช้กับความรู้ทางด้านสถิติ โดยสามารถคำนวณได้จากการแทนค่าเฉลี่ยและค่าเบี่ยงเบนมาตรฐานของ FS หรือ SM หรือการหาจากค่าการกระจายตัวของค่าเหล่านี้ ซึ่งสามารถทำได้หลายวิธี เช่น First order second moment method (FOSM), Monte carlo simulation (MCS) ซึ่งเป็นวิธีที่มีความนิยมเลือกนำมาใช้ในงานวิศวกรรมโยธาดังมีรายละเอียดพอสังเขป ดังต่อไปนี้

### 2.3.1 First Order Second Moment Method (FOSM)

วิธี FOSM เป็นการวิเคราะห์ความแปรปรวนของพารามิเตอร์วิธีหนึ่งของ Method of moment ที่ใช้เทอมแรกของ Taylor's series approximation ในการประมาณค่า FS และค่า SM จากค่าประมาณของตัวแปรที่มีความแปรปรวนดังสมการที่ 2.16, 2.17

$$FS = g(x_1, x_2, x_3, \dots, x_n) + e \quad (2.16)$$

$$SM = g(x_1, x_2, x_3, \dots, x_n) + e \quad (2.17)$$

เมื่อ  $g(x_i)$  = ฟังชันที่ใช้คำนวณค่าเสถียรภาพของโครงสร้าง

$x_i$  = พารามิเตอร์ที่มีความแปรปรวน

$e$  = ค่า Model Error

ค่าความแปรปรวนของค่า FS และ SM สามารถคำนวณได้จากสมการที่ 2.18 และ 2.19

$$V[FS] = \sum_{i=1}^K \sum_{j=1}^K \frac{\partial g}{\partial x_i} \frac{\partial g}{\partial x_j} C[x_i, x_j] + V[e] \quad (2.18)$$

$$V[SM] = \sum_{i=1}^K \sum_{j=1}^K \frac{\partial g}{\partial x_i} \frac{\partial g}{\partial x_j} C[x_i, x_j] + V[e] \quad (2.19)$$

เมื่อ  $C[X_i, X_j]$  = ค่า Correlation Coefficient ของตัวแปร  $X_i$  และ  $X_j$

$V[e]$  = ค่า Variance of Model Error

สมการที่ 2.18, 2.19 เป็นสมการที่มีความซับซ้อนและยากต่อการใช้งานเพื่อให้เหมาะสมและงานต่อการใช้งานจึงได้มีการปรับปรุงสมการให้สามารถใช้งานได้ง่ายขึ้นตามข้อแนะนำของ Baecher and Christian (2003) ในกรณีที่มีมุมเลี้ยดทাতายภายในของดิน ( $\phi$ ) เป็นค่าตัวแปรเพียงค่าเดียวที่มีความแปรปรวนสมการที่ 2.20 และ 2.21

$$V[FS] \approx \left[ \frac{\Delta FS}{\Delta \phi} \right]^2 [COV_{\phi} \cdot \mu_{\phi}]^2 \quad (2.20)$$

$$V[SM] \approx \left[ \frac{\Delta SM}{\Delta \phi} \right]^2 [COV_{\phi} \cdot \mu_{\phi}]^2 \quad (2.21)$$

เมื่อ  $\Delta FS = g(\phi + 1^\circ) - g(\phi - 1^\circ)$   
 $\Delta SM = g(\phi + 1^\circ) - g(\phi - 1^\circ)$

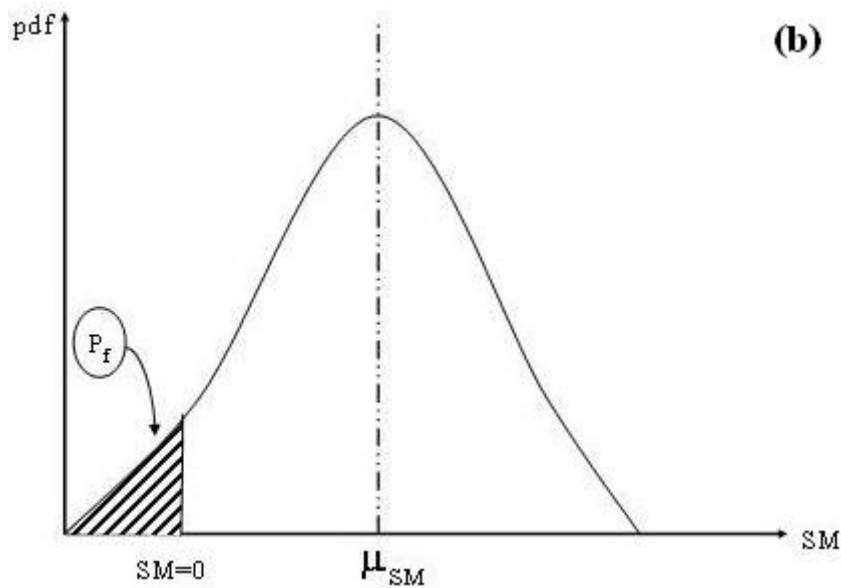
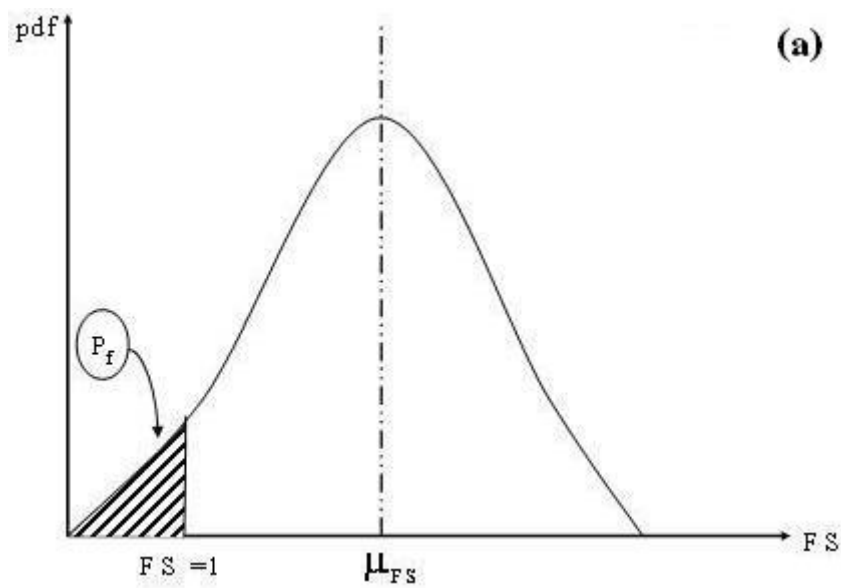
และค่าเบี่ยงเบนมาตรฐานของค่า FS และ SM สามารถคำนวณได้จากสมการที่

2.22 และ 2.23

$$\sigma_{FS} = \sqrt{V[FS]} \quad (2.22)$$

$$\sigma_{SM} = \sqrt{V[SM]} \quad (2.23)$$

แล้วทำการหาลักษณะของการกระจายตัวของค่า FS และ SM ดังรูปที่ 2.6  
 จากนั้นสามารถหาความน่าจะเป็นในการพิบัติจากความเป็นไปได้ที่ค่า  $FS < 1$  และค่า  $SM < 0$



รูปที่ 2.6 การหาความน่าจะเป็นในการพิบัติจากค่าการกระจายตัว

(a)  $P_f$  จาก  $FS < 1$ , (b)  $P_f$  จาก  $SM < 0$

Duncan (2000) ได้พัฒนาหลักการวิเคราะห์ความน่าจะเป็นโดยวิธี First order second moment สำหรับการประมาณค่าความแปรปรวนของผลลัพธ์ที่ได้จากการวิเคราะห์หาอัตราส่วนความปลอดภัยซึ่งสามารถคำนวณได้โดย

$$FS = g(x_1, x_2, x_3, \dots, x_n) + e \quad (2.24)$$

เมื่อ  $FS$  = อัตราส่วนความปลอดภัยของลาดชัน  
 $g(x_i)$  = ฟังก์ชันสำหรับการวิเคราะห์หา  $FS$   
 $x_i$  = ตัวแปร (Variable)  
 $e$  = ความคลาดเคลื่อนของรูปแบบการวิเคราะห์จากความเป็นจริง  
 (Model error)

ซึ่งในการวิเคราะห์ค่าต่างๆ โดยปกติทั่วไป Variant ของอัตราส่วนความปลอดภัยสามารถประมาณได้ด้วยเทอมแรกของ Taylor's series ดังต่อไปนี้

$$V[FS] \approx \sum_{i=1}^K \sum_{j=1}^K \frac{\partial g}{\partial x_i} \frac{\partial g}{\partial x_j} C[x_i, x_j] + V[e] \quad (2.25)$$

โดย  $C[x_i, x_j]$  คือ Correlation coefficient ของตัวแปร  $x_i$  และ  $x_j$

แต่สมการดังกล่าวมีความซับซ้อนไม่สามารถใช้กับงานปฏิบัติ Duncan จึงต้องสมมติฐานให้การกระจายตัวของตัวแปรมีการกระจายตัวแบบปกติ (Normal distribution) เพื่อให้สมการสามารถใช้ในการหาค่า Variable โดยง่ายขึ้นเรียกว่า “Simplified first order second moment method” ดังนี้

$$V[FS] \approx \sum_{i=1}^K \left[ \frac{g(x_{i+}) - g(x_{i-})}{2\sigma_{x_i}} \right]^2 \sigma_{x_i}^2 \quad (2.26)$$

เมื่อ  $x_{i+} = E[x_i] + \sigma_{x_i}$   
 $x_{i-} = E[x_i] - \sigma_{x_i}$

จากสมการข้างต้นสามารถหาความน่าจะเป็นในการพิบัติของผลลัพธ์ได้โดยง่ายหากทราบค่าความเบี่ยงเบนมาตรฐาน ( $\sigma_{x_i}$ ) และค่าประมาณของตัวแปร ( $E[x_i]$ )

### 2.3.2 Monte Carlo Simulation

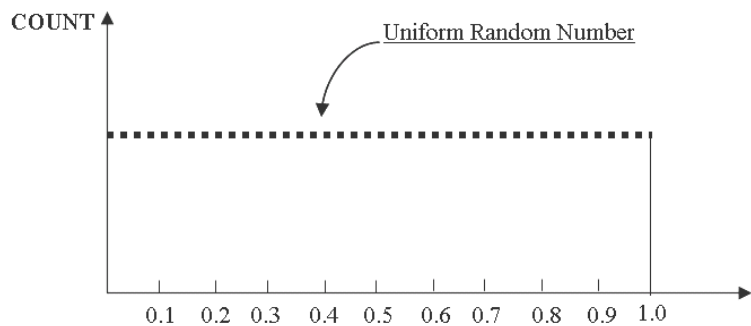
Monte carlo simulation เป็นวิธีการวิเคราะห์สถิติทางทางสถิติ ที่เกิดจากการนำค่าของกลุ่มพารามิเตอร์ที่ถูกเลือกมาทำการวิเคราะห์หรือคำนวณช้าๆ อย่างๆ กัน จนได้คำตอบออกมากในรูปแบบของการกระจายตัวทางสถิติ (Probability distribution) ของผลลัพธ์ในที่นี่ทำได้โดยการคำนวณค่า FS และ SM ช้าๆ อย่างๆ กัน และมากพอที่จะได้การกระจายของ FS และ SM (Distribution of FS or Distribution of SM) จากนั้นค่า  $P_f$  สามารถคำนวณได้จากความเป็นไปได้ที่  $FS < 1$  หรือ  $SM < 0$  ก่อนที่จะใช้วิธีการของ Monte carlo simulation นั้นเราต้องทำการสร้างรูปแบบทางกายภาพขึ้นซึ่งในที่นี่ คือ คุณสมบัติของกำแพงกันดิน เช่น ค่ามุมเสียดทานภายในของดิน (Internal Friction Angle,  $\phi$ ) ที่สามารถเปลี่ยนไปตามการกระจายทางสถิติ (Statistical distribution) กระบวนการสร้างรูปแบบทางกายภาพนี้ เรียกว่า การสร้าง Realizations

### 2.3.3 การสร้าง Realizations

การสร้าง Realizations สำหรับชุดของค่า  $\phi$  ที่ใช้ในการวิเคราะห์สถิติทางของกำแพงกันดินที่มีค่าเฉลี่ย ( $\mu_\phi$ ) ค่าเบี่ยงเบนมาตรฐาน ( $\sigma_\phi$ ) เท่ากันสามารถแบ่งกระบวนการออกเป็น 3 ขั้นตอนดังต่อไปนี้

#### 2.3.3.1 Generating Uniform Random Number

การสร้างชุดของค่า  $\phi$  เริ่มต้นจากการสร้าง Uniform random number (U) ซึ่งเป็นชุดตัวเลขแบบสุ่มซึ่งมีชุดการกระจายตัวแบบสม่ำเสมอ (Uniform distribution) ที่มีค่าระหว่าง 0.0 ถึง 1.0 (รูปที่ 2.7) โดยใช้ Algorithm ที่เสนอโดย Wichmann and Hill (1987)



รูปที่ 2.7 การกระจายตัวแบบสม่ำเสมอ (Uniform distribution (0, 1))

### 2.3.3.2 การคำนวณ Normal Random Numbers

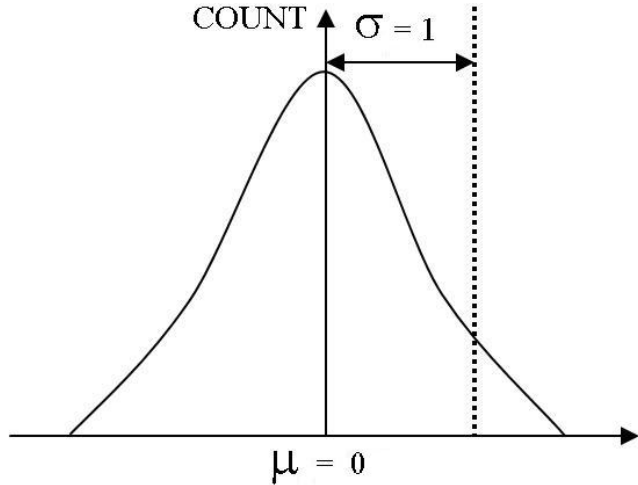
การสร้าง Random number (รูปที่ 2.8) ที่มีการกระจายตัวแบบปกติ (Normal distribution) โดยใช้ Uniform random number จากขั้นตอนที่ 1 สองค่า ( $U_1$  และ  $U_2$ ) มาเป็น Normal random numbers ( $X_1$  และ  $X_2$ ) การคำนวณทำได้โดยใช้สมการของ Box and Muller (1958) ดังต่อไปนี้

$$X_1 = \cos(2\pi U_2) \sqrt{-2 \ln(U_1)} \quad (2.27)$$

$$X_2 = \sin(2\pi U_2) \sqrt{-2 \ln(U_1)} \quad (2.28)$$

ค่า  $X_1$  และ  $X_2$  ที่ได้เป็น Normal random numbers ซึ่งมีค่าเฉลี่ย (Mean,  $\mu_\phi$ ) = 0 และค่าเบี่ยงเบนมาตรฐาน (Standard deviation,  $\sigma_\phi$ ) = 1 การนำค่า Normal random numbers เพียงค่าเดียวไปใช้ทำได้โดยใช้ค่า  $X_C$  ดังนี้

$$X_C = \frac{X_1 + X_2}{\sqrt{2}} \quad (2.29)$$



รูปที่ 2.8 การกระจายตัวแบบปกติ (Normal distribution)

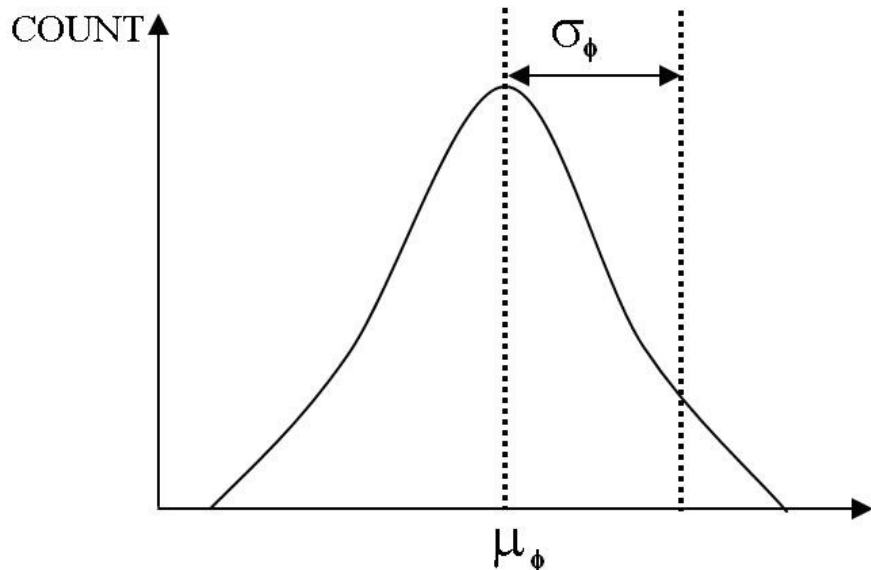
### 2.3.3.3 การคำนวณ Realization of $\phi$ (รูปที่ 2.9)

การคำนวณค่า Realization ของ  $\phi$  ทำได้โดยการแปลงค่าเฉลี่ย  $X_c(0,1)$  ให้เป็น  $\phi$  ที่มีค่าเฉลี่ย (Mean,  $\mu_\phi$ ) และค่าเบี่ยงเบนมาตรฐาน (Standard deviation,  $\sigma_\phi$ ) ที่ต้องการดังนี้

$$\phi = \mu_\phi + X_c \sigma_\phi \quad (2.30)$$

สามารถแสดงสมการให้อธิบายในเทอมของ COV (Coefficient of variation) ของค่าพารามิเตอร์ได้ดังนี้

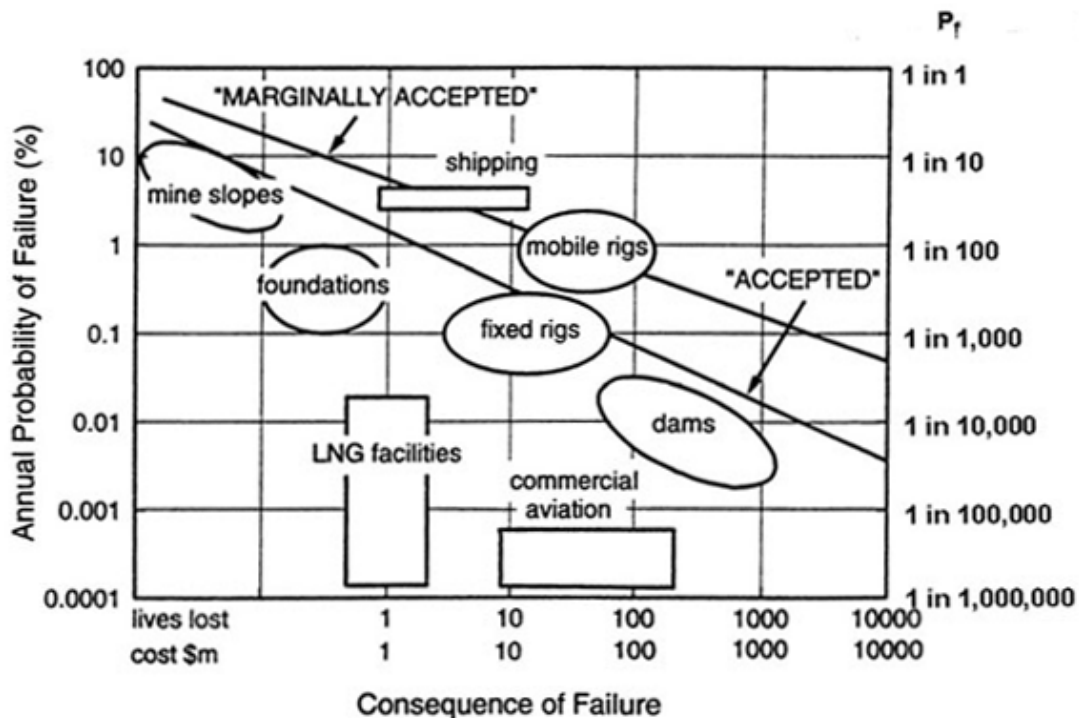
$$\phi = \mu_\phi (1 + X_c COV_\phi) \quad (2.31)$$



รูปที่ 2.9 การกระจายตัวโดยมีการคำนวณค่า Realization ของ  $\phi$

#### 2.4 ความน่าจะเป็นในการพิบัติของโครงสร้างในงานวิศวกรรมโยธา

ความน่าจะเป็นในการพิบัติของโครงสร้างทางวิศวกรรมโยธาที่เหมาะสมสำหรับนำไปใช้ในการออกแบบนั้นมีความแตกต่างกันไปตามลักษณะการใช้งานของโครงสร้างและผลกระทบที่จะเกิดขึ้นเมื่อโครงสร้างนั้นพิบัติ เช่น โครงสร้างเขื่อนต้องใช้ความน่าจะเป็นในการพิบัติต่ำเนื่องจากเขื่อนเป็นโครงสร้างที่ใช้กักเก็บน้ำขนาดใหญ่ถ้าเขื่อนพิบัติจะมีการสูญเสียอย่างมาก Baecher (1987) เสนอค่าความน่าจะเป็นในการพิบัติของโครงสร้างในงานวิศวกรรมโยธาและมูลค่าความเสียหายในชีวิต (คิดเป็นล้านдолลาร์) อันเป็นผลที่ตามมาจากการพิบัติ ดังแสดงในรูปที่ 2.10 ข้อมูลของ Baecher (1987) สามารถนำมาใช้กำหนดความน่าจะเป็นในการพิบัติ (Probability of failure,  $P_f$ ) โดยกำหนดกันดินจัดเป็นโครงสร้างประเภทฐานราก (Foundations) แบบหนึ่งในงานทางวิศวกรรมโยธา ดังนั้นค่าความน่าจะเป็นในการพิบัติที่เหมาะสมสำหรับการนำมาใช้จึงอยู่ระหว่าง 0.01 ถึง 0.001 โดย  $P_f = 0.01$  หมายถึงมีโอกาสเกิดการพิบัติ 1 ครั้งสำหรับการก่อสร้าง 100 ครั้ง และ  $P_f = 0.001$  หมายถึงมีโอกาสเกิดการพิบัติ 1 ครั้งสำหรับการก่อสร้าง 1,000 ครั้ง



รูปที่ 2.10 ความสัมพันธ์ของค่าความน่าจะเป็นในการพิบัติของโครงสร้างในงานวิศวกรรมโยธา และมูลค่าความเสียหายในชีวิตอันเป็นผลที่ตามมาจากการพิบัติ (After Baecher 1987)

## 2.5 งานวิจัยที่เกี่ยวข้อง

Phoon et al. (1995) ได้ทำการทดสอบหาค่าคุณสมบัติของดินลักษณะต่างๆที่พบในธรรมชาติและทำการรวบรวมข้อมูลค่าคุณสมบัติของดินที่ได้จากการทดสอบด้วยวิธีการทดสอบแบบต่างๆ แล้วแสดงผลค่าคุณสมบัติของดินโดยจำแนกตามประเภทของดิน ในรูปของค่าพิกัดสูงสุด-ต่ำสุด (Range), ค่าเฉลี่ย (Mean), ค่าสัมประสิทธิ์แห่งความแปรผัน (COV) ของค่าคุณสมบัติของดินดังแสดงในตารางที่ 2.1 โดยค่า  $\phi$  ของรายนีค่าในช่วง  $35 - 41^\circ$  และค่า COV อยู่ในช่วง 5 -11 % เป็นต้น

ตารางที่ 2.1 Summary of Inherent Variability of Strength Properties (Phoon et al., 1995)

Property <sup>a*</sup>	Soil Type	No. of data groups	No. of tests per group		Property Value		Property COV(%)	
			Range	Mean	Range	Mean	Range	Mean
$S_u$ (UC) ( $\text{kN}/\text{m}^2$ )	Fine Grained	38	2-538	101	6-412	100	6-56	33
$S_u$ (UU) ( $\text{kN}/\text{m}^2$ )	Clay. Silt	13	14-82	33	15-363	276	11-49	22
$S_u$ (CIUC) ( $\text{kN}/\text{m}^2$ )	Clay	10	12-86	47	130-713	405	18-42	32
$S_u$ ( $\text{kN}/\text{m}^2$ ) <sup>b*</sup>	Clay	42	24-124	48	8-638	112	6-80	32
$\phi$ (°)	Sand	7	29-136	62	35-41	37.6	5-11	9
$\phi$ (°)	Clay. Silt	12	5-51	16	9-33	15.3	10-50	21
$\phi$ (°)	Clay. Silt	9	-	-	17-41	33.3	4-12	9
$\tan \phi$ (TC)	Clay. Silt	4	-	-	0.24-0.69	0.509	6-46	20
$\tan \phi$ (DS)	Clay. Silt	3	-	-	-	0.615	6-46	23
$\tan \phi$ <sup>b*</sup>	Sand	13	6-111	45	0.65-0.92	0.744	5-14	9

\*<sup>a</sup>  $S_u$  = Undrained shear strength,  $\phi$  = Effective stress friction angle, DS = Direct shear test

TC = Triaxial compression test, UC = Unconfined compression test, UU = Unconsolidated

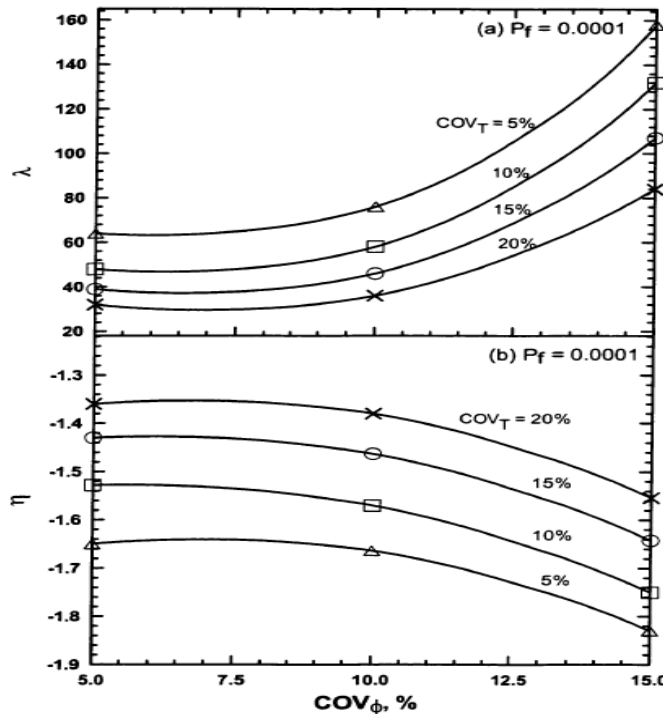
undrained triaxial compression test, CIUC = Consolidated isotropic undrained triaxial

- Compression test

\*<sup>b</sup> Laboratory test type not reported.

Chalermyanont and Benson (2004) ใช้วิธีการวิเคราะห์แบบ Reliability-based design สำหรับใช้วิเคราะห์เสถียรภาพภายในของกำแพงกันดินแบบ Mechanically stabilized earth walls โดยนำค่าตัวแปรที่มีผลต่อเสถียรภาพของกำแพงกันดินมาทำการวิเคราะห์แบบ Probabilistic analysis เพื่อแก้ไขปัญหาความไม่แน่นอนของตัวแปรและใช้วิธี Monte carlo simulation เพื่อให้ทราบลักษณะการกระจายตัวของผลลัพธ์สำหรับคำนวณน่าจะเป็นในการพิบัติ (Probability of failure) และสุดท้ายจะได้ Reliability-based design charts เพื่อแสดง

ความสัมพันธ์ระหว่างความน่าจะเป็นในการพิบัติและตัวแปรที่มีผลต่อเสถียรภาพที่วิศวกรสามารถนำไปใช้ในการออกแบบ ดังรูปที่ 2.11



รูปที่ 2.11 ความสัมพันธ์ระหว่าง  $\lambda$  (a) และ  $\eta$  (b) และ  $COV_\phi$  สำหรับ  $P_f = 0.0001$

for  $COV_T = 5\%, 10\%, 15\%$  และ  $20\%$  (Chalermyanont, 2004)

โดยมีสมการที่สัมพันธ์กับ Reliability-based design charts ดังนี้

$$\alpha = \lambda \mu_\phi^\eta$$

- เมื่อ  $\lambda, \eta$  = Empirical parameters ที่ขึ้นอยู่กับค่า  $COV$  และ  $P_f$   
 $\alpha$  = เป็นอัตราส่วนที่แสดงความสัมพันธ์ระหว่างค่าเฉลี่ย ( $\mu_T$ ) ของ  
 แรงดึงที่ให้ค่า  $P_f$  ที่ต้องการกับพารามิเตอร์ต่างๆ ที่ใช้วิเคราะห์  
 เสถียรภาพภายในของกำแพงกันดิน  
 $\mu_\phi$  = ค่าเฉลี่ย (Mean) ของมุมเสียดทานของดินหลังกำแพงกันดิน

$COV_T$  = สัมประสิทธิ์แห่งความผันแปร (Coefficient of variation) ของค่าแรงดึงในกำแพงกันดิน

Chalermyanont and Benson (2005) ทำการวิเคราะห์เสถียรภาพกานออกแบบกำแพงกันดินแบบ Mechanically stabilized earth walls ด้วยวิธี Reliability – based design (RBD) โดยแบ่งการศึกษาออกเป็น 2 ส่วนคือ การศึกษาตัวแปรที่มีผลต่อการคำนวณค่าความน่าจะเป็นในการพิบัติทั้ง 3 รูปแบบของการพิบัติ และเปรียบเทียบผลการศึกษาที่ได้จากการใช้วิธี RBD กับวิธีการคำนวณดั้งเดิม (Conventional method) และเปรียบเทียบกับค่า Inherent probability จากการคำนวณด้วยวิธีการคำนวณดั้งเดิม ผลจากการศึกษาตัวแปรที่มีผลต่อการคำนวณค่าความน่าจะเป็นในการพิบัติพบว่าค่ามุ่งเสียดทานภายในของดินลดลงและค่าสัมประสิทธิ์แห่งความแปรผันของค่ามุ่งเสียดทานภายในของดินลดเป็นตัวแปรหลักที่มีผลต่อการคำนวณความน่าจะเป็นในการพิบัติสำหรับทั้ง 3 รูปแบบของการพิบัติ และพบว่าค่า Required reinforcement length ที่ได้จาก RBD มีค่าใกล้เคียงกับผลที่ได้จากการคำนวณด้วยวิธีดั้งเดิม ค่าความน่าจะเป็นในการพิบัติที่ซ่อนอยู่ในการคำนวณออกแบบโดยใช้วิธีดั้งเดิมน่าจะมีค่า  $\leq 0.001$  ซึ่งสอดคล้องกับค่าที่ได้จากการศึกษาท่านอื่นสำหรับโครงสร้างลักษณะเดียวกัน

Chalermyanont and Benson (2005) อธิบายถึงวิธีการและเทคนิคสำหรับใช้คำนวณค่าความน่าจะเป็นในการพิบัติทั้งระบบ ( $P_{FSYS}$ ) ของกำแพงกันดินแบบ Mechanically stabilized earth walls โดยค่าความน่าจะเป็นในการพิบัติทั้งระบบหมายถึงผลรวมของค่าความน่าจะเป็นในการพิบัติอันเนื่องมาจากแรงภายนอกและค่าความน่าจะเป็นในการพิบัติอันเนื่องมาจากแรงภายนอก (การพิบัติเนื่องจากการเลื่อนไถล, การพลิกคว่ำและค่ากำลังรับแรงแบกท่านไม่เพียงพอ) ซึ่งสามารถคำนวณได้จาก

$$P_{FSYS} = P_{FINT} + P_{FS} + P_{FO} + P_{FBC}$$

- เมื่อ  $P_{FSYS}$  = ค่าความน่าจะเป็นในการพิบัติทั้งระบบ
- $P_{FINT}$  = ค่าความน่าจะเป็นในการพิบัติอันเนื่องมาจากแรงภายนอก
- $P_{FS}$  = ค่าความน่าจะเป็นในการพิบัติจากการเลื่อนไถล
- $P_{FO}$  = ค่าความน่าจะเป็นในการพิบัติจากการพลิกคว่ำ

$$P_{FBC} = \text{ค่าความน่าจะเป็นในการพิบัติจากค่ากำลังรับแรงแบกท่านไม่เพียงพอ}$$

ผลจากการทำการศึกษาสำหรับกำแพงกันดินแบบ Mechanically stabilized earth walls ที่มีขนาดอัตราส่วนของโครงสร้าง  $\left(\frac{L}{H}\right)$  เท่ากับ 0.7 และเป็นค่าทั่วไปที่แนะนำให้ใช้ทำการออกแบบจากการศึกษาพบว่ากำแพงกันดินดังกล่าวมีค่า  $P_{FSYS} \leq 0.0003$  ซึ่งเป็นค่าความน่าจะเป็นในการพิบัติที่แรงอยู่ในการออกแบบด้วยวิธีดังเดิม

สุทธิศักดิ์ และ วรารถ (2548) ได้ใช้วิธีการวิเคราะห์เพื่อออกแบบและเลือกหน้าตัดของตัวเขื่อนโดยการวิเคราะห์แบบ Probabilistic analysis สำหรับใช้ครอบคลุมความไม่แน่นอนของตัวแปรโดยใช้วิธี Simplified first order second moment (SFOSM) เพื่อนำไปใช้ตรวจสอบความอ่อนไหว (Sensitivity) ของค่าอัตราส่วนความปลดภัยจากการเปลี่ยนแปลงของกำลังแรงเนื่องในส่วนต่างๆ ของเขื่อนซึ่งแบ่งการวิเคราะห์เป็น 2 รูปแบบ ได้แก่ (1) การพิจารณา Zone ที่เกี่ยวข้องกับบริเวณต่างๆ ที่สนับสนุน อย่างเช่น บริเวณแกนกลางของเขื่อน ลาดชัน สถาปัตย์ หรือลักษณะทางกายภาพ เป็นต้น (2) กำลังรับแรงเนื่องซึ่งมีผลเกี่ยวข้องกับความแข็งแรงของดินและความแปรปรวนของตัวแปร การพิจารณาโดยกำหนดและไม่กำหนดหน้าตัดของการพิบัติเพื่อตรวจสอบความสม่ำเสมอของการพิบัติต่อการเปลี่ยนแปลงค่ากำลังรับแรงเนื่องในส่วนต่างๆ ของหน้าตัด จากผลของการวิเคราะห์โดยวิธีของ SFOSM พบว่าค่าความน่าจะเป็นในการพิบัติ มีค่าลดลงอย่างมากเมื่อมีการปรับปรุงหรือคัดเลือกหน้าตัดเขื่อนที่มีความเหมาะสมในการออกแบบเขื่อน ทั้งนี้ การนำเสนอค่าความน่าจะเป็นต่อการพิบัติของหน้าตัดต่างๆ จะถูกนำมาใช้ปรับปรุงวิเคราะห์และประเมินความเสี่ยงเพื่อการคัดเลือกหน้าตัดที่เหมาะสมของเขื่อนต่อไป

Babu and Basha (2008) ได้ทำการศึกษาวิธีการออกแบบกำแพงกันดินที่มีความเหมาะสมด้วยวิธีทางสถิติโดยการกำหนดค่า Reliability index ( $\beta$ ) ที่เหมาะสมกับโครงสร้างกำแพงกันดินและการใช้งาน ( $\beta = 3.0 - 3.2$ ) ซึ่งเป็นการศึกษาสำหรับกำแพงกันดินประเภท Cantilever retaining walls (T shape) และทำการศึกษาตามลักษณะการพิบัติของกำแพงกันดินที่แบ่งออกได้เป็น 10 ลักษณะ แล้วทำการศึกษาหาขนาดหน้าตัดที่เหมาะสมของโครงสร้างด้วยวิธี First order reliability method (FORM) เพื่อทำการเปรียบเทียบกับขนาดของหน้าตัดที่คำนวณได้จาก Standard conventional methods ด้วยวิธีการหาค่าเสถียรภาพของกำแพงกันดินแบบการหาค่า

อัตราส่วนความปลอดภัย (FS) จากการกำหนดให้ขนาดของโครงสร้างกำแพงกันดิน,ค่าคุณสมบัติของคินตอน,ค่าคุณสมบัติของเหล็กและค่าคุณสมบัติของคอนกรีตเป็นตัวแปรที่มีความไม่แน่นอน ผลการศึกษาการหาขนาดของโครงสร้างกำแพงกันดินที่เหมาะสมด้วยการกำหนดค่า  $\beta$  ที่เหมาะสม ด้วยวิธี FORM สำหรับการพินิติทั้ง 10 ลักษณะพบว่าขนาดของโครงสร้างของกำแพงกันดินและค่าคุณสมบัติของคินตอนเป็นตัวแปรหลักที่ส่งผลต่อเสถียรภาพของกำแพงกันดินที่ได้จากการคำนวณ และขนาดหน้าตัดของกำแพงกันดินที่คำนวณได้จากวิธีการกำหนดค่า  $\beta$  ที่เหมาะสมจะมีขนาดที่เล็กกว่ากำแพงกันดินที่คำนวณได้จาก Standard conventional methods ดังแสดงในตารางที่ 2.2

ตารางที่ 2.2 Comparative Study for Cross Sectional Area of Retaining Wall (in  $m^2$ ) (Babu and Basha, 2008)

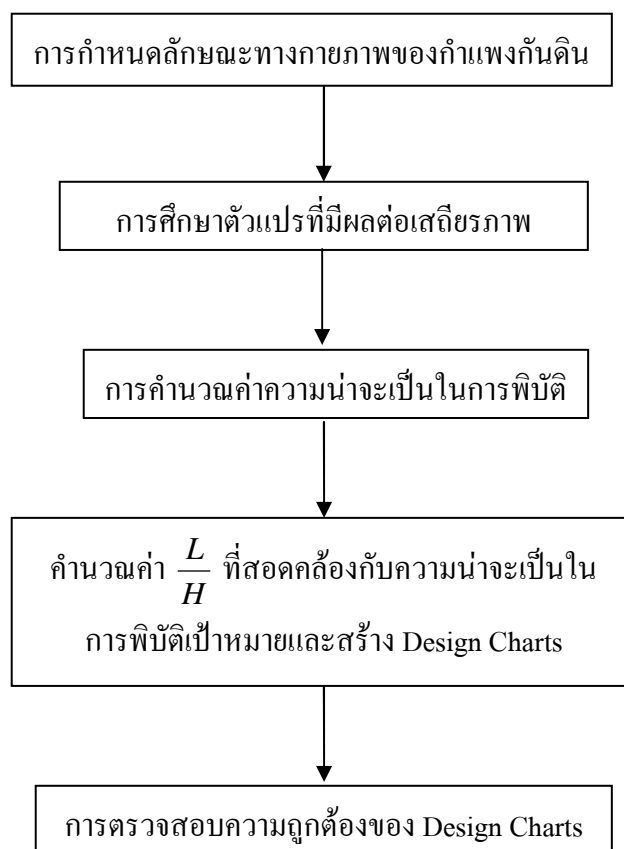
H (m.)	Bowles(1996) and Das(1999)	Saribas and Erbatur(1996) for Minimum Cost	Saribas and Erbatur(1996) for Minimum Weight	Babu and Basha (2008)	
				COV $_{\phi}$ =5%	COV $_{\phi}$ =10%
3.0	1.440	1.257	1.257	1.341	1.395
4.0	2.380	1.952	1.853	1.984	2.080
5.0	3.550	2.868	2.573	2.725	2.875
6.0	4.950	3.976	3.578	3.564	3.780
7.0	6.580	-	-	4.501	4.795
8.0	8.440	-	-	5.536	5.920

## บทที่ 3

### วิธีดำเนินการวิจัย

การดำเนินงานวิจัยเรื่องการวิเคราะห์เสถียรภาพของกำแพงกันดินโดยความน่าจะเป็นประกอบไปด้วยลำดับขั้นตอนที่จะต้องทำการวิเคราะห์คำนวณเป็นจำนวนมาก ภาพรวมของกระบวนการทำการวิจัยแบ่งออกเป็น 5 ขั้นตอนใหญ่ๆ ดังนี้ 1) การกำหนดลักษณะทางกายภาพของกำแพงกันดิน 2) การกำหนดคตัวแปรเพื่อใช้คำนวณหาค่าความน่าจะเป็นในการพิบัติ 3) การคำนวณค่าความน่าจะเป็นในการพิบัติ 4) คำนวณค่า  $\frac{L}{H}$  ที่สอดคล้องกับความน่าจะเป็นในการพิบัติ 5) การตรวจสอบความถูกต้องของ Design Charts ดังแสดงในรูปที่ 3.1

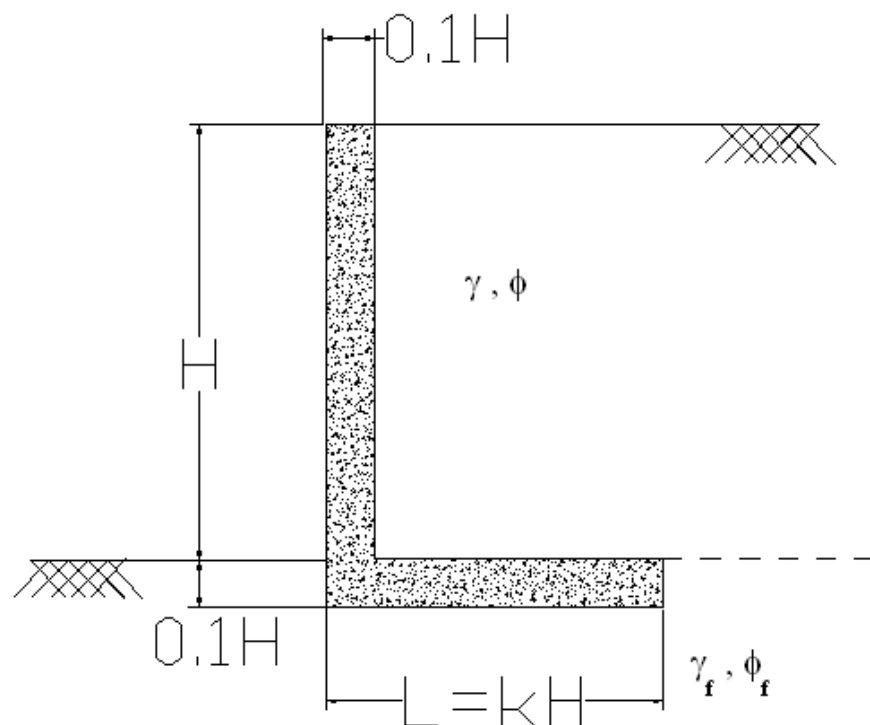
#### วิธีการดำเนินงานวิจัย



รูปที่ 3.1 แผนผังแสดงขั้นตอนของวิธีดำเนินการวิจัย

### 3.1 การกำหนดลักษณะทางกายภาพของกำแพงกันดิน

การกำหนดลักษณะทางกายภาพของกำแพงกันดินที่จะทำการศึกษา คือการระบุถึงลักษณะโครงสร้างของกำแพงกันดิน ชนิดของดินที่ใช้ในการศึกษาร่วมถึงระดับการลดดิน ด้านหน้าและด้านหลังของกำแพงกันดินด้วย โดยการศึกษานี้จะเลือกทำการศึกษาเฉพาะกำแพงกันดินที่เป็นคอนกรีตและมีลักษณะเป็นแบบ L-shape (Liu and Evett, 2004) ประกอบด้วยความสูงของกำแพงกันดินตามความสัมพันธ์  $L = kH$  เมื่อ  $0 < k < 1$  และโครงสร้างทั้งหมดของกำแพงกันดินมีความหนาเท่ากับ  $0.1H$  ส่วนดินที่จะใช้ในการศึกษากำหนดให้เป็นดินรายแบบไม่มีความเชื่อมแน่นที่มีคุณสมบัติระabayน้ำได้ดีและเหมาะสมต่อการใช้งาน โดยกำหนดให้ดินตามด้านหน้ากำแพงกันดินอยู่ในแนวระบานมีความสูงเท่ากับ  $0.1H$  และให้ดินตามหลังกำแพงกันดินอยู่ในแนวระบานมีความสูงเท่ากับกำแพงกันดิน ดังรูปที่ 3.1 โดยดินหลังกำแพงกันดิน (Retained soil) มีคุณสมบัติที่สำคัญได้แก่ ค่าหน่วยน้ำหนัก ( $\gamma$ ) และค่ามุมเสียดทานภายใน ( $\phi$ ) และคินฐานราก (Foundation soil) มีค่าหน่วยน้ำหนัก ( $\gamma_f$ ) และมุมเสียดทานภายในของดินฐานราก ( $\phi_f$ )



รูปที่ 3.2 ลักษณะของกำแพงกันดินที่ใช้ทำการศึกษา

### 3.2 ตัวแปรที่มีผลต่อเสถียรภาพของกำแพงกันดิน

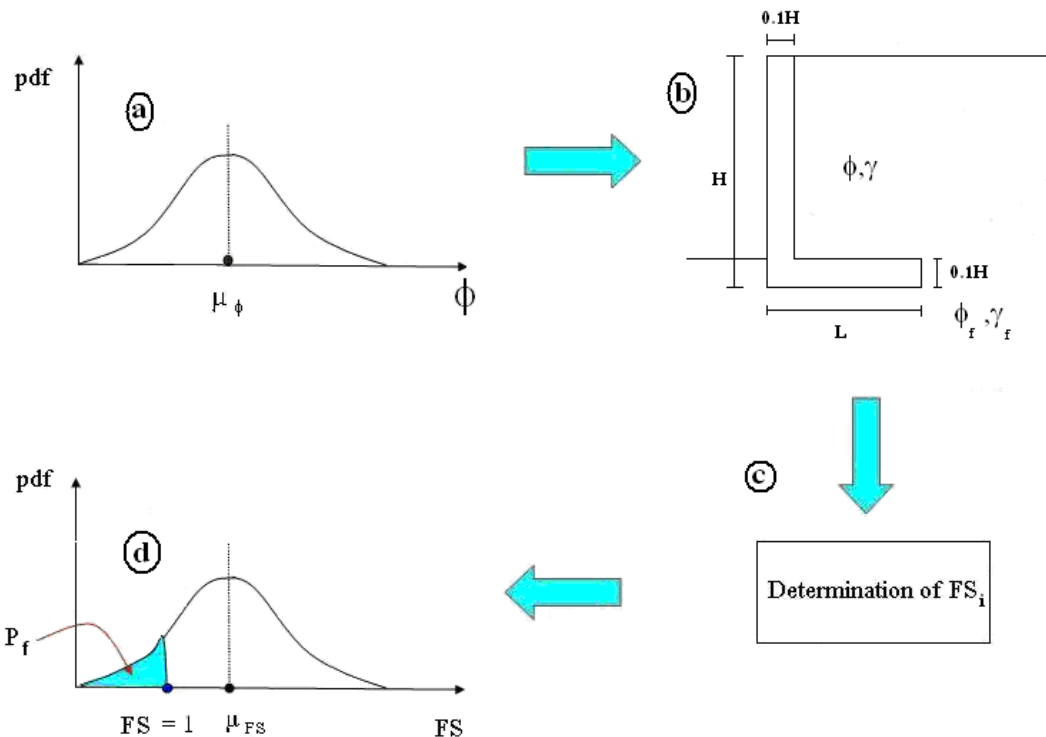
ผลการศึกษาของ Chalermyanont and Benson (2005) แสดงให้เห็นว่า External stability สำหรับกำแพงกันดิน ค่าพารามิเตอร์ที่มีผลต่อค่าความน่าจะเป็นในการพิบัติ ( $P_f$ ) ได้แก่ค่า  $L$ ,  $H$ ,  $COV_\phi$  และ  $\mu_\phi$  ในขณะที่ค่า  $\mu_\gamma$  และ  $COV_\gamma$  ไม่มีผลอย่างมีนัยสำคัญต่อการคำนวณหาค่าความน่าจะเป็นในการพิบัติ ( $P_f$ ) ดังนั้นในการศึกษารังนี้ จึงกำหนดให้ค่า  $\gamma$  ที่ใช้สำหรับคำนวณ เป็นค่าคงที่มีค่าเท่ากัน  $18 \text{ kN/m}^3$  ซึ่งเป็นค่ากลางจากช่วง  $16 - 20 \text{ kN/m}^3$  ตามคำแนะนำของ Phoon (1995)

สำหรับในลักษณะการพิบัติแบบ Sliding failure และ Bearing capacity failure นั้น จำเป็นต้องมีค่าคุณสมบัติของดินฐานราก (Foundation soil) เข้ามาเกี่ยวข้องด้วยในการคำนวณ เสถียรภาพ ในการศึกษารังนี้กำหนดให้ดินฐานรากมีความแข็งแรงไม่น้อยกว่าดินหลังกำแพงกันดิน (Retained soil) ในการคำนวณจึงใช้ค่า  $\gamma_f = \gamma$  และ  $\phi_f = \phi$

### 3.3 การคำนวณค่าความน่าจะเป็นในการพิบัติ

การคำนวณค่าความน่าจะเป็นในการพิบัติของการศึกษารังนี้ประกอบไปด้วยการคำนวณ 2 วิธีคือการคำนวณด้วยวิธี First Order Second Moment (FOSM) และวิธี Monte Carlo Simulation (MCS) ซึ่งมีรายละเอียดวิธีการคำนวณดังนี้

- กำหนดค่าคุณสมบัติของดิน ( $\phi_i$ ) ถูกกำหนดเป็นตัวแปร (Variable) ที่สามารถอธิบายในทางสถิติได้โดยใช้ค่าเฉลี่ย ( $\mu_\phi$ ) และค่าเบี่ยงเบนมาตรฐาน ( $SD_\phi$ ) (รูปที่ 3.2 a)
- กำหนดขนาดและรูปร่างของกำแพงกันดิน โดยใช้พารามิเตอร์ดังต่อไปนี้ ความสูงของกำแพงกันดิน ( $H$ ), ความยาวของฐานกำแพงกันดิน ( $L$ ) และค่าคุณสมบัติของดิน ได้แก่ ค่าหน่วยน้ำหนักของดิน ( $\gamma$ ) พารามิเตอร์ทั้งหมดนี้จะถูกกำหนดให้เป็นค่าคงที่ (รูปที่ 3.2 b)
- ทำการคำนวณค่า  $FS_i$  จากค่า  $\phi_i$  (รูปที่ 3.2 c)
- คำนวณค่า  $P_f$  โดยหาพื้นที่ใต้กราฟที่แสดงเป็นพื้นที่แรเงา (รูปที่ 3.2 d)



รูปที่ 3.3 Probabilistic analysis (ดัดแปลงจาก Chalermyanont and Benson, 2004)

ส่วนการหาค่าความน่าจะเป็นในการพิบัติจากค่า SM สามารถคำนวณได้ตามขั้นตอนในรูปที่ 3.2 เพียงแต่เปลี่ยนจากวิธีการหาค่าเสถียรภาพของกำแพงกันดินในรูปแบบของ FS มาเป็นการหาค่า SM แทน

### 3.3.1 การคำนวณค่าความน่าจะเป็นในการพิบัติด้วยวิธี First Order Second Moment (FOSM)

การคำนวณความน่าจะเป็นในการพิบัติ ( $P_f$ ) ด้วยวิธี FOSM ทำโดยการใช้เทอมแรกของ Taylor's series approximation ในการหาค่าความแปรปรวนของค่าเสถียรภาพของกำแพงกันดินในแต่ละลักษณะการพิบัติของกำแพงกันดิน อันเนื่องมาจากความไม่แน่นอนของค่ามุ่งเสียดทานภายในของดินคุณ ( $\phi$ ) และทำการคำนวณหาค่าเบี่ยงเบนมาตรฐานของค่าเสถียรภาพเพื่อใช้คำนวณหาค่าความน่าจะเป็นในการพิบัติ ( $P_f$ ) โดยใช้ Program Microsoft Excel ช่วยในการคำนวณ ซึ่งในการศึกษานี้จะแบ่งการคำนวณออกเป็น 2 ส่วนคือ การหาค่าความน่าจะเป็นในการพิบัติจากการหาค่าเสถียรภาพของกำแพงกันดินในรูปแบบของการหาค่าอัตราส่วนความปลดปล่อย ( $FS$ ) และ

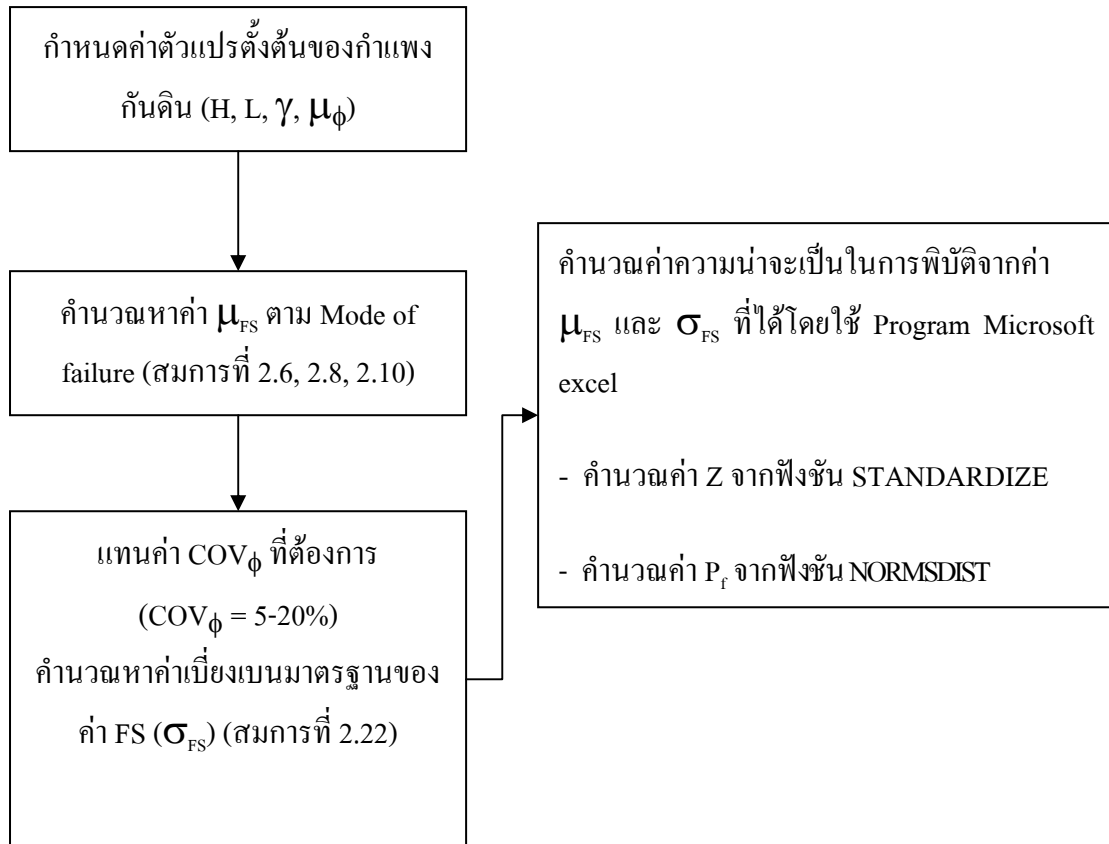
การหาค่าความน่าจะเป็นในการพิบัติจากการหาค่าเสถียรภาพของกำแพงกันดินในรูปแบบของการหาค่าผลต่างความปลอดภัย (SM) ซึ่งมีรายละเอียดดังนี้

### 3.3.1.1 การหาค่าความน่าจะเป็นในการพิบัติ ( $P_f$ ) ด้วยวิธี FOSM โดยใช้ค่าอัตราส่วนความปลอดภัย (FS)

การหาค่าความน่าจะเป็นในการพิบัติ ( $P_f$ ) จากการหาค่าเสถียรภาพของกำแพงกันดินโดยใช้ค่าอัตราส่วนความปลอดภัย (FS) มีขั้นตอนพื้นฐานดังนี้

1. สามารถทำได้โดยการคำนวณค่าความแปรปรวนของค่าอัตราส่วนความปลอดภัย (FS) ตามสมการที่ 2.20 เพื่อใช้คำนวณค่าเบี่ยงเบนมาตรฐานของค่าเสถียรภาพของกำแพงกันดิน ( $\sigma_{FS}$ ) ตามสมการที่ 2.22 และนำค่าเบี่ยงเบนมาตรฐานของค่าเสถียรภาพของกำแพงกันดิน ( $\sigma_{FS}$ ) ที่คำนวณได้ไปคำนวณหาค่าความน่าจะเป็นในการพิบัติ ( $P_f$ ) จากความน่าจะเป็นที่ค่า  $FS < 1$  โดยการใช้ Program Microsoft Excel ช่วยคำนวณด้วยฟังชัน STANDARDIZE เพื่อใช้หาค่าการแจกแจงความน่าจะเป็นสะสมแบบปกติ (Z) และฟังชัน NORMSDIST เพื่อใช้หาค่าความน่าจะเป็นในการพิบัติ ( $P_f$ ) ซึ่งมีขั้นตอนดังนี้

1. กำหนดค่าตัวแปรตั้งต้นของกำแพงกันดิน ( $H, L, \gamma, \mu_\phi$ )
2. คำนวณหาค่าอัตราส่วนความปลอดภัย ( $\mu_{FS}$ ) ตาม Mode of failure โดยใช้ค่า  $\mu_\phi$
3. แทนค่า  $COV_\phi$  ที่ต้องการและคำนวณหาค่าเบี่ยงเบนมาตรฐานของค่าอัตราส่วนความปลอดภัย ( $\sigma_{FS}$ ) (สมการที่ 2.22)
4. คำนวณหาค่าความน่าจะเป็นในการพิบัติ ( $P_f$ ) จากค่า  $\mu_{FS}$  และ  $\sigma_{FS}$  ที่ได้โดยใช้ Program Microsoft Excel



รูปที่ 3.4 ขั้นตอนการคำนวณค่า  $P_f$  ด้วยวิธี FOSM โดยใช้ค่าอัตราส่วนความปลอดภัย (FS)

### 3.3.1.2 การหาค่าความน่าจะเป็นในการพิบัติ ( $P_f$ ) ด้วยวิธี FOSM โดยใช้ค่าผลต่างความปลอดภัย (SM)

การหาค่าความน่าจะเป็นในการพิบัติ ( $P_f$ ) จากการหาค่าเสถียรภาพของกำแพงกันดินโดยใช้ค่าผลต่างความปลอดภัย (SM) สามารถทำได้โดยการคำนวณค่าความแปรปรวนของค่าผลต่างความปลอดภัย (SM) ตามสมการที่ 2.21 เพื่อใช้คำนวณค่าเบี่ยงเบนมาตรฐานของค่าเสถียรภาพของกำแพงกันดิน ( $\sigma_{SM}$ ) ตามสมการที่ 2.23 แล้วนำค่าเบี่ยงเบนมาตรฐานของค่าเสถียรภาพของกำแพงกันดิน ( $\sigma_{SM}$ ) ที่คำนวณได้ไปคำนวณหาค่าความน่าจะเป็นในการพิบัติ ( $P_f$ ) จากความน่าจะเป็นที่ค่า  $SM < 0$  โดยการใช้ Program Microsoft Excel ช่วยคำนวณด้วยฟังชัน STANDARDIZE เพื่อใช้หาค่าการแจกแจงความน่าจะเป็นสะสมแบบปกติ (Z) และฟัง

ขั้น NORMSDIST เพื่อใช้หาค่าความน่าจะเป็นในการพิบัติ ( $P_f$ ) ซึ่งมีขั้นตอนการคำนวณเหมือนกับรูปที่ 3.4

### 3.3.2 การคำนวณค่าความน่าจะเป็นในการพิบัติด้วยวิธี Monte Carlo Simulation (MCS)

การคำนวณความน่าจะเป็นในการพิบัติ ( $P_f$ ) ด้วยวิธี MCS ทำโดยการคำนวณหาค่าเสถียรภาพของกำแพงกันดินช้าหลาຍๆครั้ง โดยใช้ Realization ที่มีค่าแตกต่างกัน และมากครั้งพอที่จะได้ลักษณะการกระจายตัวของค่าเสถียรภาพของกำแพงกันดิน ซึ่งในการศึกษานี้จะทำโดยการเขียนคำสั่ง (Source code) ในโปรแกรม Visual Fortran เพื่อใช้ช่วยทำการคำนวณ แล้วหาค่า  $P_f$  จากความน่าจะเป็นที่ค่าเสถียรภาพมีค่าต่ำกว่าค่าที่ยอมรับได้ โดยแบ่งการคำนวณออกเป็น 3 ส่วนคือ 1. การหาค่าความน่าจะเป็นในการพิบัติจากการหาค่าเสถียรภาพของกำแพงกันดินในรูปแบบของการหาค่าอัตราส่วนความปลอดภัย (FS) และ 2. การหาค่าความน่าจะเป็นในการพิบัติจากการหาค่าผลต่างความปลอดภัย (SM) 3. การคำนวณหาจำนวนครั้งที่เหมาะสมสำหรับทำการคำนวณซ้ำ (Numbers of iteration, N) ซึ่งมีรายละเอียดดังนี้

#### 3.3.2.1 การคำนวณหาค่าความน่าจะเป็นในการพิบัติ ( $P_f$ ) ด้วยวิธี MCS โดยใช้ค่าอัตราส่วนความปลอดภัย (FS)

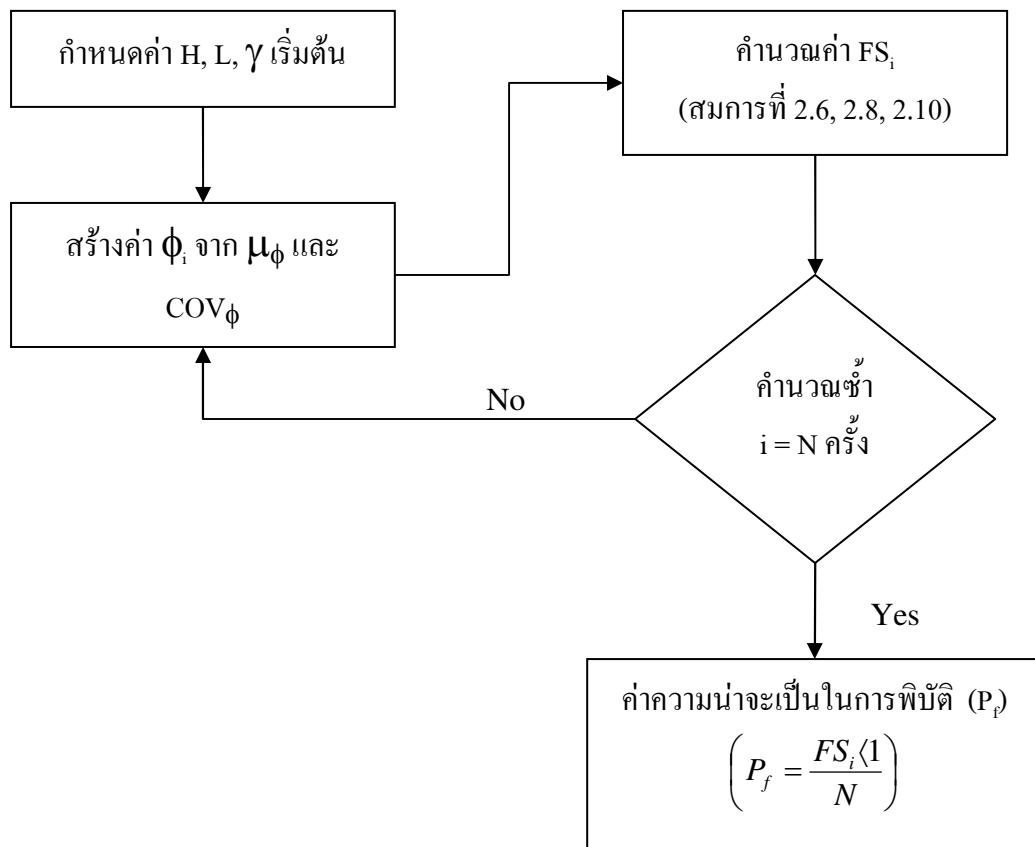
การคำนวณหาค่าความน่าจะเป็นในการพิบัติ ( $P_f$ ) โดยใช้ค่าอัตราส่วนความปลอดภัย (FS) สามารถทำได้โดยทำการคำนวณหาค่าอัตราส่วนความปลอดภัย ( $FS_i$ ) ตามลักษณะการพิบัติที่ต้องการช้าหลาຍๆครั้ง โดยใช้ค่ามุนเสียงทางกายในของดิน ( $\phi_i$ ) เป็น Input parameter ที่มีค่าแตกต่างกันตามขนาดของค่าสัมประสิทธิ์แห่งความแปรผัน ( $COV_\phi$ ) และมากครั้งพอที่จะได้การกระจายตัวของค่า FS (Distribution of factor of safety) จากนั้นสามารถคำนวณค่าความน่าจะเป็นในการพิบัติของกำแพงกันดินได้จากความน่าจะเป็นที่  $FS < 1$  ซึ่งมีขั้นตอนดังนี้

- กำหนดค่าพารามิเตอร์ตั้งต้นที่ใช้ในการคำนวณดังต่อไปนี้ ความสูงของกำแพงกันดิน (H) ความกว้างของกำแพงกันดิน (L) และค่าคุณสมบัติของดิน ได้แก่ ค่าหน่วยน้ำหนักของดิน ( $\gamma$ ) ซึ่งจะกำหนดให้เป็นค่าคงที่

2. ค่ามุ่งเสี่ยงทางภายนอกดิน ( $\phi$ ) ลูกกำหนดให้เป็นตัวแปรที่มีความแปรปรวน (Variable) ที่สามารถอธิบายได้ในทางสถิต โดยใช้ค่าเฉลี่ย ( $\mu_\phi$ ) และค่าสัมประสิทธิ์แห่งความแปรผัน ( $COV_\phi$ ) โดยค่า  $\phi_i$  ค่าที่  $i$  จะลูกสร้างขึ้นจากค่า  $\mu_\phi$  และ  $COV_\phi$  ด้วยวิธี Generating Realizations (รายละเอียดได้บรรยายไว้ในหัวข้อที่ 2.3.3)

3. คำนวณค่า  $FS_i$  ของกำแพงกันดินตามลักษณะการพิบัติที่ต้องการ (สมการที่ 2.6, 2.8, 2.10) จำนวน  $N$  ครั้ง โดยเริ่มตั้งแต่  $i = 1$  จนถึง  $i = N$  ที่มีจำนวนมากพอเพื่อให้สามารถแสดงเป็น Probability Density Function (pdf) ของ  $FS$  ได้

4. คำนวณค่า  $P_f$  จากจำนวนครั้งที่ค่า  $FS_i < 1$  หารด้วยจำนวนครั้งที่ทำการคำนวณ  $(N)$  
$$P_f = \frac{FS_i < 1}{N}$$



รูปที่ 3.5 ขั้นตอนการคำนวณค่า  $P_f$  ด้วยวิธี MCS โดยใช้ค่าอัตราส่วนความปลอดภัย (FS)

### 3.3.2.2 การหาค่าความน่าจะเป็นในการพิบติ ( $P_f$ ) ด้วยวิธี MCS ในรูปแบบของการหาค่าผลต่างความปลอดภัย (SM)

การคำนวณหาค่าความน่าจะเป็นในการพิบติ ( $P_f$ ) โดยใช้ค่าผลต่างความปลอดภัย (SM) ด้วยวิธี MCS สามารถทำได้โดยทำการคำนวณหาค่าผลต่างความปลอดภัย (SM) ตามลักษณะการพิบติที่ต้องการซ้ำหลายครั้ง โดยใช้ค่ามุนเสียงทางกายในของคิน ( $\phi_i$ ) เป็น Input parameter ที่มีค่าแตกต่างกันตาม  $\mu_\phi$  และ  $COV_\phi$  และมากครั้งพอที่จะได้การกระจายตัวของค่า SM (Distribution of safety margin) จากนั้นสามารถคำนวณค่าความน่าจะเป็นในการพิบติของกำแพงกันคินได้จากการคำนวณน่าจะเป็นที่  $SM < 0$  ซึ่งมีขั้นตอนการคำนวณเหมือนกับรูปที่ 3.5

### 3.3.2.3 การคำนวณหาจำนวนครั้งที่เหมาะสมสำหรับทำการคำนวณซ้ำ (Numbers of Iteration, N)

เนื่องจากในการคำนวณด้วยวิธี MCS มีวัตถุประสงค์เพื่อหาค่าเสถียรภาพของกำแพงกันคินที่มากพอ เพื่อแสดงลักษณะการกระจายตัวของค่าเสถียรภาพสำหรับคำนวณหาค่าความน่าจะเป็นในการพิบติ ดังนั้นความถูกต้องของผลการการคำนวณค่าความน่าจะเป็นในการพิบติ ( $P_f$ ) ด้วยวิธี MCS จะขึ้นอยู่กับจำนวนครั้งที่ทำการคำนวณซ้ำ (N) จึงจำเป็นต้องทำการทดสอบด้วยว่าจำนวนครั้งของการคำนวณซ้ำที่เหมาะสมสำหรับการคำนวณคือกี่ครั้งถึงจะให้ค่า  $P_f$  ที่ถูกต้องและไม่ต้องทำการคำนวณซ้ำเพิ่มเติม โดยการหาค่า N ที่เหมาะสมสามารถทำได้จากการคำนวณตามขั้นตอนในรูปที่ 3.5 จากการใช้ค่า N ในการคำนวณที่แตกต่างกันซึ่งมีค่าตั้งแต่ 100 ถึง 1,000,000 ครั้ง และค่า N ที่เหมาะสมต่อการคำนวณคือจำนวนครั้งที่น้อยที่สุดที่ทำให้ความสัมพันธ์ระหว่างค่า N กับค่า  $P_f$  ไม่มีการเปลี่ยนแปลงอย่างมีนัยสำคัญ

## 3.4 การสร้าง Design Charts

Design charts ที่จะสร้างขึ้นจากการศึกษานี้จะเป็น Charts ความสัมพันธ์ระหว่างขนาดของโครงสร้างกำแพงกันคิน ( $\frac{L}{H}$ ) และค่า  $P_f$  ที่ต้องการ Beacher (1987) และ Chalermyanont and Benson (2004) ได้แสดงให้เห็นว่าค่า  $P_f$  ที่เหมาะสม (Target

probability of failure,  $P_{f_t}$ ) สำหรับการวิเคราะห์เสถียรภาพของกำแพงกันดินซึ่งเป็นโครงสร้างในงานฐานรากได้แก่ 0.01 , 0.001 , 0.0001 ดังนั้นในการสร้าง Charts สำหรับแต่ละค่า  $P_f$  สามารถทำได้โดยการคำนวณข้อมูลเพื่อหาค่าขนาดของโครงสร้างกำแพงกันดิน ( $\frac{L}{H}$ ) ที่ให้ค่า  $P_f$  ที่ต้องการซึ่งมีวิธีการคำนวณดังนี้

### 3.4.1 ขั้นตอนการคำนวณเพื่อสร้าง Design Charts จากการคำนวณด้วยวิธี FOSM

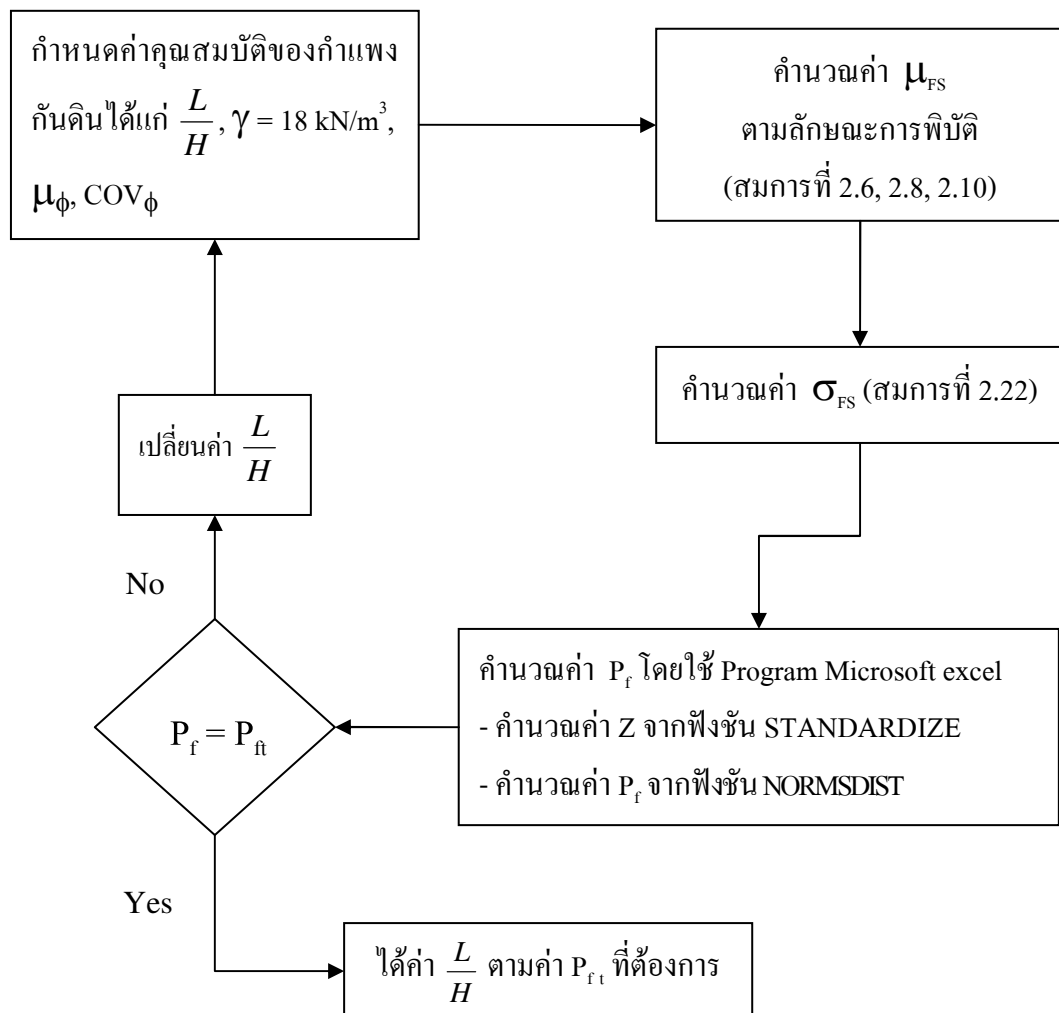
ขั้นตอนการคำนวณเพื่อสร้าง Design charts จากการคำนวณด้วยวิธี FOSM แบ่งออกเป็น 2 ขั้นตอนหลักคือ การคำนวณเพื่อสร้าง Design charts จากการคำนวณด้วยวิธี FOSM โดยใช้ค่าอัตราส่วนความปลอดภัย (FS) และ การคำนวณเพื่อสร้าง Design charts จากการคำนวณด้วยวิธี FOSM โดยใช้ค่าผลต่างความปลอดภัย (SM) ซึ่งมีรายละเอียดดังนี้

#### 3.4.1.1 การคำนวณเพื่อสร้าง Design Charts จากการคำนวณด้วยวิธี FOSM โดยใช้ค่าอัตราส่วนความปลอดภัย (FS)

การคำนวณเพื่อสร้าง Design charts นี้สามารถทำได้โดยทำการคำนวณข้ามหัวข้อที่ 3.3.1.1 ด้วยการแทนค่า  $\gamma = 18 \text{ kN/m}^3$ ,  $\mu_\phi = 25^\circ - 45^\circ$ ,  $\text{COV}_\phi = 5-20\%$  และขนาดของโครงสร้างกำแพงกันดินเริ่มต้นในรูปแบบอัตราส่วนระหว่าง  $\frac{L}{H}$  แล้วทำการคำนวณค่า  $P_f$  หลังจากนั้นใช้ฟังชัน Solver ใน Microsoft Excel ทำการคำนวณข้อมูลเพื่อหาค่า  $\frac{L}{H}$  ที่ให้ค่าความน่าจะเป็นในการพิบัติที่ต้องการ (Target probability of failure;  $P_{f_t}$ ) ซึ่งมีขั้นตอนตามรูปที่ 3.6 ดังนี้

1. กำหนดค่าคุณสมบัติของกำแพงกันดิน ( $\frac{L}{H}, \gamma, \mu_\phi, \text{COV}_\phi$ )
2. คำนวณหาค่าอัตราส่วนความปลอดภัย ( $\mu_{FS}$ ) โดยใช้ค่า  $\mu_\phi$
3. คำนวณหาค่าเบี่ยงเบนมาตรฐานของค่าอัตราส่วนความปลอดภัย ( $\sigma_{FS}$ )  
(สมการที่ 2.22)
4. คำนวณหาค่าความน่าจะเป็นในการพิบัติ ( $P_r$ ) โดยใช้ Program Microsoft Excel
5. ถ้า  $P_r$  เท่ากับ  $P_{f_t}$  ที่ต้องการก็เสร็จสิ้นการคำนวณ

6. แต่ถ้า  $P_f$  ไม่เท่ากับ  $P_{f_t}$  ให้ทำการเปลี่ยนค่า  $\frac{L}{H}$  แล้วดำเนินการขั้นตอนที่ 1-5 ซ้ำจนกว่า  $P_f$  จะเท่ากับ  $P_{f_t}$  โดยใช้ฟังชัน Solver ใน Microsoft Excel ช่วยคำนวณในขั้นตอนนี้
7. รวมรวมค่า  $\frac{L}{H}$  ที่คำนวณได้ไปดำเนินการสร้าง Design charts ต่อไป



รูปที่ 3.6 ขั้นตอนการสร้าง Design charts จากการคำนวณด้วยวิธี FOSM โดยใช้ค่าอัตราส่วนความปลอดภัย (FS)

3.4.1.2 การคำนวณเพื่อสร้าง Design Charts จากการคำนวณด้วยวิธี FOSM โดยใช้ค่าผลต่างความปลอดภัย (SM)

การคำนวณเพื่อสร้าง Design charts จากการคำนวณด้วยวิธี FOSM โดยใช้ค่าผลต่างความปลอดภัย (SM) สามารถทำได้โดยทำการคำนวณขั้นตอนตามหัวข้อที่ 3.3.1.2 ด้วยการแทนค่า  $\gamma = 18 \text{ kN/m}^3$ ,  $\mu_\phi = 25^\circ-45^\circ$ ,  $\text{COV}_\phi = 5-20\%$  และขนาดของโครงสร้างกำแพงกันดินเริ่มต้นในรูปแบบอัตราส่วนระหว่าง  $\frac{L}{H}$  และทำการคำนวณหาเสถียรภาพของกำแพงกันดินโดยใช้ค่า SM แล้วคำนวณค่า  $P_f$  จากนั้นใช้ฟังชัน Solver ใน Microsoft Excel ทำการคำนวณขั้นตอนกลับเพื่อหาค่า  $\frac{L}{H}$  ที่ให้ค่าความน่าจะเป็นในการพิบัติที่ต้องการ (Target probability of failure;  $P_{f,t}$ ) ซึ่งมีขั้นตอนการคำนวณเหมือนกับรูปที่ 3.6

#### 3.4.2 ขั้นตอนการคำนวณเพื่อสร้าง Design Charts จากการคำนวณด้วยวิธี MCS

ขั้นตอนการคำนวณเพื่อสร้าง Design charts จากการคำนวณด้วยวิธี MCS แบ่งออกเป็น 2 ขั้นตอนหลักคือ การคำนวณเพื่อสร้าง Design charts จากการคำนวณด้วยวิธี MCS โดยใช้ค่าอัตราส่วนความปลอดภัย (FS) และ การคำนวณเพื่อสร้าง Design charts จากการคำนวณด้วยวิธี MCS โดยใช้ค่าผลต่างความปลอดภัย (SM) ซึ่งมีรายละเอียดดังนี้

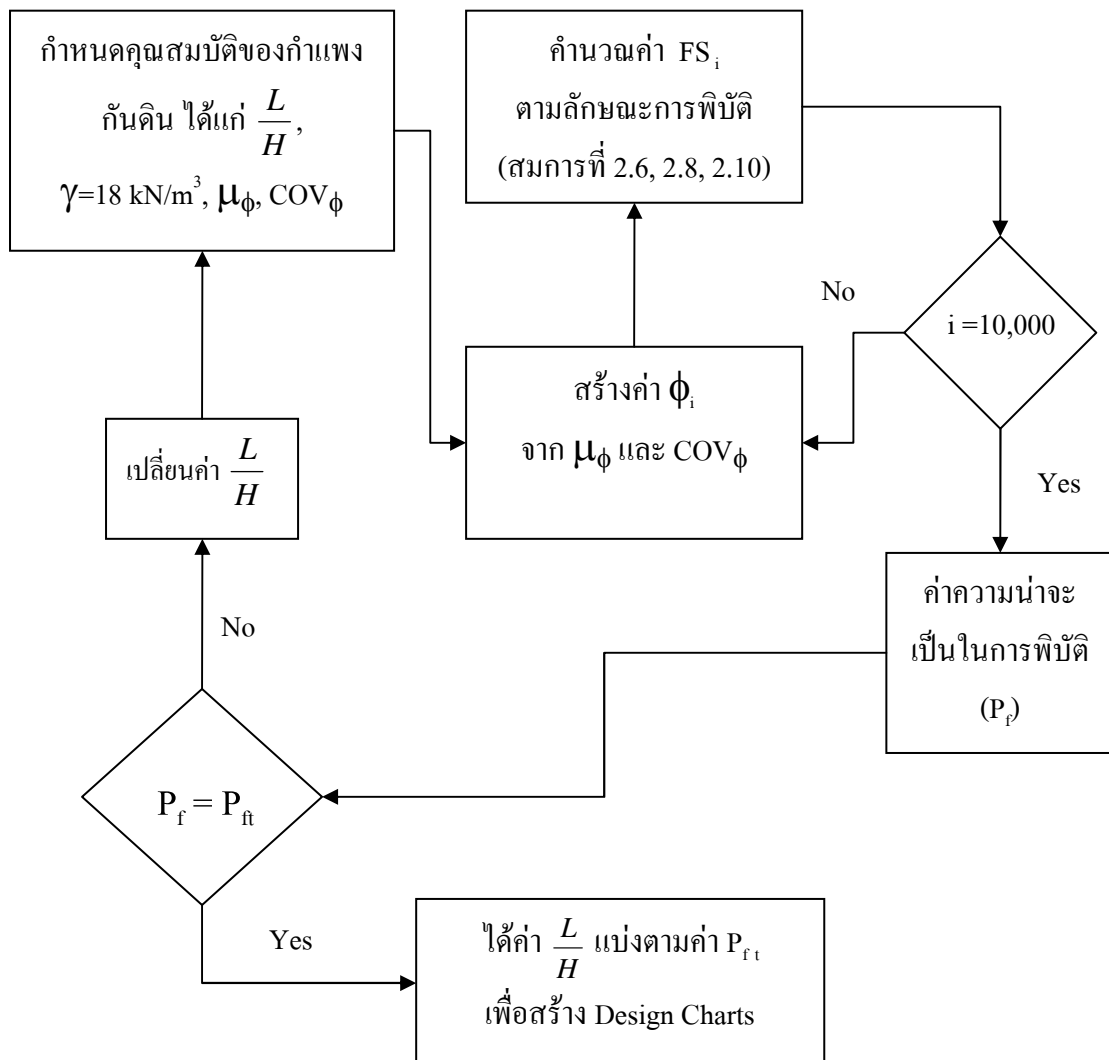
##### 3.4.2.1 การคำนวณเพื่อสร้าง Design Charts จากการคำนวณด้วยวิธี MCS โดยใช้ค่าอัตราส่วนความปลอดภัย (FS)

การคำนวณเพื่อสร้าง Design charts นี้ (รายละเอียดในรูปที่ 3.7) สามารถทำได้โดยทำการคำนวณขั้นตอนตามหัวข้อที่ 3.3.2.1 ด้วยการแทนค่า  $\gamma = 18 \text{ kN/m}^3$ ,  $\mu_\phi = 25^\circ-45^\circ$ ,  $\text{COV}_\phi = 5-20\%$  และขนาดของโครงสร้างกำแพงกันดินเริ่มต้นในรูปแบบอัตราส่วนระหว่าง  $\frac{L}{H}$  แล้วทำการคำนวณค่า  $P_f$  โดยทำการคำนวณขั้นตอนกว่าจะได้ค่า  $\frac{L}{H}$  ที่ให้ค่า  $P_f$  เท่ากับค่าความน่าจะเป็นในการพิบัติที่ต้องการ (Target probability of failure;  $P_{f,t}$ ) ซึ่งมีขั้นตอนการดังนี้

1. กำหนดค่าคุณสมบัติของกำแพงกันดิน ( $\frac{L}{H}, \gamma, \mu_\phi, \text{COV}_\phi$ )
2. สร้างค่า  $\phi_i$  จาก  $\mu_\phi$  และ  $\text{COV}_\phi$

3. คำนวณหาค่า FS จำนวน 10,000 ครั้งแล้วคำนวณหาค่า  $P_f$
4. ถ้า  $P_f$  เท่ากับ  $P_{ft}$  ที่ต้องการก็เสร็จสิ้นการคำนวณ
5. แต่ถ้า  $P_f$  ไม่เท่ากับ  $P_{ft}$  ก็ทำการเปลี่ยนแปลงค่า  $\frac{L}{H}$  แล้วดำเนินการคำนวณซ้ำจนกว่า  $P_f$  จะเท่ากับ  $P_{ft}$
6. รวมรวมค่า  $\frac{L}{H}$  ที่คำนวณได้ทั้งหมดจากการ Varies ค่า  $\mu_\phi$  และ  $COV_\phi$

ไปดำเนินการสร้าง Design charts ต่อไป



รูปที่ 3.7 ขั้นตอนการสร้าง Design charts จากการคำนวณด้วยวิธี MCS โดยใช้ค่าอัตราส่วน

## ความปลอดภัย (FS)

3.4.2.2 การคำนวณเพื่อสร้าง Design Charts จากการคำนวณด้วยวิธี MCS โดยใช้ค่าผลต่างความปลอดภัย (SM)

การคำนวณเพื่อสร้าง Design charts จากการคำนวณด้วยวิธี MCS โดยใช้ค่าผลต่างความปลอดภัย (SM) สามารถทำได้โดยทำการคำนวณช้าตามหัวข้อที่ 3.3.2.2 ด้วยการแทนค่า  $\gamma = 18 \text{ kN/m}^3$ ,  $\mu_\phi = 25^\circ - 45^\circ$ ,  $\text{COV}_\phi = 5-20\%$  และขนาดของโครงสร้างกำแพงกันดินเริ่มต้นในรูปแบบอัตราส่วนระหว่าง  $\frac{L}{H}$  แล้วทำการคำนวณค่า  $P_f$  โดยทำการคำนวณช้าจนกว่าจะได้ค่า  $\frac{L}{H}$  ที่ให้ค่า  $P_f$  เท่ากับค่าความน่าจะเป็นในการพิบัติที่ต้องการ (Target probability of failure;  $P_{f,t}$ ) ซึ่งมีขั้นตอนการคำนวณเหมือนกับรูปที่ 3.7

## 3.4.3 การสร้าง Design Charts

ชุดของค่า  $\frac{L}{H}$  ที่ได้จากการคำนวณในหัวข้อที่ 3.4 จะถูกรวบรวมเพื่อนำมาสร้าง Design charts โดยจะแบ่งข้อมูลออกตามวิธีการคำนวณและค่าความน่าจะเป็นในการพิบัติ ( $P_f$ ) ซึ่งมีขั้นตอนดังนี้

1. รวมรวมค่า  $\frac{L}{H}$  ที่ได้จากการคำนวณแล้วแบ่งข้อมูลออกเป็น 2 ส่วนตามวิธีการคำนวณทางสถิติกือ 1. ค่า  $\frac{L}{H}$  ที่ได้จากการคำนวณด้วยวิธี FOSM และ 2. ค่า  $\frac{L}{H}$  ที่ได้จากการคำนวณด้วยวิธี MCS

2. แบ่งข้อมูลค่า  $\frac{L}{H}$  ที่คำนวณได้ในแต่ละวิธีทางสถิติออกเป็น 3 ส่วนตามลักษณะการพิบัติกือ 1. การพิบัติแบบเลื่อนไถ (Sliding failure), 2. การพิบัติเนื่องจากการพลิกคว่ำ (Overturning failure), 3. การพิบัติเนื่องจากมีกำลังรับแรงแบกทางไม่เพียงพอ (Bearing capacity failure)

3. แบ่งข้อมูลค่า  $\frac{L}{H}$  ที่คำนวณได้ในแต่ละลักษณะการพิบัติออกเป็น 2 ส่วนตาม

วิธีการหาค่าเสถียรภาพคือ 1. จากการหาค่าเสถียรภาพด้วยการหาค่าอัตราส่วนความปลอดภัย (FS),

2. จากการหาค่าเสถียรภาพด้วยการหาค่าผลต่างความปลอดภัย (SM)

4. แบ่งข้อมูลค่า  $\frac{L}{H}$  ที่คำนวณได้จากแต่ละวิธีสำหรับหาค่าเสถียรภาพออกเป็น 3

ส่วนตามค่าความน่าจะเป็นในการพิบัติ ( $P_f = 0.01, 0.001, 0.0001$ )

5. สร้างเส้นกราฟความสัมพันธ์ระหว่างค่า  $\frac{L}{H}$  กับค่า  $\phi$  และเส้นตามค่าสัมประสิทธิ์

สิทธิ์แห่งความแปรผันของมุมเสียดทานภายใน ( $COV_\phi = 5\%, 10\%, 15\%, 20\%$ )

### 3.5 การตรวจสอบความถูกต้องของ Design Charts

การตรวจสอบ Design charts มีวัตถุประสงค์เพื่อที่จะตรวจสอบว่า Design charts สำหรับการออกแบบกำแพงกันดินโดยความน่าจะเป็นที่พัฒนาขึ้นสามารถนำไปใช้วิเคราะห์เสถียรภาพของกำแพงกันดินและนำไปออกแบบกำแพงกันดินได้อย่างถูกต้องหรือไม่ ซึ่งการตรวจสอบความถูกต้องนี้ทำได้โดยการเปรียบเทียบผลการวิเคราะห์เสถียรภาพของกำแพงกันดินโดยใช้ Design charts กับผลการวิเคราะห์เสถียรภาพของกำแพงกันดินด้วย Conventional method โดยจะแบ่งผลการตรวจสอบออกเป็น 2 ชุดการเปรียบเทียบตามวิธีการหาค่าเสถียรภาพของกำแพงกันดิน (FS หรือ SM) ซึ่งแต่ละชุดการเปรียบเทียบมีขั้นตอนการตรวจสอบดังนี้

3.5.1 การตรวจสอบ Design Charts ที่พัฒนาจากการหาค่าเสถียรภาพของกำแพงกันดินในรูปแบบของค่าอัตราส่วนความปลอดภัย (FS)

1. กำหนดคุณสมบัติของกำแพงกันดินที่ต้องการจะออกแบบ

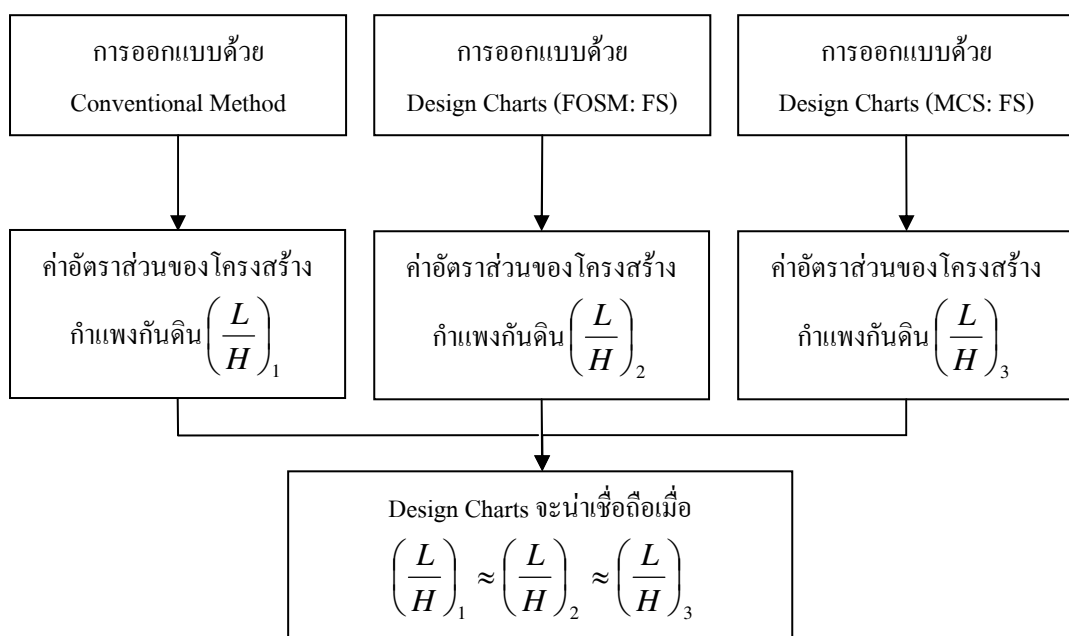
2. ออกแบบกำแพงกันดินด้วย Conventional method จะได้ผลลัพธ์ออกมาเป็นค่าอัตราส่วนของโครงสร้างกำแพงกันดิน  $\left(\frac{L}{H}\right)_1$

3. ออกแบบกำแพงกันดินด้วย Design charts ที่พัฒนามาจากการใช้ FOSM โดยการหาค่าอัตราส่วนความปลอดภัย (FS) ในการวิเคราะห์โดยใช้ค่าสัมประสิทธิ์แห่งความแปรผันของค่า

มุมเสียดทานภายใน ( $\text{COV}_\phi$ ) และค่าความน่าจะเป็นในการพิบัติ ( $P_f$ ) ที่ต้องการเพื่อหาค่าอัตราส่วนของโครงสร้างกำแพงกันดิน  $\left(\frac{L}{H}\right)_2$

4. ออกแบบกำแพงกันดินด้วย Design charts ที่พัฒนาจากการใช้ MCS โดยการหาค่าอัตราส่วนความปลอดภัย (FS) ในการวิเคราะห์โดยใช้ค่าสัมประสิทธิ์แห่งความแปรผันของค่ามุมเสียดทานภายใน ( $\text{COV}_\phi$ ) และค่าความน่าจะเป็นในการพิบัติ ( $P_f$ ) ที่ต้องการเพื่อหาค่าอัตราส่วนของโครงสร้างกำแพงกันดิน  $\left(\frac{L}{H}\right)_3$

5. นำค่า  $\left(\frac{L}{H}\right)_1, \left(\frac{L}{H}\right)_2, \left(\frac{L}{H}\right)_3$  มาพิจารณาว่ามีค่าเท่ากันหรือมีค่าใกล้เคียงกัน หรือไม่ ถ้ามีค่าเท่ากันหรือใกล้เคียงกันแสดงว่า Design charts ที่พัฒนาขึ้นมานั้นมีความน่าเชื่อถือ



รูปที่ 3.8 Flow charts ขั้นตอนการตรวจสอบความถูกต้องของ Design charts  
ที่ได้จากการหาค่าเสถียรภาพแบบ FS

3.5.1 การตรวจสอบ Design Charts ที่พัฒนาจากการหาค่าเสถียรภาพของกำแพงกันดินในรูปแบบของค่าผลต่างความปลอดภัย (SM)

1. กำหนดคุณสมบัติของกำแพงกันดินที่ต้องการจะออกแบบ

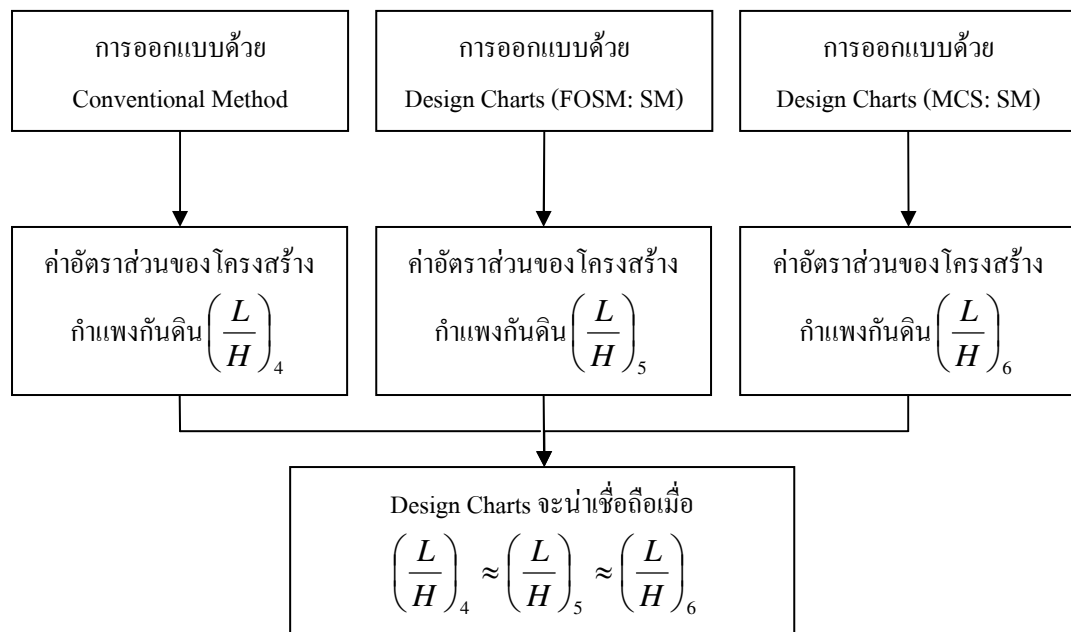
2. ออกแบบกำแพงกันดินด้วย Conventional method จะได้ผลลัพธ์ออกแบบมาเป็นค่าอัตราส่วนของโครงสร้างกำแพงกันดิน  $\left(\frac{L}{H}\right)_4$

3. ออกแบบกำแพงกันดินด้วย Design charts ที่พัฒนามาจากการใช้ FOSM โดยการหาค่าผลต่างความปลอดภัย (SM) ในการวิเคราะห์โดยใช้ค่าสัมประสิทธิ์แห่งความแปรผันของค่ามุ่งเสียดทานภายใน ( $COV_\phi$ ) และค่าความน่าจะเป็นในการพิบัติ ( $P_r$ ) ที่ต้องการเพื่อหาค่าอัตราส่วนของโครงสร้างกำแพงกันดิน  $\left(\frac{L}{H}\right)_5$

4. ออกแบบกำแพงกันดินด้วย Design charts ที่พัฒนามาจากการใช้ MCS โดยการหาค่าผลต่างความปลอดภัย (SM) ในการวิเคราะห์โดยใช้ค่าสัมประสิทธิ์แห่งความแปรผันของค่ามุ่งเสียดทานภายใน ( $COV_\phi$ ) และค่าความน่าจะเป็นในการพิบัติ ( $P_r$ ) ที่ต้องการเพื่อหาค่าอัตราส่วนของโครงสร้างกำแพงกันดิน  $\left(\frac{L}{H}\right)_6$

5. นำค่า  $\left(\frac{L}{H}\right)_4, \left(\frac{L}{H}\right)_5, \left(\frac{L}{H}\right)_6$  มาพิจารณาว่ามีค่าเท่ากันหรือมีค่าใกล้เคียงกัน

หรือไม่ ถ้ามีค่าเท่ากันหรือใกล้เคียงกันแสดงว่า Design charts ที่พัฒนาขึ้นมาดังนี้มีความน่าเชื่อถือ



รูปที่ 3.9 Flow charts ขั้นตอนการตรวจสอบความถูกต้องของ Design charts  
ที่ได้จากการหาค่าสถิติกราฟแบบ SM

## บทที่ 4

### ผลการวิจัยและการวิจารณ์

ผลการดำเนินการวิจัยในการศึกษานี้มีข้อมูลปริมาณมากเพื่อให้ง่ายต่อการทำความเข้าใจ จึงแบ่งผลที่ได้จากการศึกษาออกเป็น 2 ส่วนดังนี้ 1) ผลการคำนวณค่าความน่าจะเป็นในการพิบัติของกำแพงกันดิน ( $P_f$ ) ที่คำนวณได้จากการณ์ตัวอย่างซึ่งแบ่งย่อยได้เป็น 2 ส่วนคือ 1) ผลการคำนวณค่าความน่าจะเป็นในการพิบัติที่คำนวณโดยใช้วิธี FOSM และผลการคำนวณค่าความน่าจะเป็นในการพิบัติที่คำนวณโดยใช้วิธี MCS 2) การพัฒนา Design charts ที่ได้จากการรวบรวมผลการคำนวณความน่าจะเป็นในการพิบัติจากการคำนวณด้วยวิธี FOSM โดยใช้ค่า FS, วิธี FOSM โดยใช้ค่า SM, วิธี MCS โดยใช้ค่า FS และวิธี MCS โดยใช้ค่า SM ซึ่งมีรายละเอียดดังนี้

#### 4.1 ผลการคำนวณค่าความน่าจะเป็นในการพิบัติของกำแพงกันดินโดยความน่าจะเป็น

ผลการคำนวณความน่าจะเป็นในการพิบัติ ( $P_f$ ) ของกำแพงกันดินจากความไม่แน่นอนของค่าคุณสมบัติของดินสำหรับการศึกษานี้แบ่งออกเป็น 4 ส่วนคือ 1) ผลการคำนวณค่า  $P_f$  จากการคำนวณด้วยวิธี FOSM โดยใช้ค่า FS 2) ผลการคำนวณค่า  $P_f$  จากการคำนวณด้วยวิธี FOSM โดยใช้ค่า SM 3) ผลการคำนวณค่า  $P_f$  จากการคำนวณด้วยวิธี MCS โดยใช้ค่า FS และ 4) ผลการคำนวณค่า  $P_f$  จากการคำนวณด้วยวิธี MCS โดยใช้ค่า SM เนื่องจากผลการคำนวณค่า  $P_f$  มีจำนวนมากเพื่อให้สะดวกต่อการแสดงผลการคำนวณและง่ายต่อการทำความเข้าใจ จึงนำเสนอค่า  $P_f$  ที่คำนวณได้จากการณ์ตัวอย่างที่ทำการกำหนดค่าตัวแปรสำหรับทำการคำนวณดังนี้  $\frac{L}{H} = 0.27$ ,  $\mu_\phi = 35^0$ ,  $COV_\phi = 10\%$  และ  $\gamma = 18 \text{ kN/m}^3$  โดยผลการคำนวณค่าความน่าจะเป็นในการพิบัติที่คำนวณได้จากการวิธีการทั้ง 4 ข้อต้น ได้แสดงไว้ในตารางที่ 4.1

และเพื่อย่างต่อการทำความเข้าใจถึงข้อคิดเห็นและผลของการคำนวณด้วยวิธี MCS ซึ่งเป็นวิธีที่ ผลจากการคำนวณจะแสดงถึงลักษณะการกระจายตัวของค่าเสถียรภาพของกำแพงกันดินที่ได้จากการคำนวณซ้ำหลายครั้ง ผู้ศึกษาจึงได้นำค่าเสถียรภาพของกำแพงกันดินที่คำนวณได้จากการคำนวณทุกชุดการคำนวณ ซึ่งมีจำนวนชุดละ 10,000 ค่าไปทำการ

ทดสอบลักษณะการกระจายตัวของข้อมูลด้วยวิธี Kolmogorov - Smirnov Test โดยใช้โปรแกรม Minitab พบว่าค่า  $FS_s$ ,  $FS_o$  มีลักษณะการกระจายตัวของข้อมูลแบบ Log – Normal แต่ค่า  $FS_b$ ,  $SM_s$ ,  $SM_o$ , และ  $SM_b$  มีลักษณะการกระจายตัวของข้อมูลแบบ Normal โดยมีรายละเอียดดังนี้

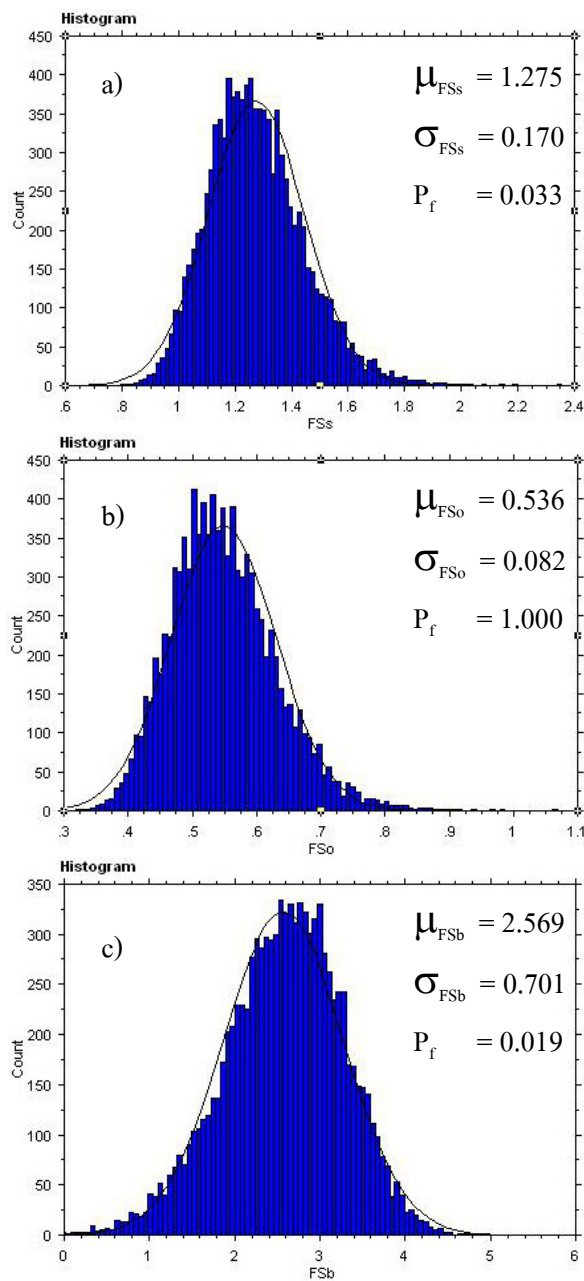
ตารางที่ 4.1 ผลการคำนวณค่าความน่าจะเป็นในการพิบัติ ( $P_f$ ) ของกำแพงดิน

ลักษณะการพิบัติ	ผลการ คำนวณ	FOSM		MCS	
		FS	SM	FS	SM
Sliding mode	$\mu$	1.261	0.640 (kN/m)	1.275	0.610 (kN/m)
	$\sigma$	0.188	0.360 (kN/m)	0.170	0.360 (kN/m)
	$P_f$	0.083	0.040	0.033	0.055
Overturning mode	$\mu$	0.542	-0.100 (kN.m/m)	0.536	-0.104 (kN.m/m)
	$\sigma$	0.099	0.120 (kN.m/m)	0.082	0.120 (kN.m/m)
	$P_f$	1.000	0.788	1.000	0.806
Bearing capacity mode	$\mu$	2.612	33.200 (kN/m <sup>2</sup> )	2.569	32.324 (kN/m <sup>2</sup> )
	$\sigma$	0.708	14.580 (kN/m <sup>2</sup> )	0.701	14.436 (kN/m <sup>2</sup> )
	$P_f$	0.011	0.011	0.019	0.019

$$*\gamma = 18 \text{ kN/m}^3, \mu_\phi = 35^\circ, \text{COV}_\phi = 10\%, \frac{L}{H} = 0.27$$

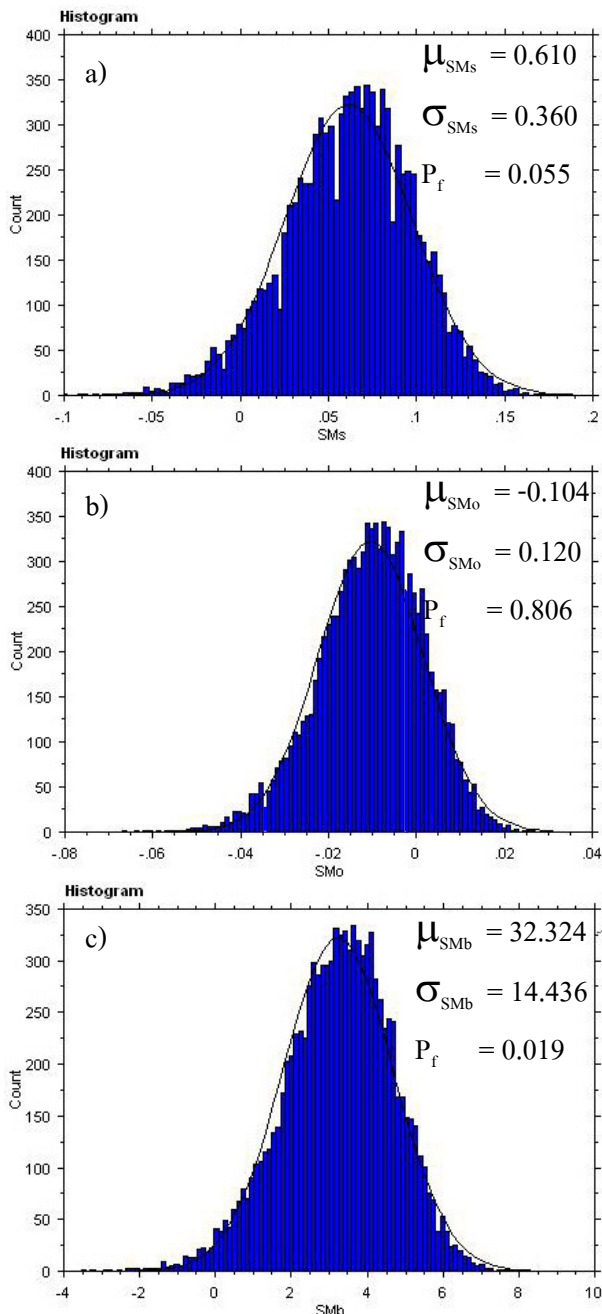
การคำนวณหาค่า  $P_f$  จากการคำนวณด้วยวิธี MCS ซึ่งเป็นวิธีการคำนวณเพื่อหาความแปรปรวนของผลการคำนวณด้วยการทำการทำคำนวณซ้ำหลายครั้งตามความแปรปรวนของตัวแปรตั้งต้นซึ่งมีความจำเป็นที่จะต้องทำการทดสอบเพื่อหาจำนวนครั้งในการคำนวณซ้ำที่เหมาะสมโดยที่ไม่ต้องทำการคำนวณซ้ำมากครั้งจนเกินไปและให้ค่า  $P_f$  ที่ถูกต้อง

ผลการทดสอบตามรูปที่ 4.3 และ 4.4 แสดงให้เห็นว่าสำหรับทุกลักษณะการพิบัติรวมทั้งวิธีการทุกวิธีการหาเสถียรภาพของกำแพงกันดินทั้งการใช้ค่า FS และ SM จำนวนครั้งในการคำนวณซ้ำ (Number of iteration) สำหรับการคำนวณด้วยวิธี MCS ต้องมีค่าไม่น้อยกว่า 10,000 ครั้ง จึงจะให้ค่า  $P_f$  ที่น่าเชื่อถือ ซึ่งสอดคล้องกับ Chalermyanont and Benson (2004)



รูปที่ 4.1 ลักษณะการกระจายตัวของค่าเสถียรภาพของกำแพงกันดินการคำนวณด้วยวิธี MCS โดยใช้ค่า FS: เมื่อ  $\frac{L}{H} = 0.27$ ,  $\mu_\phi = 35^\circ$ ,  $COV_\phi = 10\%$  และ  $\gamma = 18 \text{ kN/m}^3$

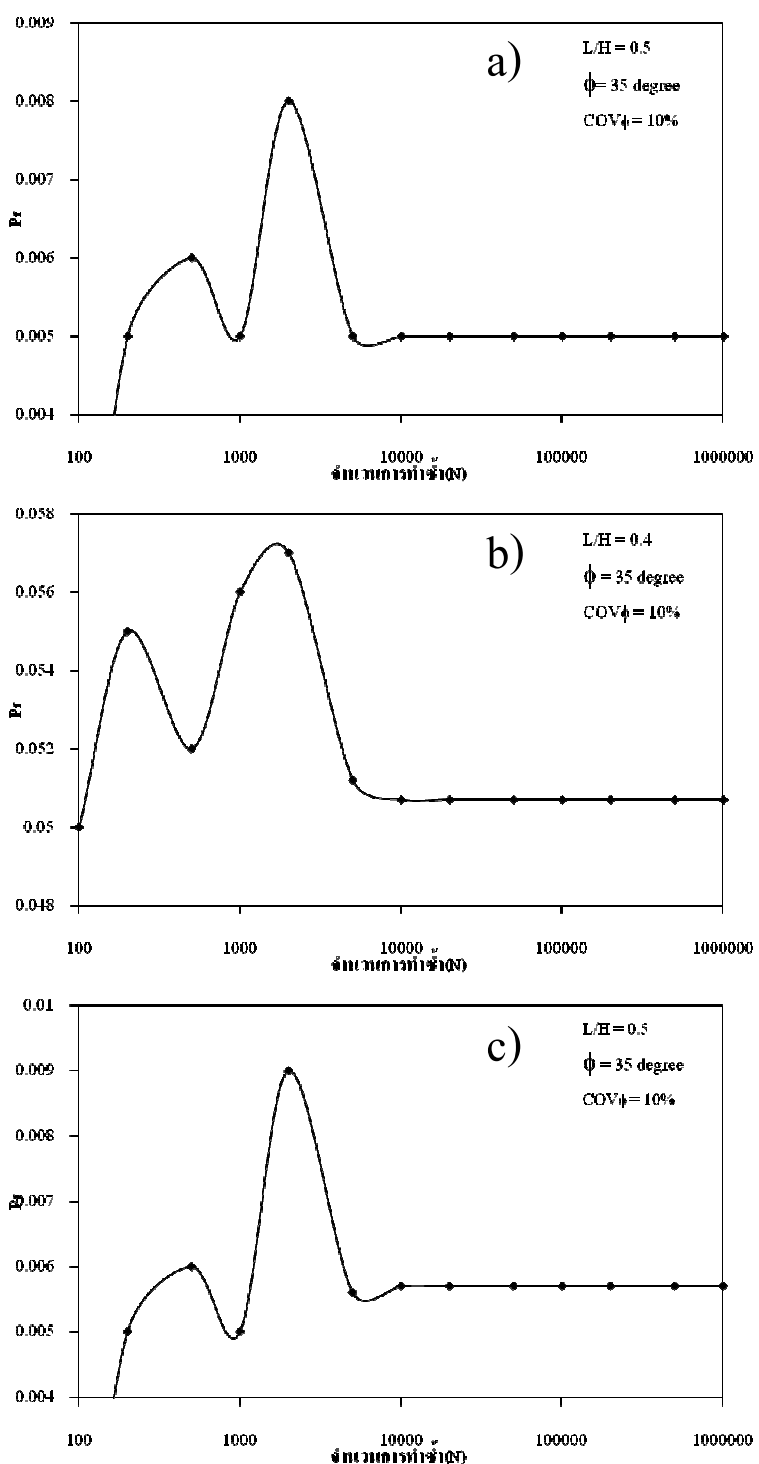
a) Sliding mode, b) Overturning mode, c) Bearing capacity mode



รูปที่ 4.2 ลักษณะการกระจายตัวของค่าเสถียรภาพของกำแพงกันดินการคำนวณด้วยวิธี MCS โดยใช้ค่า SM: เมื่อ  $\frac{L}{H} = 0.27$ ,  $\mu_\phi = 35^\circ$ ,  $COV_\phi = 10\%$  และ  $\gamma = 18 \text{ kN/m}^3$

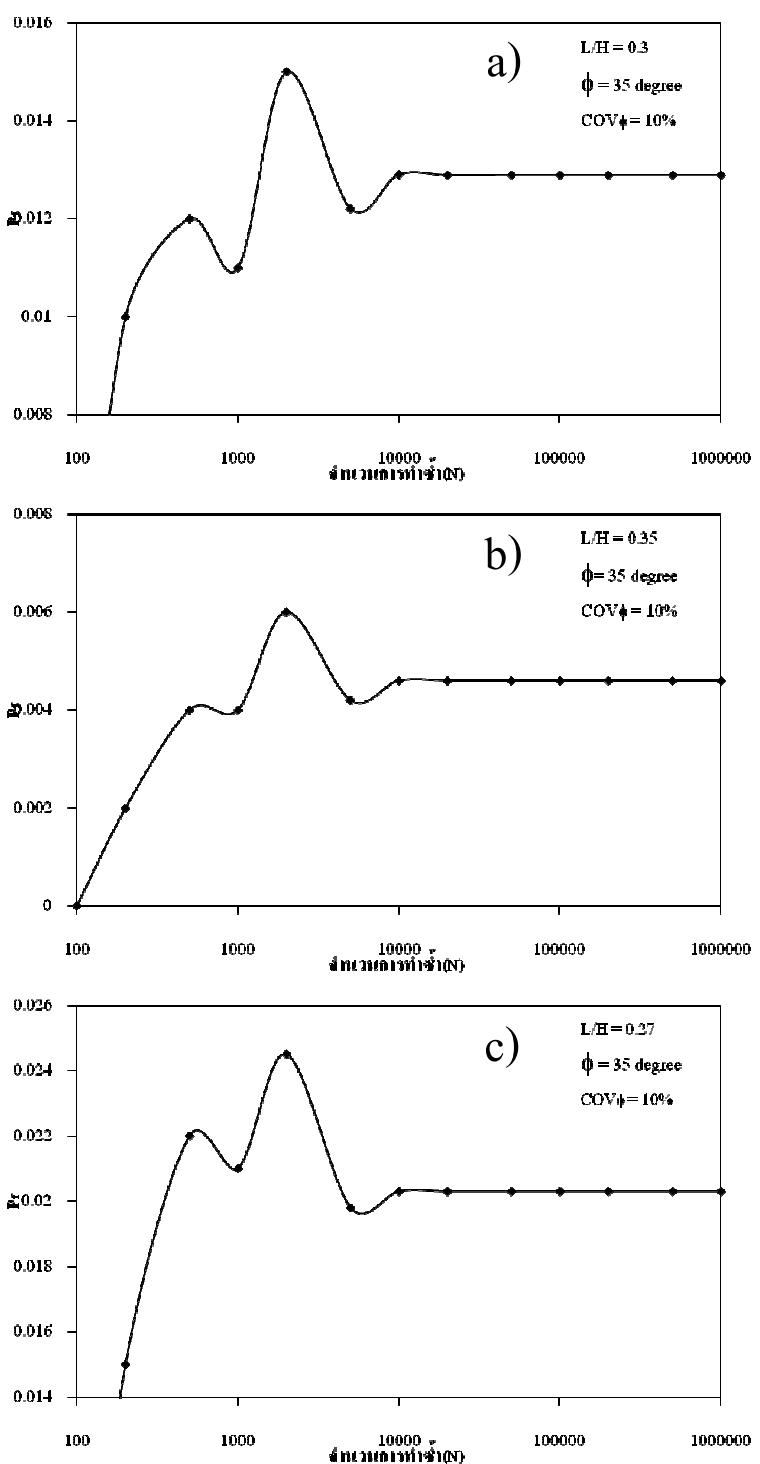
ใช้ค่า SM: เมื่อ  $\frac{L}{H} = 0.27$ ,  $\mu_\phi = 35^\circ$ ,  $COV_\phi = 10\%$  และ  $\gamma = 18 \text{ kN/m}^3$

a) Sliding mode, b) Overturning mode, c) Bearing capacity mode



รูปที่ 4.3 ความสัมพันธ์ระหว่างจำนวนครั้งที่ทำการคำนวณ ( $N$ ) กับค่า  $P_f$  สำหรับการคำนวณด้วยวิธี MCS โดยใช้ค่า FS

a) Sliding mode, b) Overturning mode, c) Bearing capacity mode

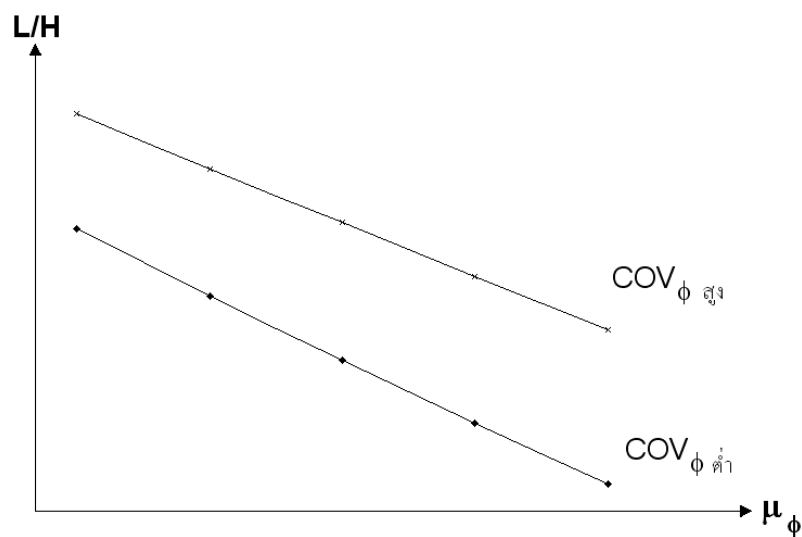


รูปที่ 4.4 ความสัมพันธ์ระหว่างจำนวนครั้งที่ทำการคำนวณ ( $N$ ) กับค่า  $P_f$  สำหรับการคำนวณด้วยวิธี MCS โดยใช้ค่า SM

a) Sliding mode, b) Overturning mode, c) Bearing capacity mode

## 4.2 การพัฒนา Design Charts

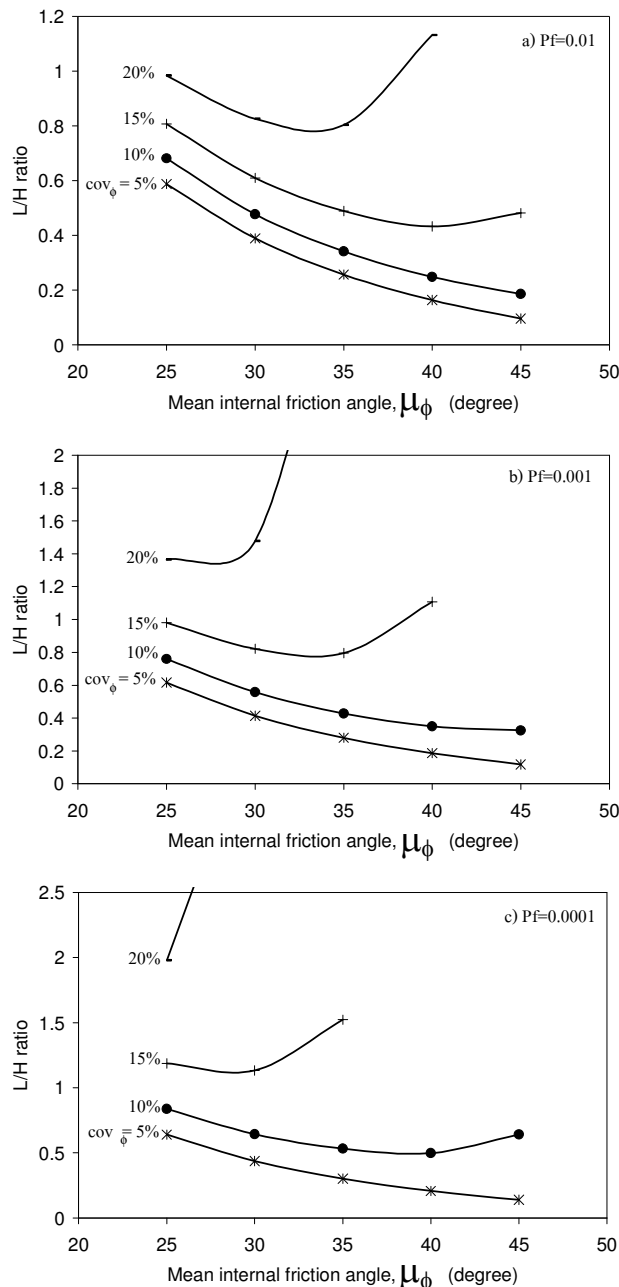
Design charts สำหรับใช้เพื่อการออกแบบกำแพงกันดิน โดยความน่าจะเป็นที่พัฒนาขึ้นจากการศึกษาในครั้งนี้ ถูกออกแบบให้เป็นกราฟความสัมพันธ์ระหว่างค่าขนาดของโครงสร้างของกำแพงกันดิน ( $\frac{L}{H}$ ) กับค่าเฉลี่ยของมุมเสียดทานภายในของดินคอม ( $\mu_\phi$ ) ที่สอดคล้องกับค่าสัมประสิทธิ์แห่งความแปรผันของค่ามุมเสียดทานภายในของดินคอม ( $COV_\phi$ ) ที่กำหนด โดยการศึกษาระดับนี้สามารถนำข้อมูลที่ได้จากการคำนวณมาพัฒนาเป็น Design charts ทั้งหมด 4 ชุดแบ่งตามวิธีการคำนวณดังนี้ 1) Design charts ที่ได้จากการคำนวณด้วยวิธี FOSM โดยใช้ค่า FS 2) Design charts ที่ได้จากการคำนวณด้วยวิธี FOSM โดยใช้ค่า SM 3) Design charts ที่ได้จากการคำนวณด้วยวิธี MCS โดยใช้ค่า FS และ 4) Design charts ที่ได้จากการคำนวณด้วยวิธี MCS โดยใช้ค่า SM โดยเมื่อนำข้อมูลและ Design charts ทั้งหมดที่พัฒนาขึ้น มาเปรียบเทียบกันพบว่า ข้อมูลและลักษณะของเส้นกราฟที่ได้มีความสอดคล้องกันกล่าวคือ ค่า  $\frac{L}{H}$  ที่ต้องการจะมีค่าลดลงเมื่อค่า  $\mu_\phi$  มีค่าสูงขึ้น (ดินมีความแข็งแรงเพิ่มขึ้น) และ ค่า  $\frac{L}{H}$  ที่ต้องการจะมีค่าลดลงเมื่อค่า  $COV_\phi$  มีค่าลดลง (ดินมีความแปรปรวนน้อยลง) ดังแสดงในรูปที่ 4.5



รูปที่ 4.5 กราฟแสดงความสัมพันธ์ระหว่างค่า  $\frac{L}{H}$  กับค่า  $\mu_\phi$  และความสัมพันธ์ระหว่างค่า  $\frac{L}{H}$  กับค่า  $COV_\phi$

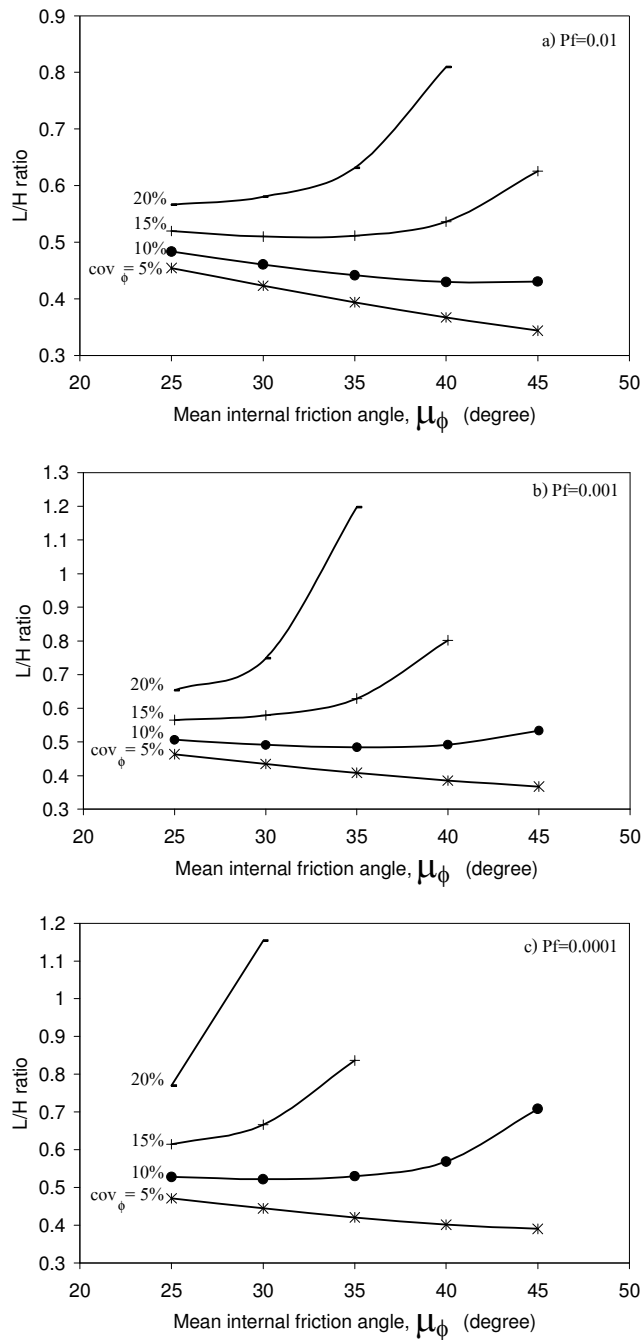
#### 4.2.1 Design Charts สำหรับออกแบบกำแพงกันดินจากการคำนวณด้วยวิธี FOSM โดยใช้ค่า FS

Design charts สำหรับ Sliding mode, Overturning mode และ Bearing capacity mode ที่พัฒนาจากการคำนวณด้วยวิธี FOSM โดยใช้ค่า FS สำหรับค่า  $P_f$  ต่างๆ ได้แสดงไว้ในรูปที่ 4.6 – 4.8 ตามลำดับ



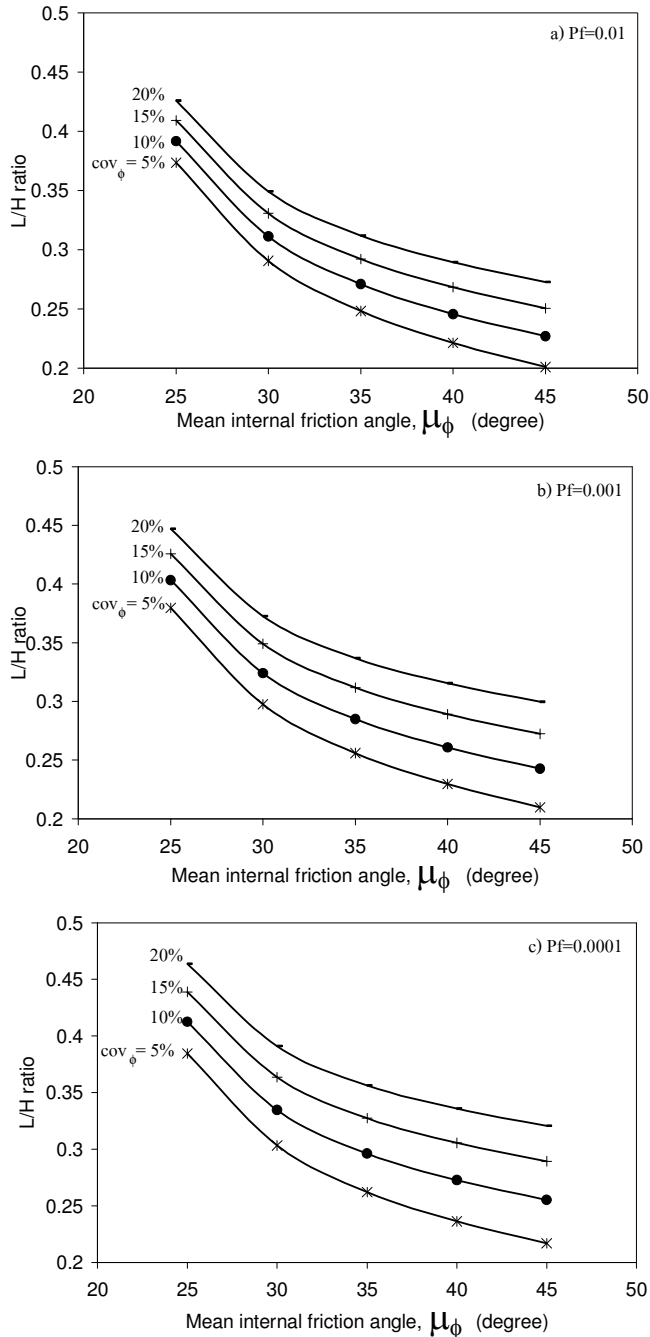
รูปที่ 4.6 Design charts สำหรับ Sliding mode ที่ได้จากวิธี FOSM โดยใช้ค่า FS

a)  $P_f=0.01$ , b)  $P_f=0.001$ , c)  $P_f=0.0001$



รูปที่ 4.7 Design charts สำหรับ Overturning mode ที่ได้จากวิธี FOSM โดยใช้ค่า FS

a)  $P_f=0.01$ , b)  $P_f=0.001$ , c)  $P_f=0.0001$

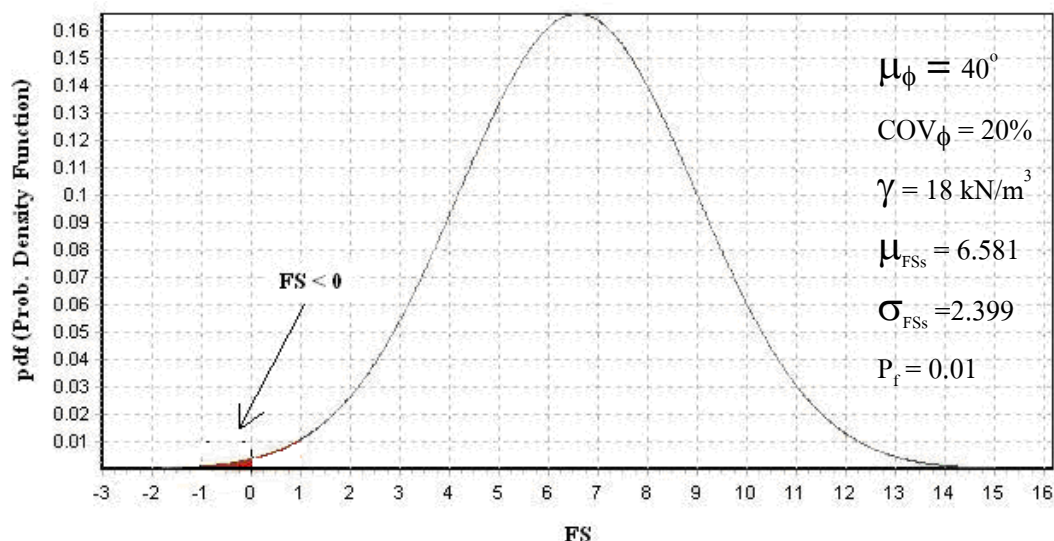


รูปที่ 4.8 Design charts สำหรับ Bearing capacity mode ที่ได้จากการวิธี FOSM โดยใช้ค่า FS

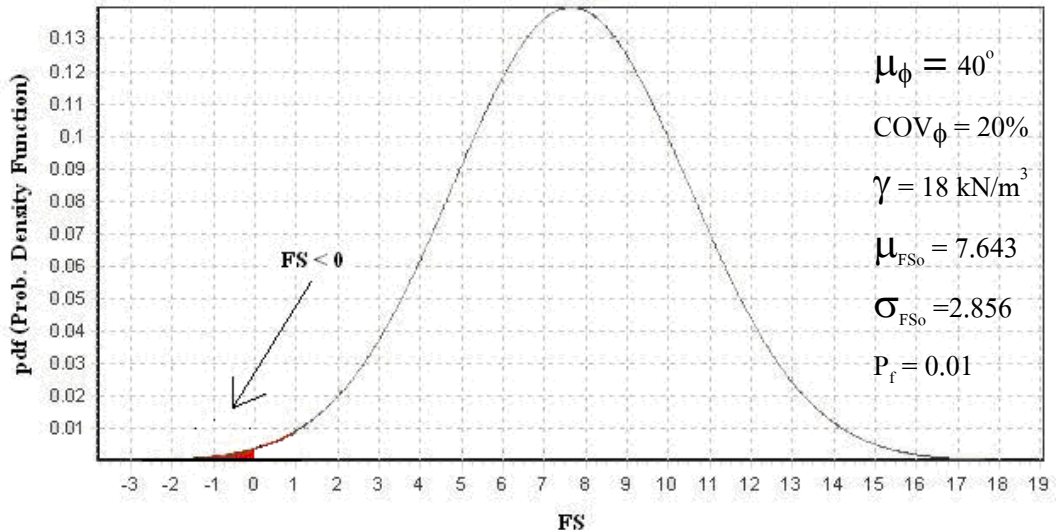
a)  $P_f = 0.01$ , b)  $P_f = 0.001$ , c)  $P_f = 0.0001$

จากผลการศึกษา (รูปที่ 4.6 – 4.8) พบว่าค่า  $\frac{L}{H}$  ในส่วนที่มีค่า  $\text{COV}_\phi$  สูงไม่ได้มีค่าลดลงตามค่า  $\mu_\phi$  ที่เพิ่มขึ้นทั้งนี้ การคำนวณค่าน่าจะเป็นในการพิบัติ ( $P_f$ ) ของกำแพงกันดินจากการคำนวณด้วยวิธี FOSM ด้วยวิธีการหาค่า FS อาจจะไม่เหมาะสมเนื่องจากค่า  $\frac{L}{H}$  ที่ได้จากการคำนวณมีค่าผิดไปจากค่าที่ควรจะเป็น เนื่องจากเมื่อดินมีความแข็งแรงมากขึ้น (ค่า  $\mu_\phi$  เพิ่มขึ้น) ก็จะทำให้ค่า Resisting force มีค่าสูงขึ้นส่งผลให้ขนาดของโครงสร้างกำแพงกันดินที่ต้องการมีขนาดเล็กลง แต่กลับพบว่าผลจากการคำนวณบางส่วนเมื่อใช้ค่า  $\mu_\phi$  เพิ่มขึ้นในการคำนวณจะให้ค่า  $\frac{L}{H}$  สูงขึ้นตามไปด้วย และไม่สามารถคำนวณหาค่า  $\frac{L}{H}$  ได้ครบถ้วนตามค่า  $\mu_\phi$ ,  $\text{COV}_\phi$  และค่า  $P_{ft}$  ที่ต้องการได้โดยเฉพาะใน Sliding mode และ Overturning mode แต่ไม่พับปัญหานี้ในการคำนวณในส่วนของ Bearing capacity mode ซึ่งน่าจะเป็นผลมาจากการที่สมการคำนวณค่า  $FS_b$  (สมการที่ 2.10) มีพจน์ของ Exponential รวมอยู่ในการคำนวณด้วยดังรูปที่ 4.6, 4.7 และ 4.8

เมื่อนำข้อมูลบางส่วนที่ได้จากการคำนวณใน Sliding mode และ Overturning mode มาทดสอบลักษณะการกระจายตัวของค่า FS พบว่าผลที่ได้จากการศึกษาไม่น่าเชื่อถือเนื่องจากเป็นไปได้ว่ามีค่า FS บางส่วนที่อาจจะมีค่าน้อยกว่า 0 ดังแสดงจากราฟแสดงลักษณะการกระจายตัวของค่า FS ที่ค่า FS บางส่วนมีค่าน้อยกว่า 0 ดังแสดงในรูปที่ 4.9 และ 4.10 ในขณะที่ค่าการกระจายตัวของ FS ของ Bearing capacity mode ไม่มีค่าที่ต่ำกว่าศูนย์เลย (รูปที่ 4.11)

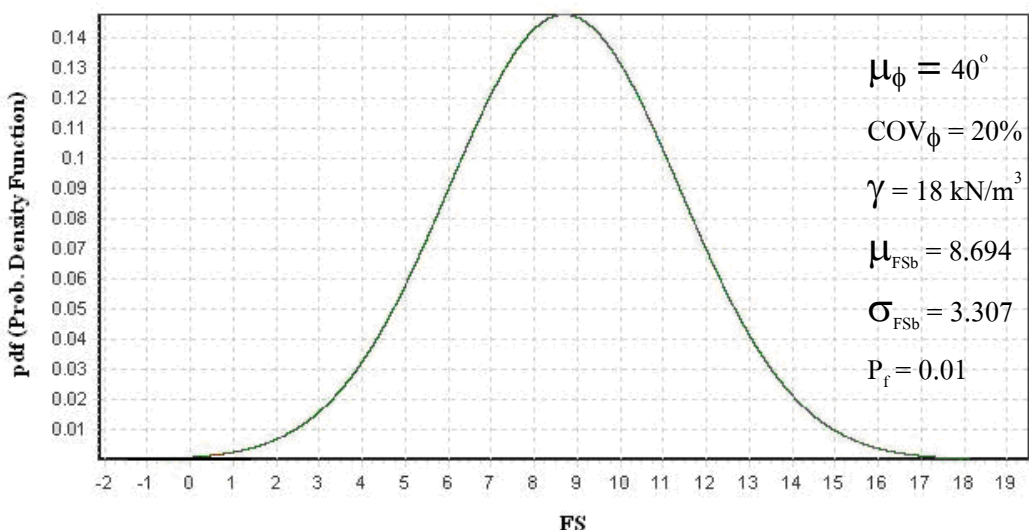


รูปที่ 4.9 ลักษณะการกระจายตัวของค่า FS ของ Sliding mode ที่ได้จากการคำนวณด้วยวิธี FOSM



รูปที่ 4.10 ลักษณะการกระจายตัวของค่า FS ของ Overturning mode

ที่ได้จากการคำนวณด้วยวิธี FOSM

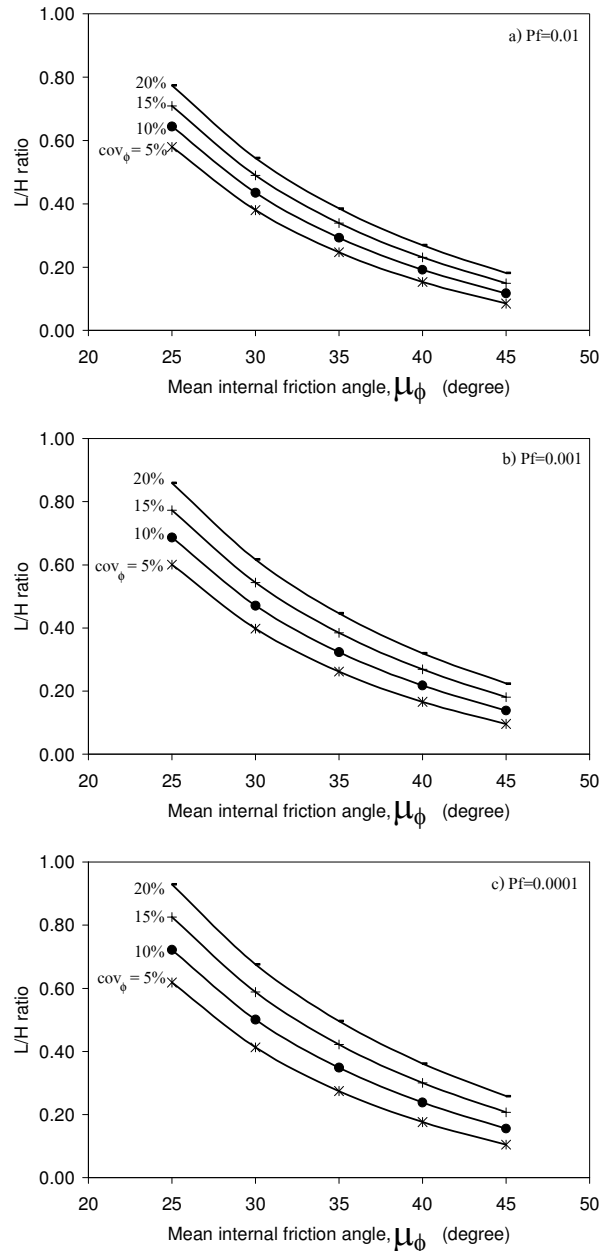


รูปที่ 4.11 ลักษณะการกระจายตัวของค่า FS ของ Bearing capacity mode

ที่ได้จากการคำนวณด้วยวิธี FOSM

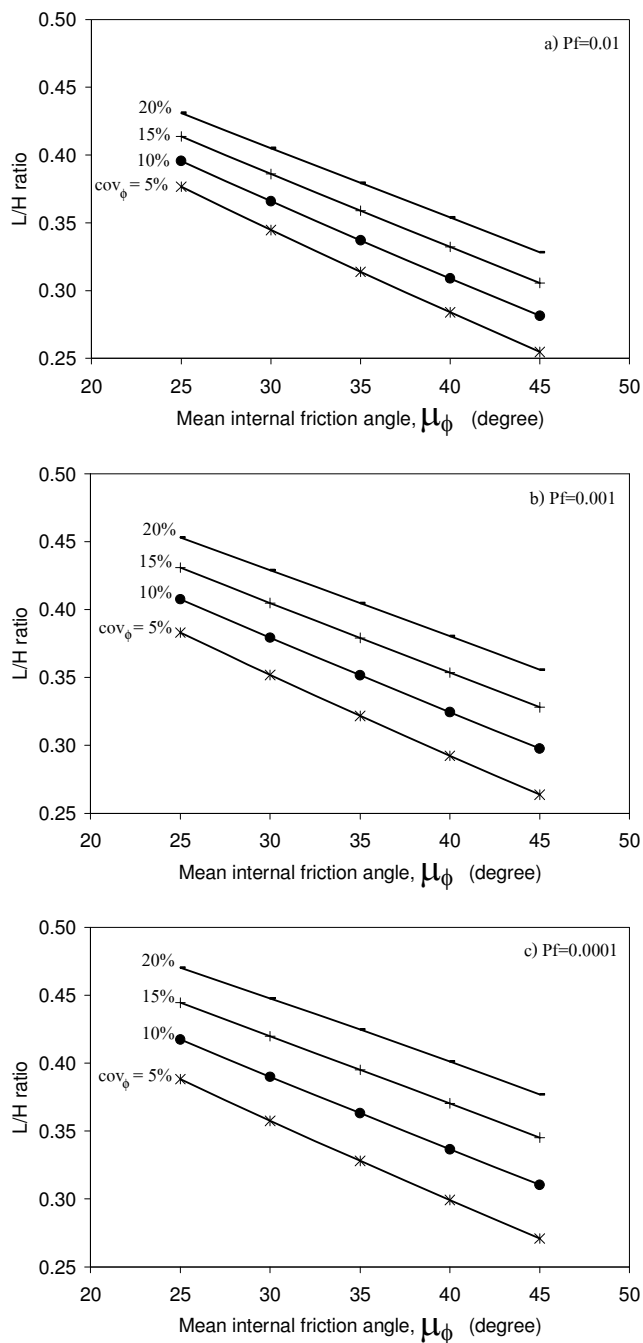
#### 4.2.2 Design Charts สำหรับออกแบบกำแพงกันดินจากการคำนวณด้วยวิธี FOSM โดยใช้ค่า SM

Design charts สำหรับ Sliding mode, Overturning mode และ Bearing capacity mode ที่พัฒนาจากการคำนวณด้วยวิธี FOSM โดยใช้ค่า SM สำหรับค่า  $P_f$  ต่างๆ ได้แสดงไว้ในรูปที่ 4.12 – 4.14 ตามลำดับ



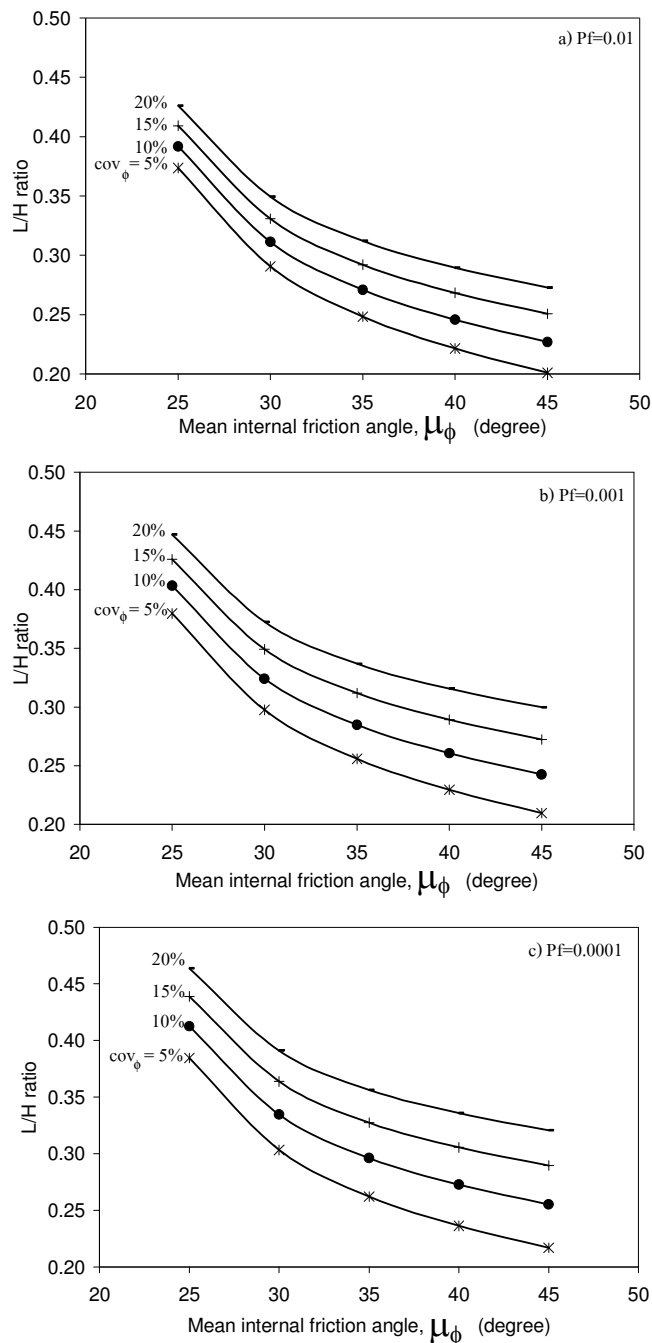
รูปที่ 4.12 Design charts สำหรับ Sliding mode ที่ได้จาก FOSM โดยใช้ค่า SM

a)  $P_f=0.01$ , b)  $P_f=0.001$ , c)  $P_f=0.0001$



รูปที่ 4.13 Design charts สำหรับ Overturning mode ได้จาก FOSM โดยใช้ค่า SM

a)  $P_f=0.01$ , b)  $P_f=0.001$ , c)  $P_f=0.0001$



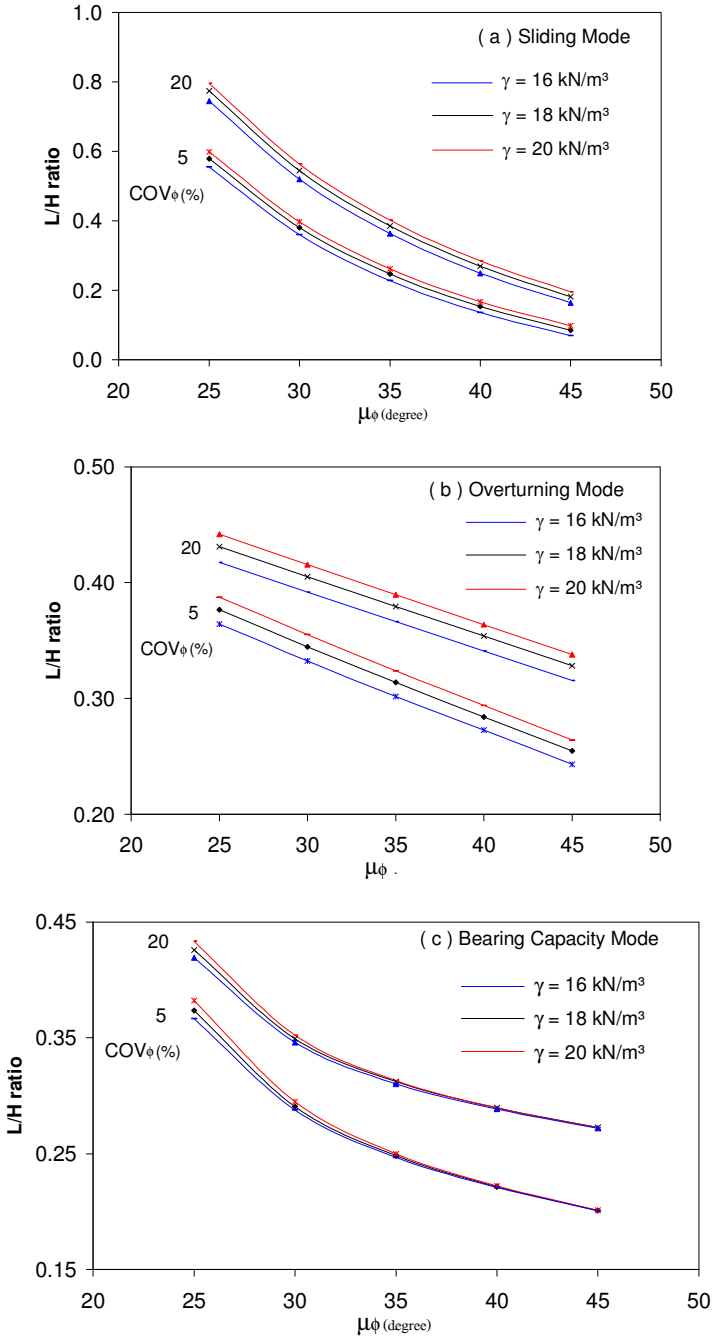
รูปที่ 4.14 Design charts สำหรับ Bearing capacity mode ได้จาก FOSM โดยใช้ค่า SM

a)  $P_f=0.01$ , b)  $P_f=0.001$ , c)  $P_f=0.0001$

ผลจากการศึกษาด้วยวิธี FOSM ด้วยวิธีการหาค่า SM พบว่าสามารถทำการคำนวณค่า  $\frac{L}{H}$  ได้ครบถ้วนค่าที่ต้องการสำหรับ Sliding, Overturning และ Bearing capacity mode ตามลำดับ โดยค่า  $\frac{L}{H}$  ที่ได้จากการศึกษามีค่าสอดคล้องกับความเป็นจริง ดังนี้

- 1) ค่า  $\frac{L}{H}$  แปรผันกับค่า  $\mu_\phi$  กล่าวคือ เมื่อค่า  $\mu_\phi$  ที่ใช้ในการคำนวณมีค่าสูงขึ้น ทำให้ดินมีความแข็งแรงเพิ่มขึ้นส่งผลให้ Resisting force มีค่ามากขึ้นและ Active force ลดลงขนาดของอัตราส่วนโครงสร้างกำแพงกันดิน  $\left(\frac{L}{H}\right)$  ที่ต้องการก็มีขนาดเล็กลง
- 2) ค่า  $\frac{L}{H}$  แปรผันตรงกับค่า  $COV_\phi$  เมื่อค่า  $\mu_\phi$  คงที่ กล่าวคือเมื่อค่า  $COV_\phi$  มีค่าสูงขึ้นค่าคุณสมบัติของดินก็มีความแปรปรวนมากขึ้นส่งผลให้โอกาสที่จะเกิดการพิบัติมากขึ้น ทำให้โครงสร้างของกำแพงกันดินที่ต้องการจึงมีขนาดใหญ่ขึ้นด้วย
- 3) ค่า  $\frac{L}{H}$  แปรผันกับค่า  $P_f$  กล่าวคือ เมื่อค่า  $P_f$  มีค่าลดลง (โอกาสที่จะเกิดการพิบัติต่ำ) ขนาดของกำแพงกันดินที่ต้องการ ก็จะต้องมีขนาดใหญ่ขึ้นด้วย

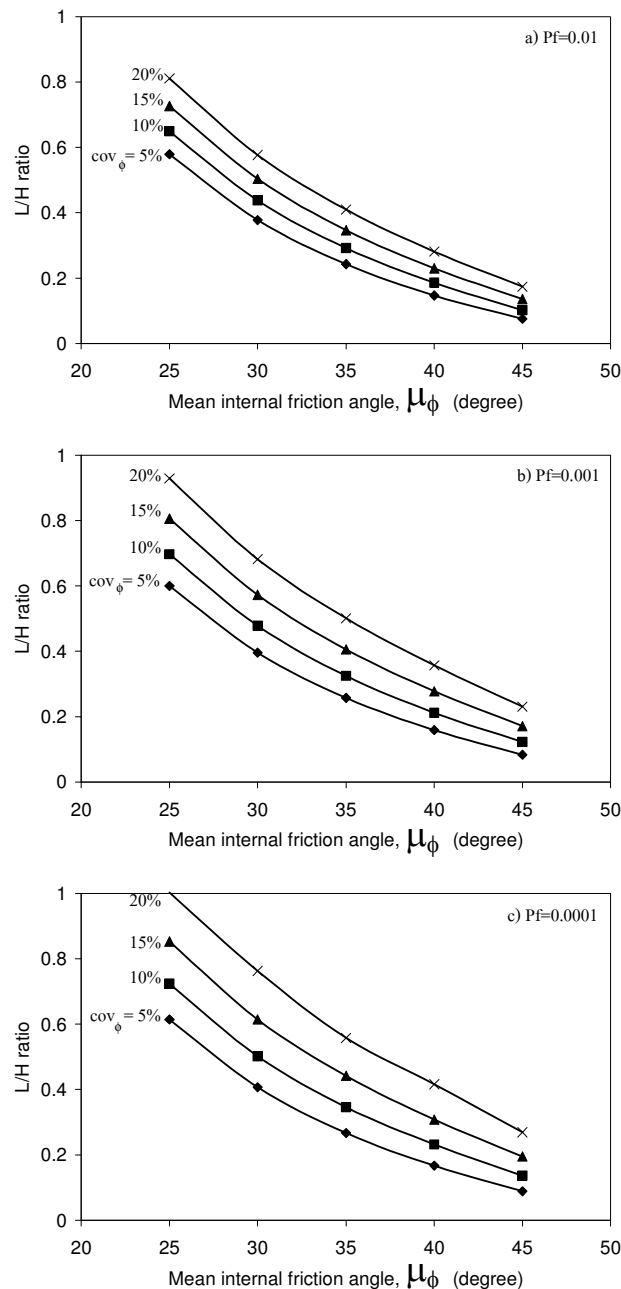
และจากราฟความสัมพันธ์พบว่าค่า  $\mu_\phi$  มีอิทธิพลมากต่อผลการคำนวณหาค่า  $\frac{L}{H}$  สำหรับ Sliding mode และ Bearing capacity mode ดังรูปที่ 4.12, 4.13 และ 4.14 ตามลำดับและพบว่าเมื่อทำการเปลี่ยนค่าหน่วยน้ำหนักของดิน ( $\gamma$ ) ที่ใช้สำหรับทำการคำนวณจาก  $\gamma = 18 \text{ kN/m}^3$  เป็น  $16 - 20 \text{ kN/m}^3$  ค่า  $\frac{L}{H}$  ที่ได้จากการคำนวณมีค่าเปลี่ยนแปลงไปในช่วง  $6.58\% - 3.71\%$  สำหรับ Sliding mode,  $3.57\% - 3.14\%$  สำหรับ Overturning mode และมีค่าไม่เกิน  $2.22\%$  สำหรับ Bearing capacity mode ซึ่งช่วงการเปลี่ยนแปลงดังกล่าวมีค่าน้อยมาก ดังนั้นในการพัฒนา Design Charts จึงกำหนดเลือกใช้เฉพาะค่าหน่วยน้ำหนักของดินที่  $18 \text{ kN/m}^3$  เพียงค่าเดียวเท่านั้นสำหรับทำการคำนวณดังแสดงไว้ในรูปที่ 4.15



รูปที่ 4.15 ผลของการเปลี่ยนแปลงค่าหน่วยน้ำหนักจากการคำนวณด้วยวิธี MCS โดยใช้ค่า SM ที่ค่า  $P_f = 0.01$  a) Sliding mode, b) Overturning mode, c) Bearing capacity mode

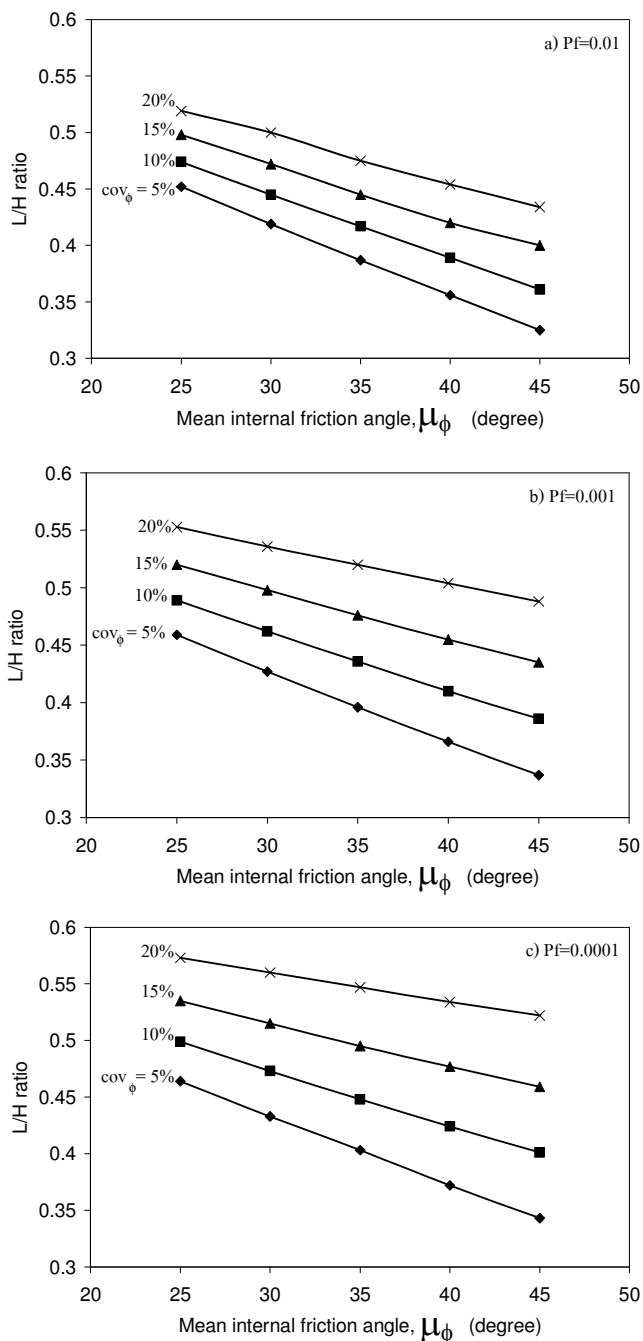
#### 4.2.3 Design Charts สำหรับออกแบบกำแพงกันดินจากการคำนวณด้วยวิธี MCS โดยใช้ค่า FS

Design charts สำหรับ Sliding mode, Overturning mode และ Bearing capacity mode ที่พัฒนาจากการคำนวณด้วยวิธี MCS โดยใช้ค่า FS สำหรับค่า  $P_f$  ต่างๆ ได้แสดงไว้ในรูปที่ 4.16 – 4.18 ตามลำดับ



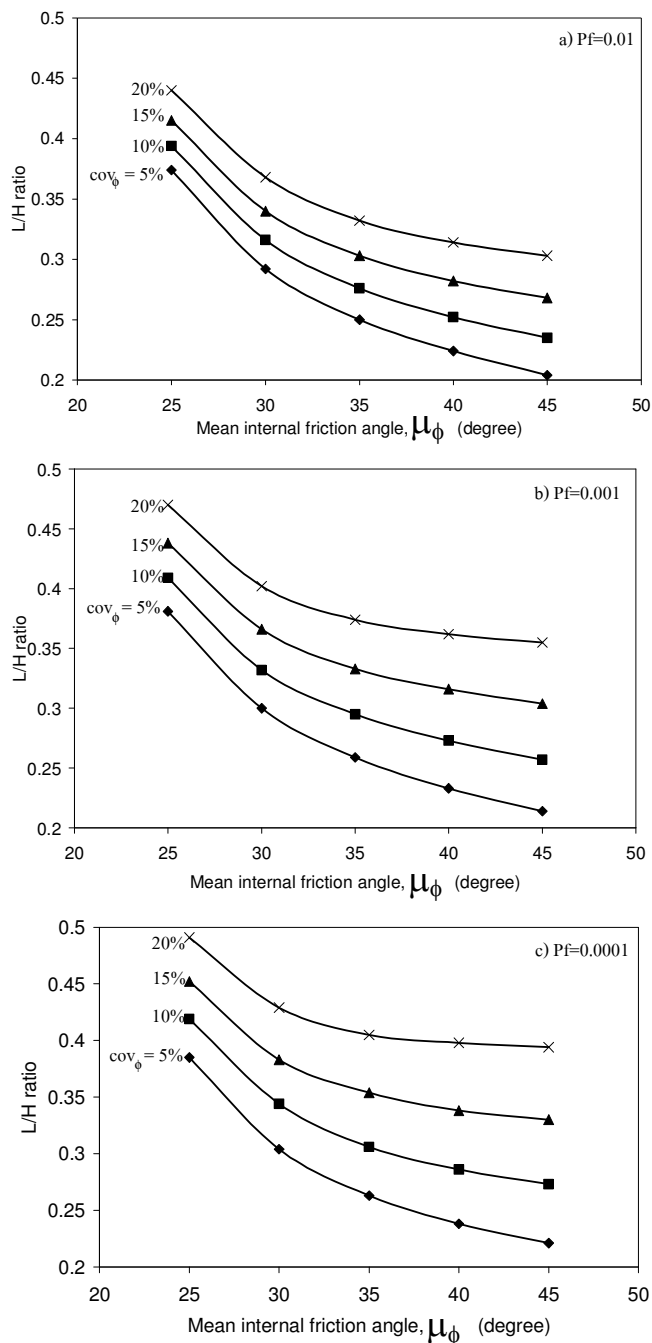
รูปที่ 4.16 Design charts สำหรับ Sliding mode ที่ได้จาก MCS โดยใช้ค่า FS

a)  $P_f=0.01$ , b)  $P_f=0.001$ , c)  $P_f=0.0001$



รูปที่ 4.17 Design charts สำหรับ Overturning mode ที่ได้จาก MCS โดยใช้ค่า FS

a)  $P_f=0.01$ , b)  $P_f=0.001$ , c)  $P_f=0.0001$



รูปที่ 4.18 Design charts สำหรับ Bearing capacity mode ที่ได้จาก MCS โดยใช้ค่า FS

a)  $P_f=0.01$ , b)  $P_f=0.001$ , c)  $P_f=0.0001$

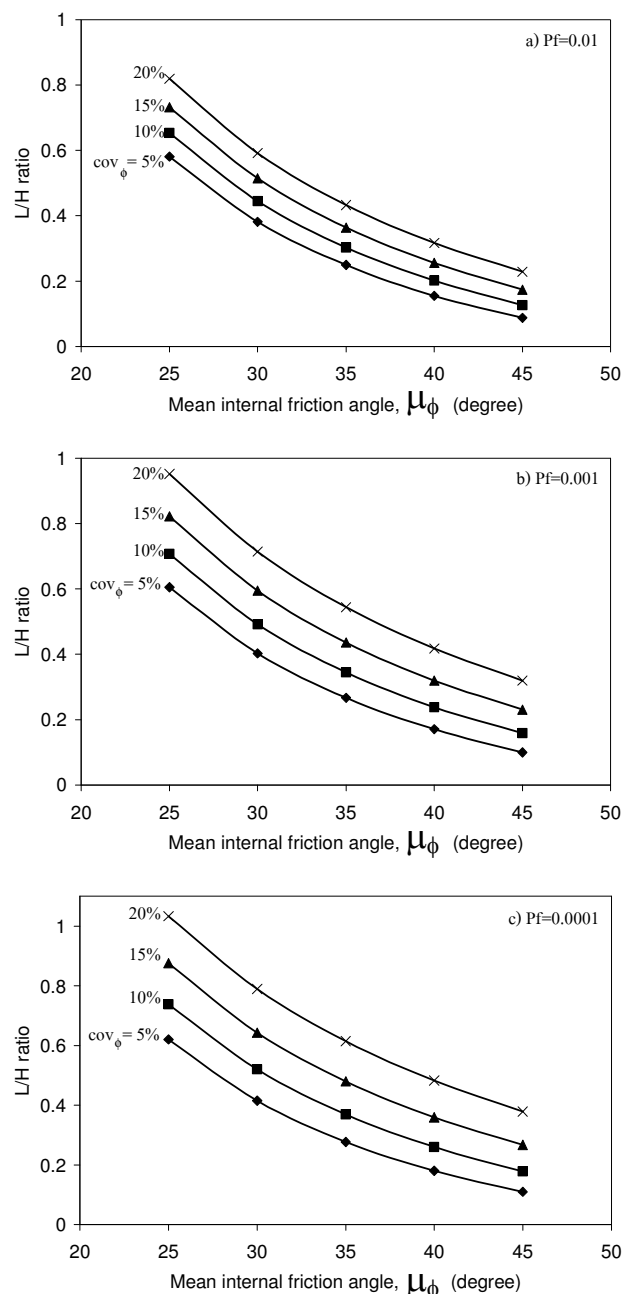
ผลจากการศึกษาด้วยวิธี MCS ด้วยวิธีการหาค่า FS พบร่วมกับความสามารถทำการคำนวณค่า  $\frac{L}{H}$  ได้ครบถ้วนค่าที่ต้องการและค่า  $\frac{L}{H}$  ที่ได้จากการศึกษามีค่าสอดคล้องกับความเป็นจริง ดังแสดงในรูปที่ 4.16 – 4.18 ตามลำดับดังนี้

- 1) ค่า  $\frac{L}{H}$  แปรผันกับค่า  $\mu_\phi$  กล่าวคือ เมื่อค่า  $\mu_\phi$  ที่ใช้ในการคำนวณมีค่าสูงขึ้น ทำให้ดินมีความแข็งแรงเพิ่มขึ้นส่งผลให้ Resisting force มีค่ามากขึ้นและ Active force ลดลงขนาดของอัตราส่วนโครงสร้างกำแพงกันดิน  $\left(\frac{L}{H}\right)$  ที่ต้องการก็มีขนาดเล็กลง
- 2) ค่า  $\frac{L}{H}$  แปรผันตรงกับค่า  $COV_\phi$  เมื่อค่า  $\mu_\phi$  คงที่ กล่าวคือเมื่อค่า  $COV_\phi$  มีค่าสูงขึ้นค่าคุณสมบัติของดินก็มีความแปรปรวนมากขึ้นส่งผลให้โอกาสที่จะเกิดการพิบัติมากขึ้น ทำให้โครงสร้างของกำแพงกันดินที่ต้องการจึงมีขนาดใหญ่ขึ้นด้วย
- 3) ค่า  $\frac{L}{H}$  แปรผันกับค่า  $P_f$  กล่าวคือ เมื่อค่า  $P_f$  มีค่าลดลง (โอกาสที่จะเกิดการพิบัติต่ำ) ขนาดของกำแพงกันดินที่ต้องการ ก็จะต้องมีขนาดใหญ่ขึ้น

และจากผลการศึกษาพบว่าค่า  $\mu_\phi$  มีอิทธิพลมากต่อผลการคำนวณหาค่า  $\frac{L}{H}$  สำหรับ Sliding mode และ Bearing capacity mode ดังรูปที่ 4.16, 4.17 และ 4.18 ตามลำดับ

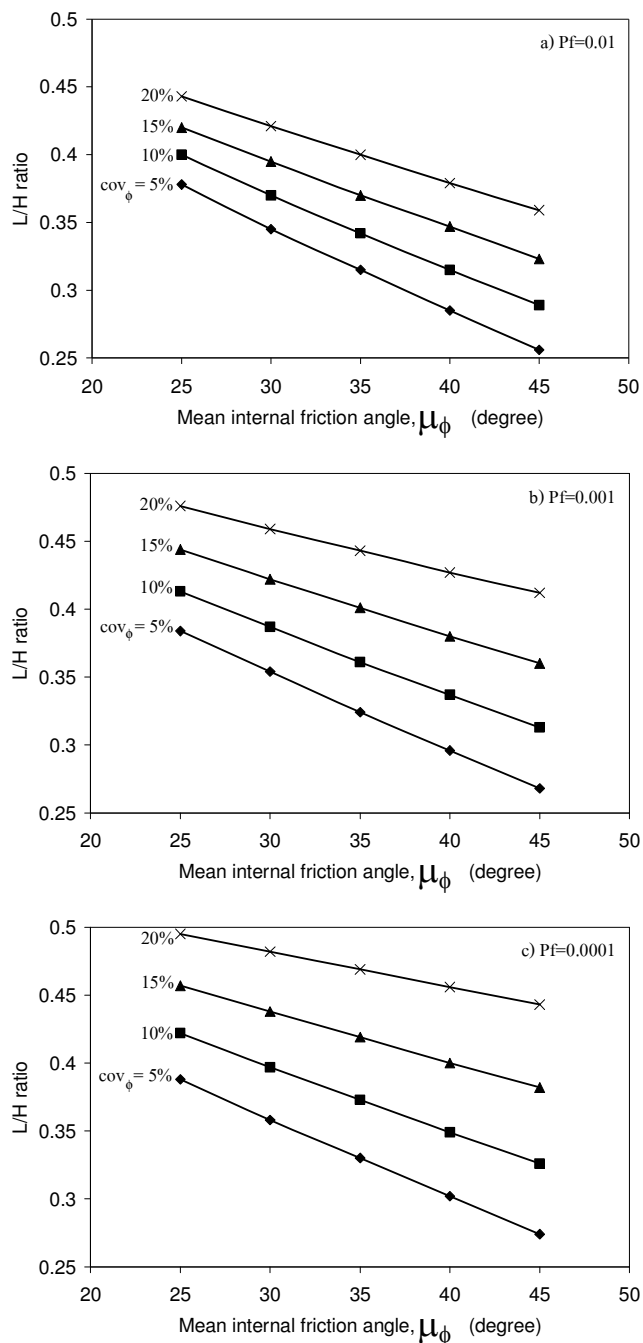
#### 4.2.4 Design Charts สำหรับออกแบบกำแพงกันดินจากการคำนวณด้วยวิธี MCS โดยใช้ค่า SM

Design charts สำหรับ Sliding mode, Overturning mode และ Bearing capacity mode ที่พัฒนาจากการคำนวณด้วยวิธี MCS โดยใช้ค่า SM สำหรับค่า  $P_f$  ต่างๆ ได้แสดงไว้ในรูปที่ 4.19 – 4.21 ตามลำดับ



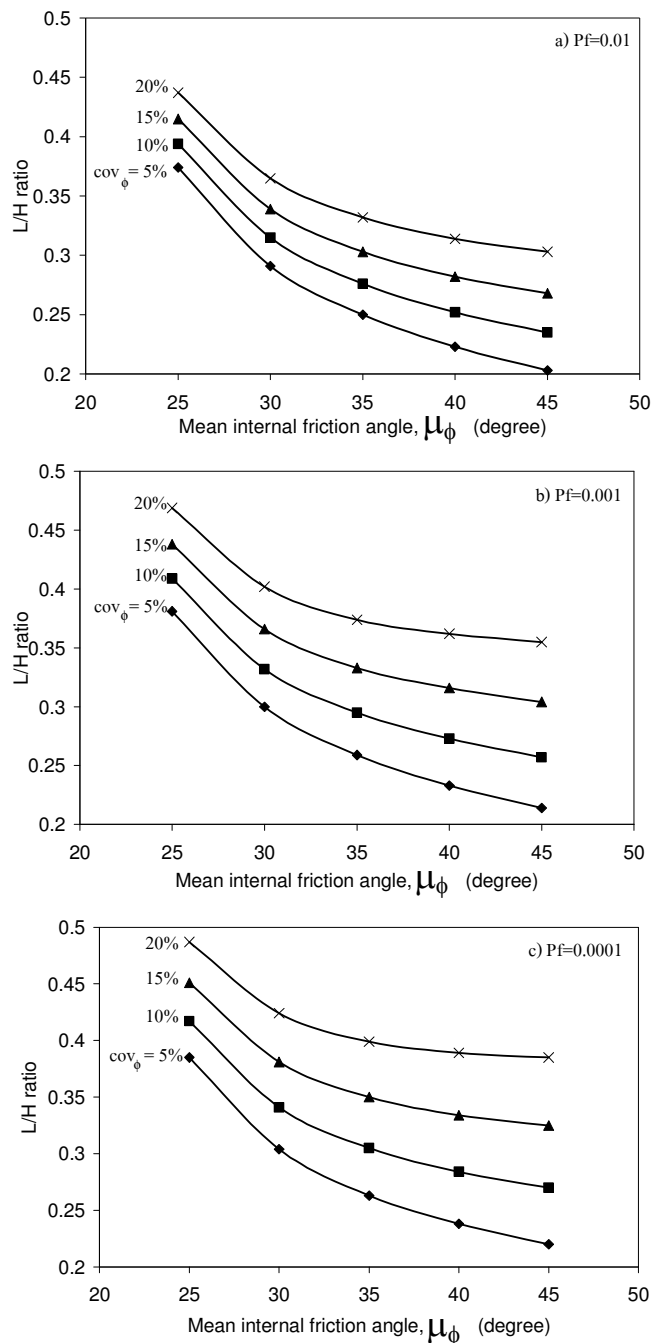
รูปที่ 4.19 Design charts for Sliding mode ที่ได้จาก MCS โดยใช้ค่า SM

a)  $P_f=0.01$ , b)  $P_f=0.001$ , c)  $P_f=0.0001$



รูปที่ 4.20 Design charts สำหรับ Overturning mode ที่ได้จาก MCS โดยใช้ค่า SM

a)  $P_f=0.01$ , b)  $P_f=0.001$ , c)  $P_f=0.0001$



รูปที่ 4.21 Design charts สำหรับ Bearing capacity mode ที่ได้จาก MCS โดยใช้ค่า SM

a)  $P_f=0.01$ , b)  $P_f=0.001$ , c)  $P_f=0.0001$

ผลจากการศึกษาด้วยวิธี MCS ด้วยวิธีการหาค่า SM พบว่าสามารถทำการคำนวณค่า  $\frac{L}{H}$  ได้ครบถ้วนค่าที่ต้องการและค่า  $\frac{L}{H}$  ที่ได้จากการศึกษามีค่าสอดคล้องกับความเป็นจริง ดังรูปที่ 4.19 – 4.21 ตามลำดับดังนี้

- 1) ค่า  $\frac{L}{H}$  แปรผันกับค่า  $\mu_\phi$  กล่าวคือ เมื่อค่า  $\mu_\phi$  ที่ใช้ในการคำนวณมีค่าสูงขึ้น ทำให้ดินมีความแข็งแรงเพิ่มขึ้นส่งผลให้ Resisting Force มีค่ามากขึ้นและ Active force ลดลงขนาดของอัตราส่วนโครงสร้างกำแพงกันดิน  $\left(\frac{L}{H}\right)$  ที่ต้องการก็มีขนาดเล็กลง
- 2) ค่า  $\frac{L}{H}$  แปรผันตรงกับค่า  $COV_\phi$  เมื่อค่า  $\mu_\phi$  คงที่ กล่าวคือเมื่อค่า  $COV_\phi$  มีค่าสูงขึ้นค่าคุณสมบัติของดินก็มีความแปรปรวนมากขึ้นส่งผลให้โอกาสที่จะเกิดการพิบัติมีมากขึ้น ทำให้โครงสร้างของกำแพงกันดินที่ต้องการจึงมีขนาดใหญ่ขึ้นด้วย
- 3) ค่า  $\frac{L}{H}$  แปรผันกับค่า  $P_f$  กล่าวคือ เมื่อค่า  $P_f$  มีค่าลดลง (โอกาสที่จะเกิดการพิบัติต่ำ) ขนาดของกำแพงกันดินที่ต้องการ ก็จะต้องมีขนาดใหญ่ขึ้น

และจากผลการศึกษาพบว่าค่า  $\mu_\phi$  มีอิทธิพลมากต่อผลการคำนวณหาค่า  $\frac{L}{H}$  สำหรับ Sliding mode และ Bearing capacity mode ดังรูปที่ 4.19, 4.20 และ 4.21 ตามลำดับ

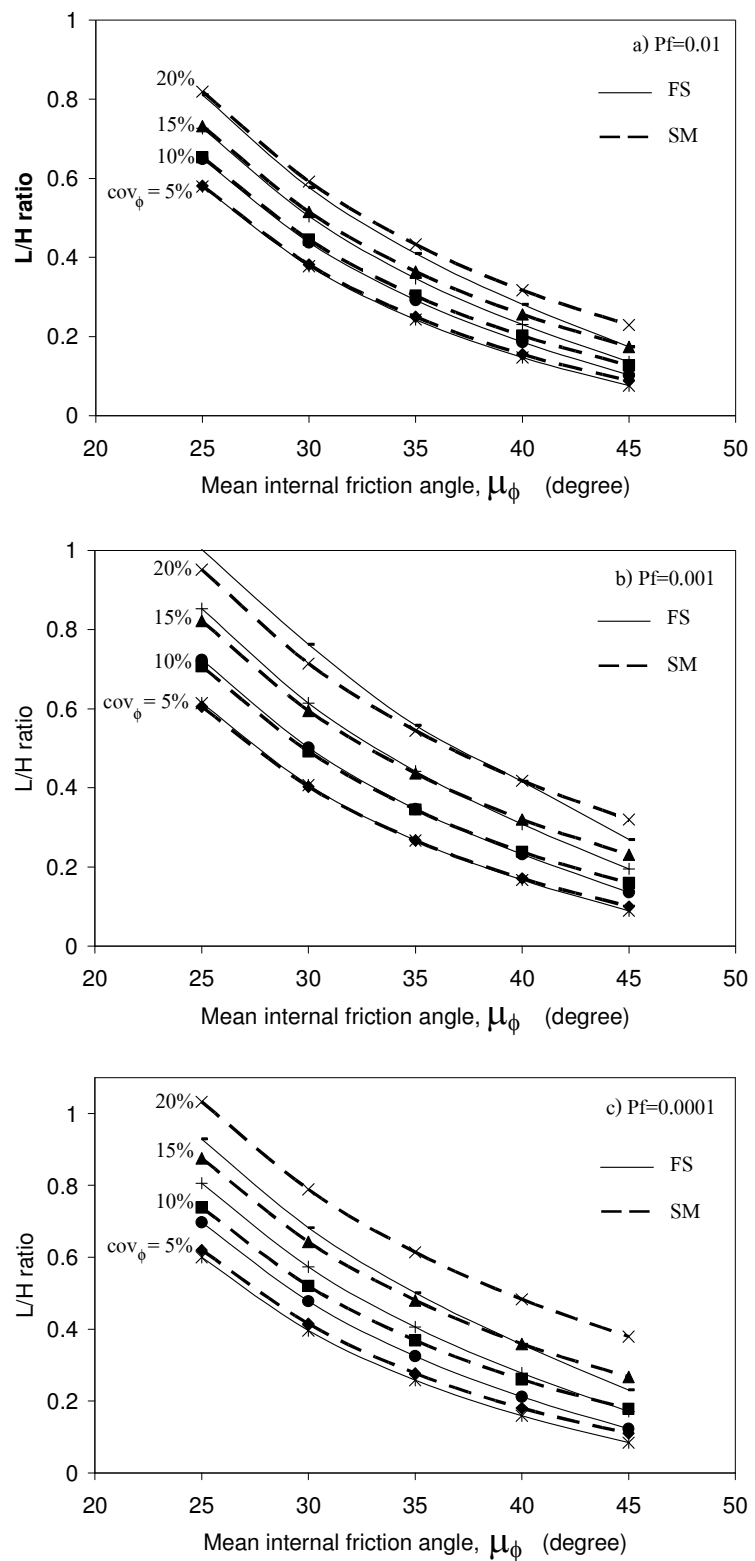
## 4.3 การเปรียบเทียบ Design charts

### 4.3.1 การเปรียบเทียบ Design charts ที่ได้จากการคำนวณด้วยวิธี FOSM

การเปรียบเทียบ Design charts ที่ได้จากการพัฒนาโดยใช้วิธี FOSM ระหว่าง FS กับ SM ไม่สามารถทำได้เนื่องจาก ผลที่ได้จากการคำนวณด้วยวิธี FOSM โดยใช้ค่า FS ให้ผลลัพธ์ที่ไม่น่าเชื่อถือและไม่สามารถทำการคำนวณหาค่า  $\frac{L}{H}$  ได้ครบถ้วนค่าที่ต้องการ (รูปที่ 4.6 – 4.7) อันเนื่องมาจากมีความผิดพลาดทางคณิตศาสตร์ของการใช้ค่า FS

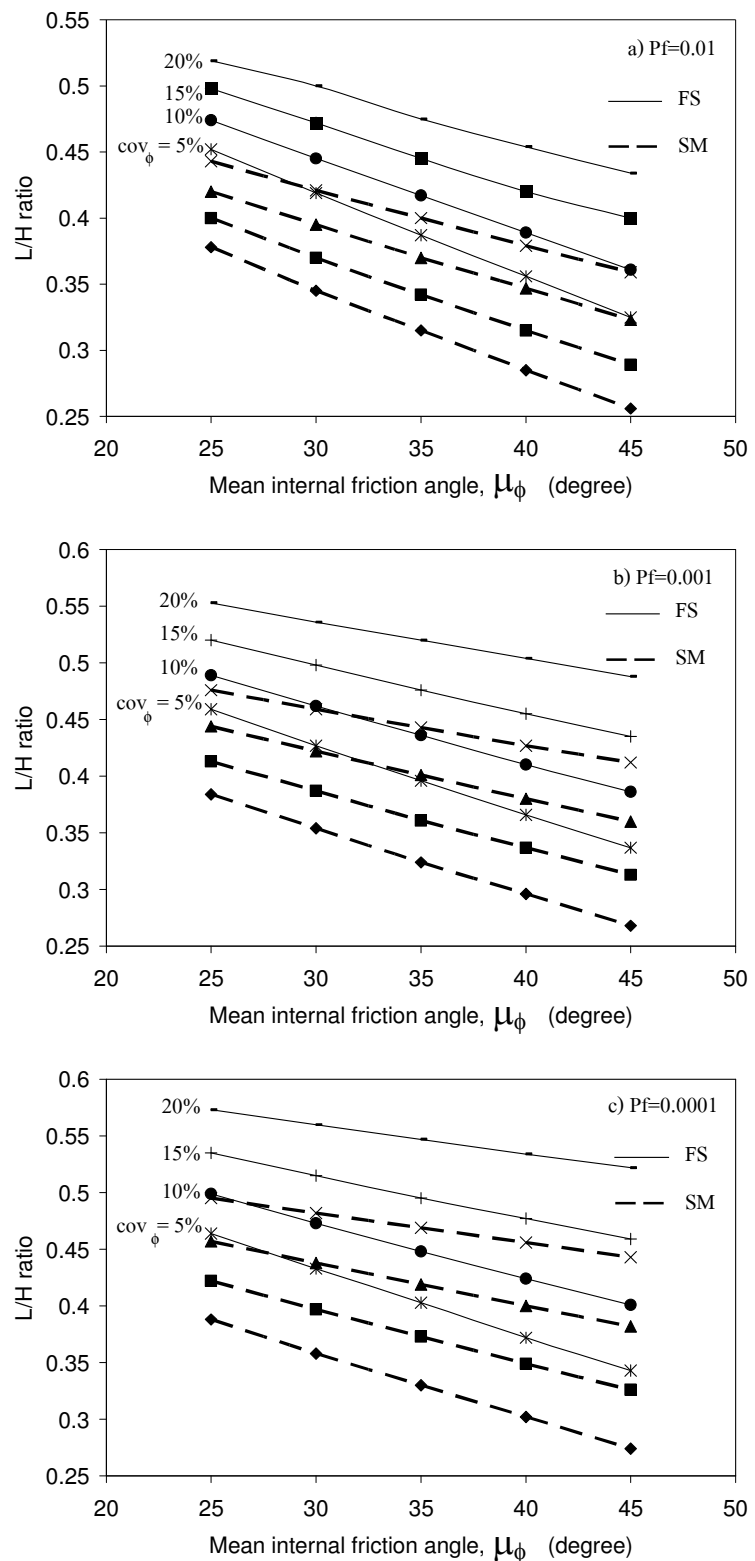
### 4.3.2 การเปรียบเทียบ Design charts ที่ได้จากการคำนวณด้วยวิธี MCS

การเปรียบเทียบผลการคำนวณด้วยวิธี MCS พนว่าค่า  $\frac{L}{H}$  ที่คำนวณได้มีค่าใกล้เคียงกันมากในลักษณะการพินบัดแบบ Sliding mode และ Bearing capacity mode แต่ผลจากการคำนวณในลักษณะการพินบัดแบบ Overturning mode พนว่าผลที่ได้จากการคำนวณด้วยวิธีการหาค่า FS มีค่ามากกว่าผลที่ได้จากการคำนวณด้วยวิธีการหาค่า SM ดังแสดงในรูปที่ 4.22 – 4.24 สำหรับ Sliding mode ที่ค่า  $P_f$  สูง ได้ค่า  $\frac{L}{H}$  ใกล้เคียงกันสำหรับทุกค่า  $COV_\phi$  แต่ที่ค่า  $P_f$  ต่ำ ( $P_f = 0.0001$ ) และค่า  $COV_\phi$  สูง ( $COV_\phi = 20\%$ ) พนว่าค่า  $\frac{L}{H}$  ที่คำนวณได้มีค่าต่างกันถึง  $2.90\% - 29.02\%$  สำหรับความแตกต่างของผลที่คำนวณได้จากการคำนวณด้วยลักษณะการพินบัดแบบ Overturning mode น่าจะเป็นผลมาจากการคำนวณค่าเสถียรภาพที่แตกต่างกัน กล่าวคือ การหาค่าเสถียรภาพในรูปแบบของการลองกันระหว่างค่าโมเมนต์ด้านการพลิกครึ่งและค่าโมเมนต์พลิกครึ่งผลการคำนวณค่า SM<sub>o</sub> ที่ได้มีค่าเปลี่ยนแปลงไปจากค่าโมเมนต์ด้านการพลิกครึ่งเพียงเล็กน้อย แต่เมื่อทำการคำนวณค่าเสถียรภาพในรูปแบบของการหาค่า FS<sub>o</sub> ซึ่งเป็นผลลัพธ์ที่ได้จากการหารกันระหว่างค่าโมเมนต์ด้านการพลิกครึ่งและค่าโมเมนต์พลิกครึ่ง พนว่าเมื่อค่า  $\frac{L}{H}$  ที่ใช้ทำการคำนวณมีค่าต่างจะส่งผลให้ค่าโมเมนต์ด้านการพลิกครึ่งมีค่าน้อยกว่าค่าโมเมนต์พลิกครึ่ง ผลหารจึงมีค่าลดลง (เสมอการลดขนาดสัญญาณ) เมื่อต้องการให้กำแหงกันดินมีโอกาสเกิดการพินบัดต่ำ ค่า  $\frac{L}{H}$  ที่ต้องการจึงมีค่าสูง



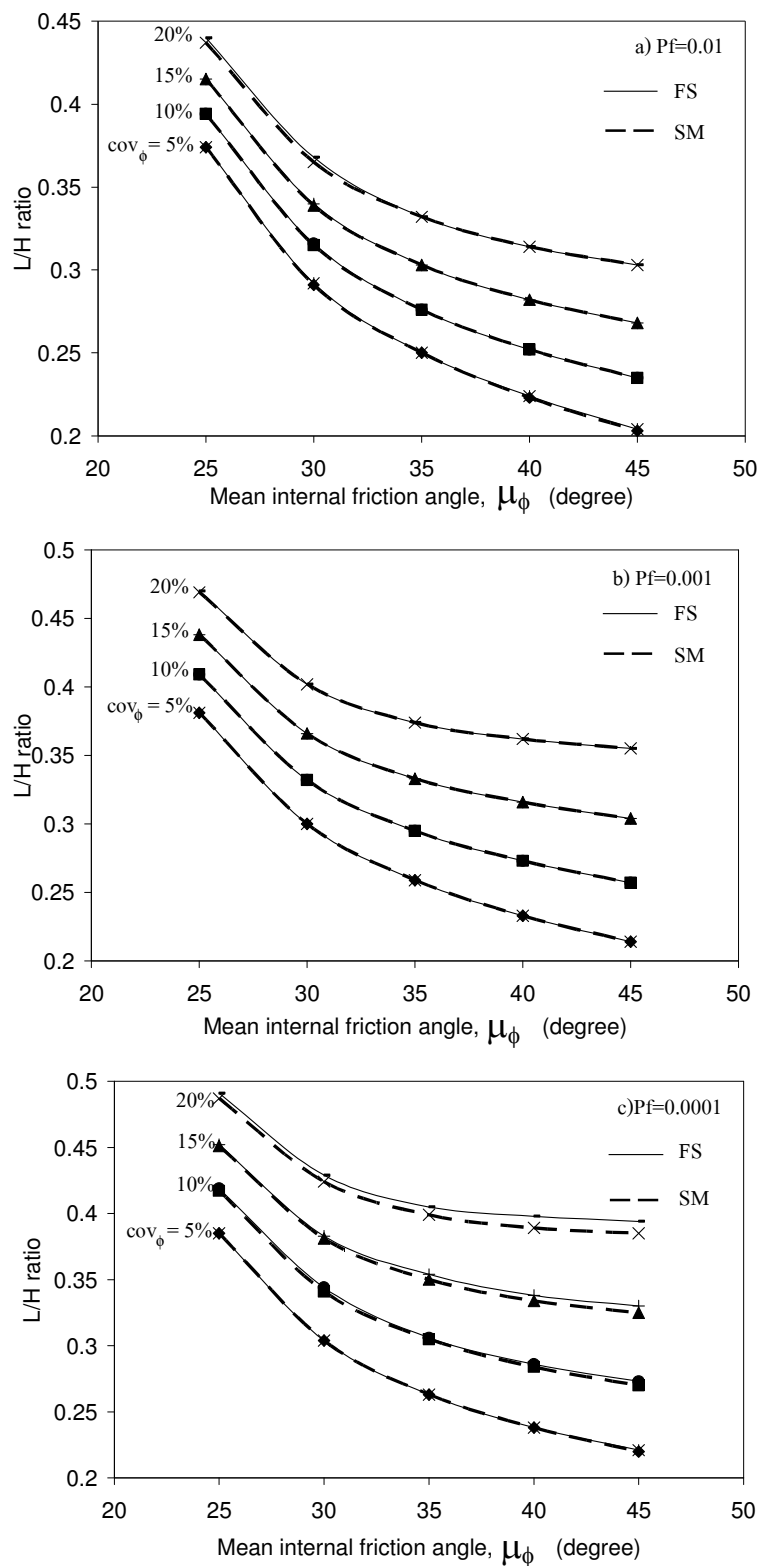
รูปที่ 4.22 การเปรียบเทียบ Design charts ที่ได้จากการวิธี MCS (Sliding mode)

a)  $P_f=0.01$ , b)  $P_f=0.001$ , c)  $P_f=0.0001$



รูปที่ 4.23 การเปรียบเทียบ Design charts ที่ได้จากการ MCS (Overturning mode)

a)  $P_f = 0.01$ , b)  $P_f = 0.001$ , c)  $P_f = 0.0001$



รูปที่ 4.24 การเปรียบเทียบ Design charts ที่ได้จากการวิธี MCS (Bearing capacity mode)

a)  $P_f=0.01$ , b)  $P_f=0.001$ , c)  $P_f=0.0001$

### 4.3.3 การเปรียบเทียบ Design charts ที่ได้จากการคำนวณด้วยวิธี FOSM และ MCS

การเปรียบเทียบผลจากการคำนวณในขั้นตอนนี้จะไม่แสดงผลที่ได้จากการคำนวณด้วยวิธี FOSM โดยใช้ค่า FS เนื่องจากผลของการคำนวณที่ได้จากการวิเคราะห์เสถียรภาพแบบ FS ไม่น่าเชื่อถือ รูปแสดงการเปรียบเทียบได้แสดงไว้ในรูปที่ 4.25 – 4.27 ในการเปรียบเทียบพบว่าค่า  $\frac{L}{H}$  ที่ได้จากการคำนวณโดยวิธี MCS มีค่าใกล้เคียงกับผลที่ได้จากการคำนวณด้วยวิธี FOSM แต่ค่า  $\frac{L}{H}$  ที่ได้จากการคำนวณโดยวิธี MCS มีค่ามากกว่าผลที่ได้จากการคำนวณด้วยวิธี FOSM เล็กน้อยในทุกลักษณะการพิบัติ และเมื่อนำข้อมูลที่ได้จากการคำนวณขึ้นกลับมาเปรียบเทียบพบว่าค่า  $P_f$ ,  $\mu_\phi$  และค่า  $COV_\phi$  ชุดเดียวกันสำหรับการคำนวณด้วยวิธี FOSM และ MCS พบว่าค่า  $\frac{L}{H}$  ที่ได้จากการคำนวณมีค่าต่างกัน แต่ค่า  $\sigma_{sm}$  ที่ได้มีค่าใกล้เคียงกันมากดังแสดงไว้ในตารางที่ 4.2 และตารางที่ 4.3 ทำให้สามารถสรุปได้ว่า การประมาณค่า  $\sigma_{sm}$  ทั้งจากวิธี FOSM และ MCS ให้ค่าที่แม่นยำเท่ากันในทุกลักษณะการพิบัติแต่ค่า  $\mu_{sm}$  ที่ได้จากทั้ง 2 วิธีมีค่าแตกต่างกัน ซึ่งการคำนวณค่า  $\mu_{sm}$  จากการคำนวณด้วยวิธี FOSM จะใช้ค่าเฉลี่ยของพารามิเตอร์ทุกด้า แต่การคำนวณด้วยวิธี MCS จะได้ค่า  $\mu_{sm}$  มาจากการเฉลี่ยของค่า SM ที่คำนวณซ้ำ 10,000 ค่าซึ่งจะทำให้ค่า  $\mu_{sm}$  แตกต่างกันได้ และเมื่อนำผลที่ได้จากการคำนวณทั้ง 3 วิธี [FOSM(SM), MCS(FS), MCS(SM)] มาทำการเปรียบเทียบกัน พบว่าเมื่อค่า  $COV_\phi$  ที่ใช้สำหรับทำการคำนวณมีค่าต่ำ ( $COV_\phi = 5\%$ ) ค่า  $\frac{L}{H}$  ที่คำนวณได้มีค่าใกล้เคียงกันมากในทุกลักษณะการพิบัติ แต่เมื่อค่า  $COV_\phi$  ที่ใช้สำหรับทำการคำนวณมีค่าสูง ( $COV_\phi = 20\%$ ) ค่า  $\frac{L}{H}$  ที่คำนวณได้จากทั้ง 3 วิธีมีค่าต่างกันเล็กน้อย ยกเว้นใน

ลักษณะการพิบัติแบบ Overturning failure ซึ่งน่าจะเป็นผลมาจากการคำนวณค่าเสถียรภาพ ซึ่งเมื่อพิจารณาลักษณะความสัมพันธ์ของเส้นกราฟที่ใช้ทำการเปรียบเทียบพบว่ามีลักษณะแนวโน้มเหมือนกันทุกๆ Charts ดังแสดงในรูปที่ 4.28 - 4.30 ตามลำดับ

ตารางที่ 4.2 เปรียบเทียบผลการคำนวณที่ได้จากการคำนวณด้วยวิธี FOSM และ MCS สำหรับ SM

ลักษณะการพิบัติ	FOSM			MCS		
	$\frac{L}{H}$	$\mu_{SM}$	$\sigma_{SM}$	$\frac{L}{H}$	$\mu_{SM}$	$\sigma_{SM}$
Sliding Mode	0.29	0.85	0.36	0.30	0.92	0.36
Overspinning Mode	0.34	0.28	0.12	0.34	0.31	0.12
Bearing Capacity Mode	0.27	33.81	14.54	0.28	36.14	14.27

\* $\gamma = 18 \text{ kN/m}^3$ ,  $\mu_\phi = 35^\circ$ ,  $\text{COV}_\phi = 10\%$ ,  $P_f = 0.01$

ตารางที่ 4.3 เปรียบเทียบผลการคำนวณที่ได้จากการคำนวณด้วยวิธี FOSM และ MCS เมื่อ

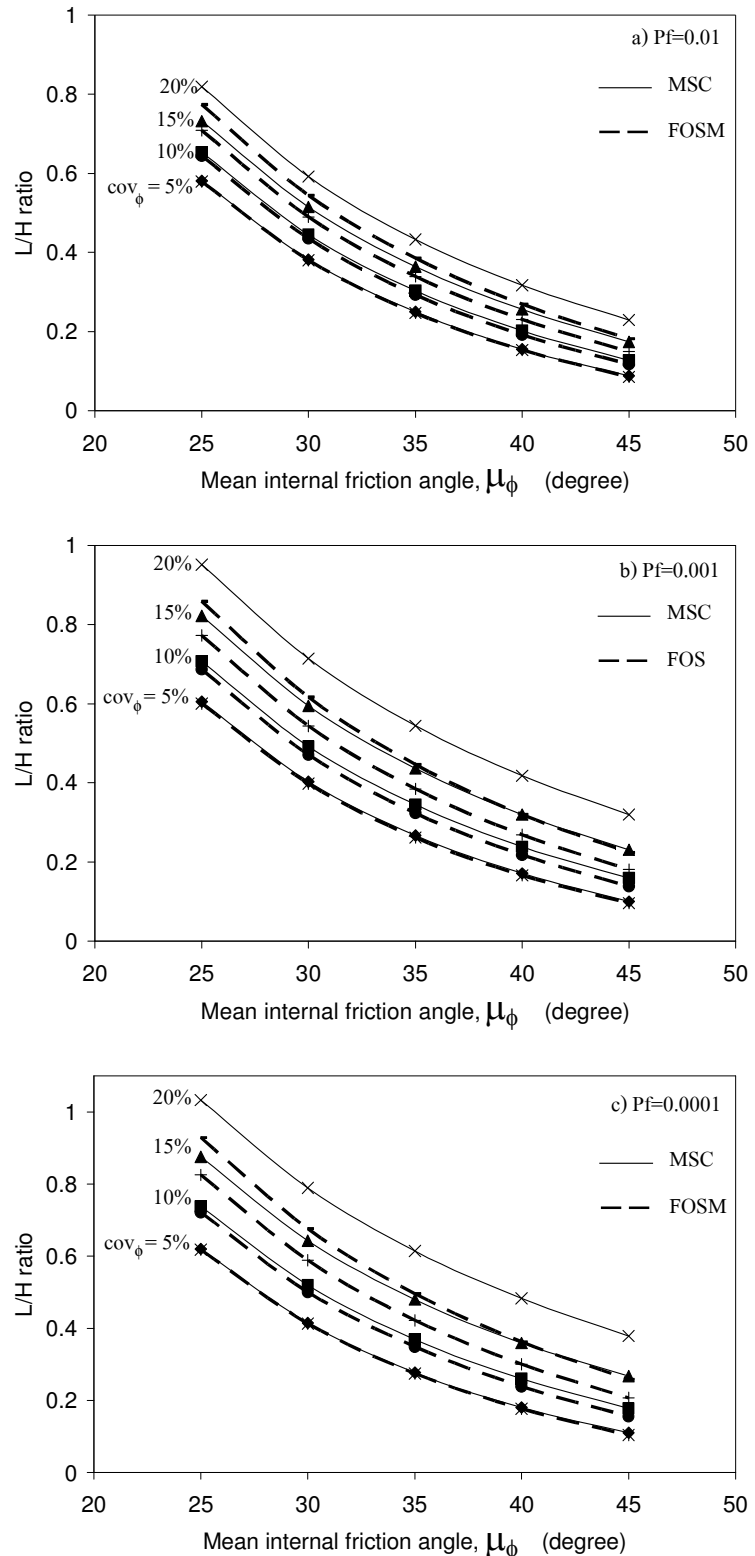
กำหนดให้ใช้ค่า  $\frac{L}{H}$  เท่ากัน

ลักษณะการพิบัติ	$\frac{L}{H}$	FOSM			MCS		
		$\mu_{SM}$	$\sigma_{SM}$	$P_f$	$\mu_{SM}$	$\sigma_{SM}$	$P_f$
Sliding Mode	0.29	0.85	0.36	0.0100	0.83	0.36	0.0168
Overspinning Mode	0.34	0.28	0.12	0.0100	0.27	0.12	0.0173
Bearing Capacity Mode	0.27	33.81	14.54	0.0100	32.99	14.39	0.0168

ตารางที่ 4.3 (ต่อ)

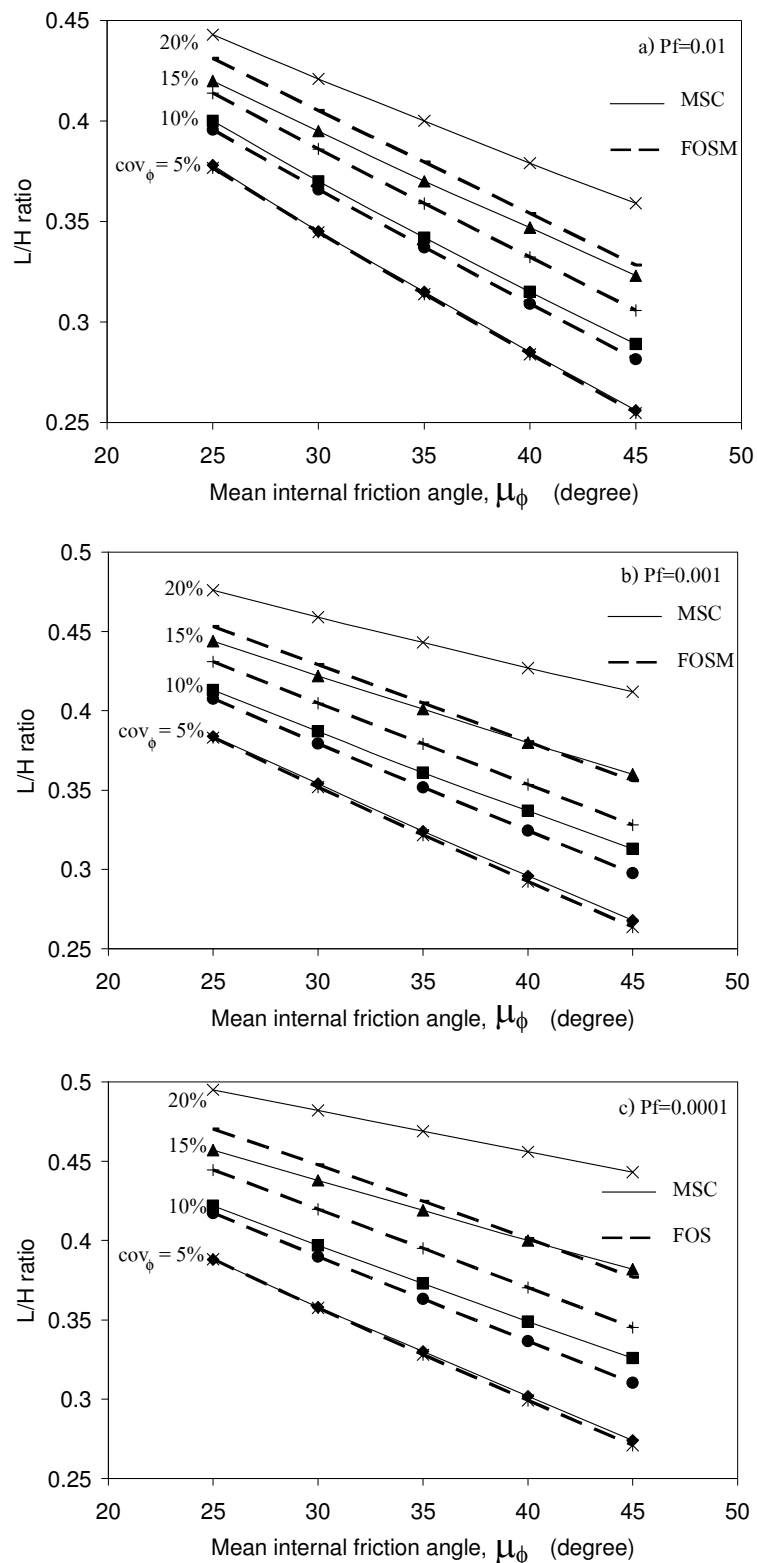
ลักษณะการพิบัติ	$\frac{L}{H}$	FOSM			MCS		
		$\mu_{SM}$	$\sigma_{SM}$	$P_f$	$\mu_{SM}$	$\sigma_{SM}$	$P_f$
Sliding Mode	0.30	0.94	0.36	0.0049	0.92	0.36	0.0100
Overspinning Mode	0.34	0.31	0.12	0.0049	0.31	0.12	0.0100
Bearing Capacity Mode	0.28	37.14	14.29	0.0047	36.14	14.27	0.0100

\* $\gamma = 18 \text{ kN/m}^3$ ,  $\mu_\phi = 35^\circ$ ,  $\text{COV}_\phi = 10\%$



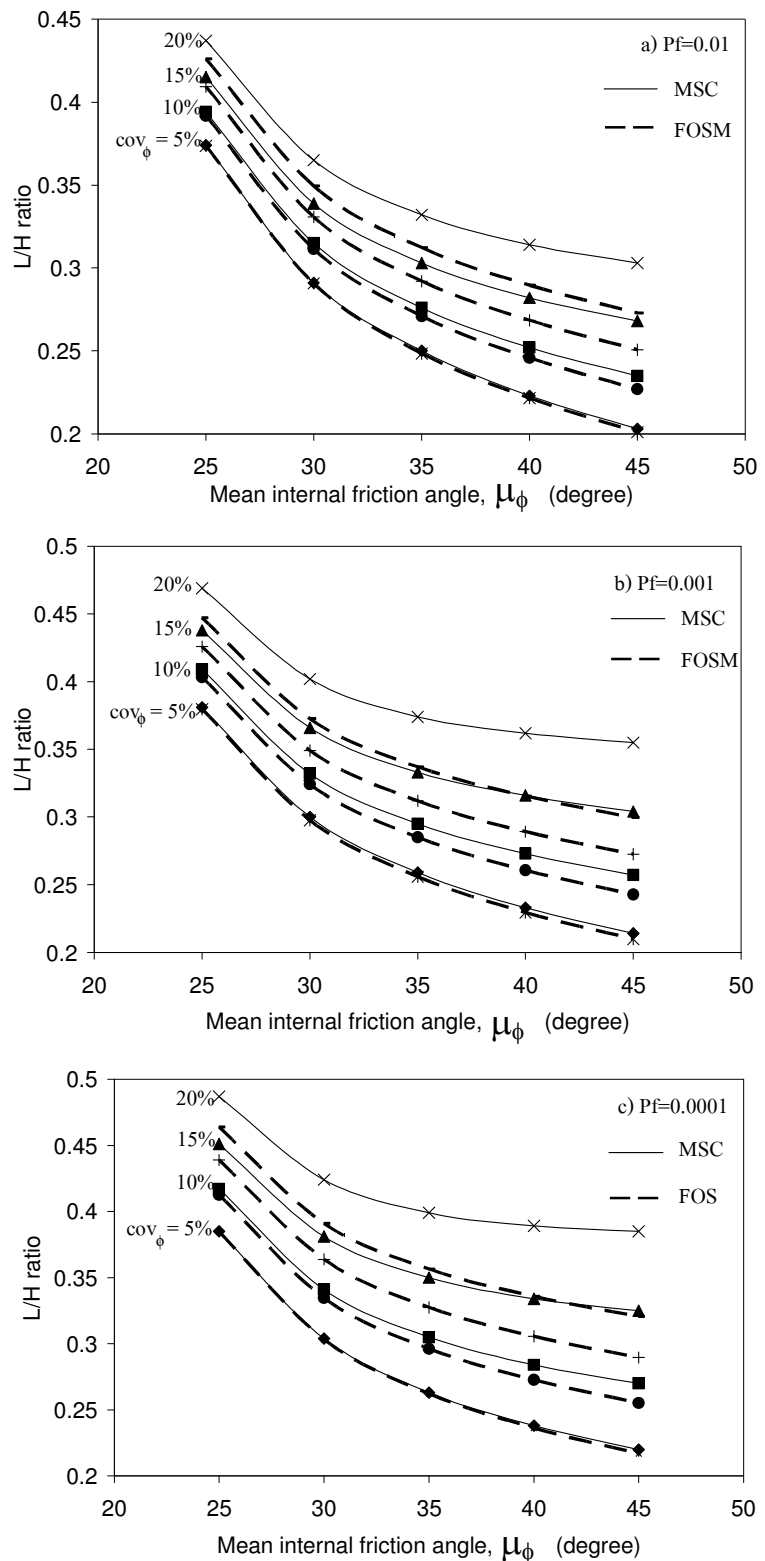
รูปที่ 4.25 การเปรียบเทียบ Design charts ที่ได้จากการวิธี MCS และ FOSM

(SM: Sliding mode) a)  $P_f=0.01$ , b)  $P_f=0.001$ , c)  $P_f=0.0001$



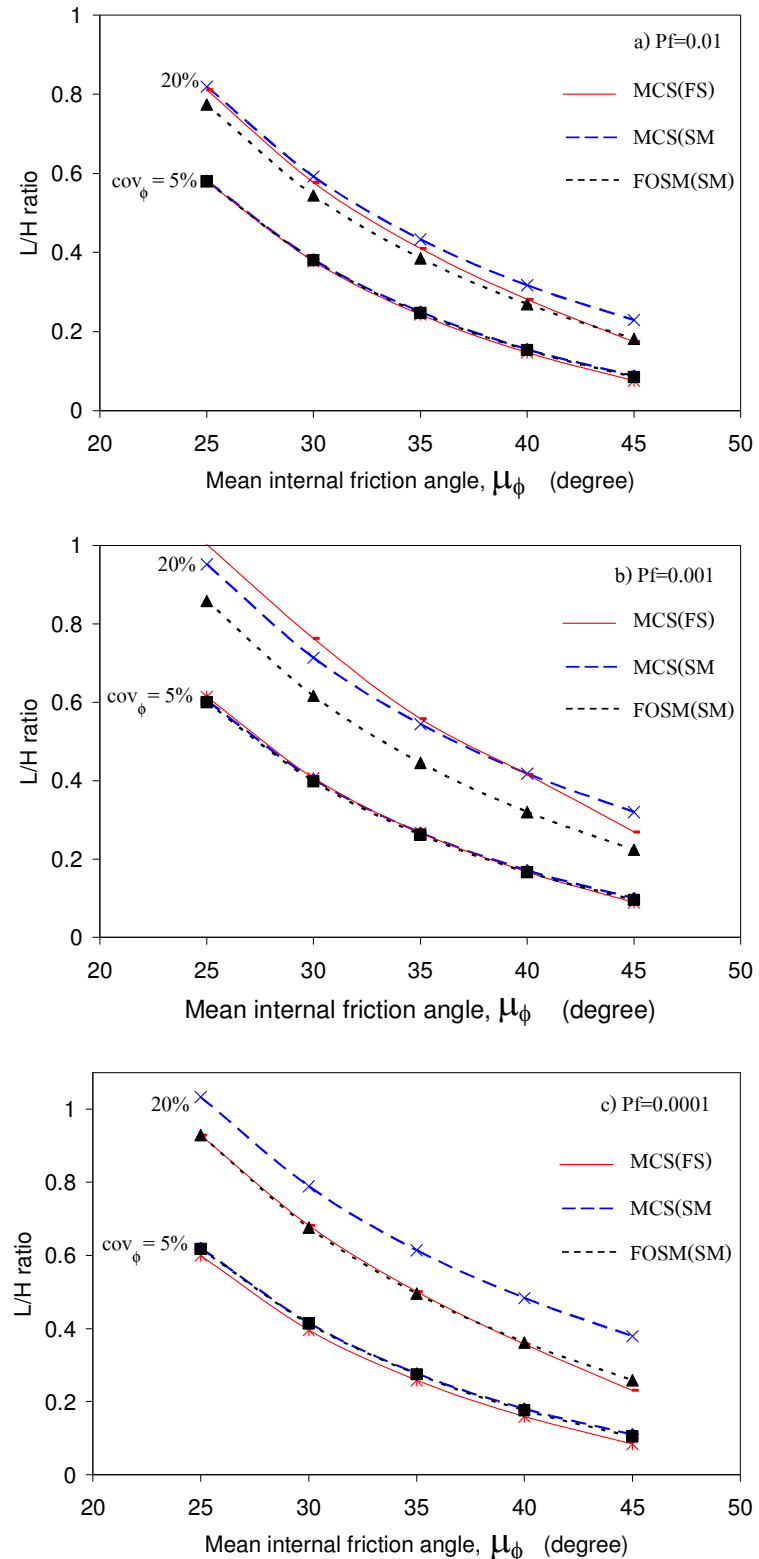
รูปที่ 4.26 การเปรียบเทียบ Design charts ที่ได้จากวิธี MCS และ FOSM

(SM: Overturning mode) a)  $P_f=0.01$ , b)  $P_f=0.001$ , c)  $P_f=0.0001$



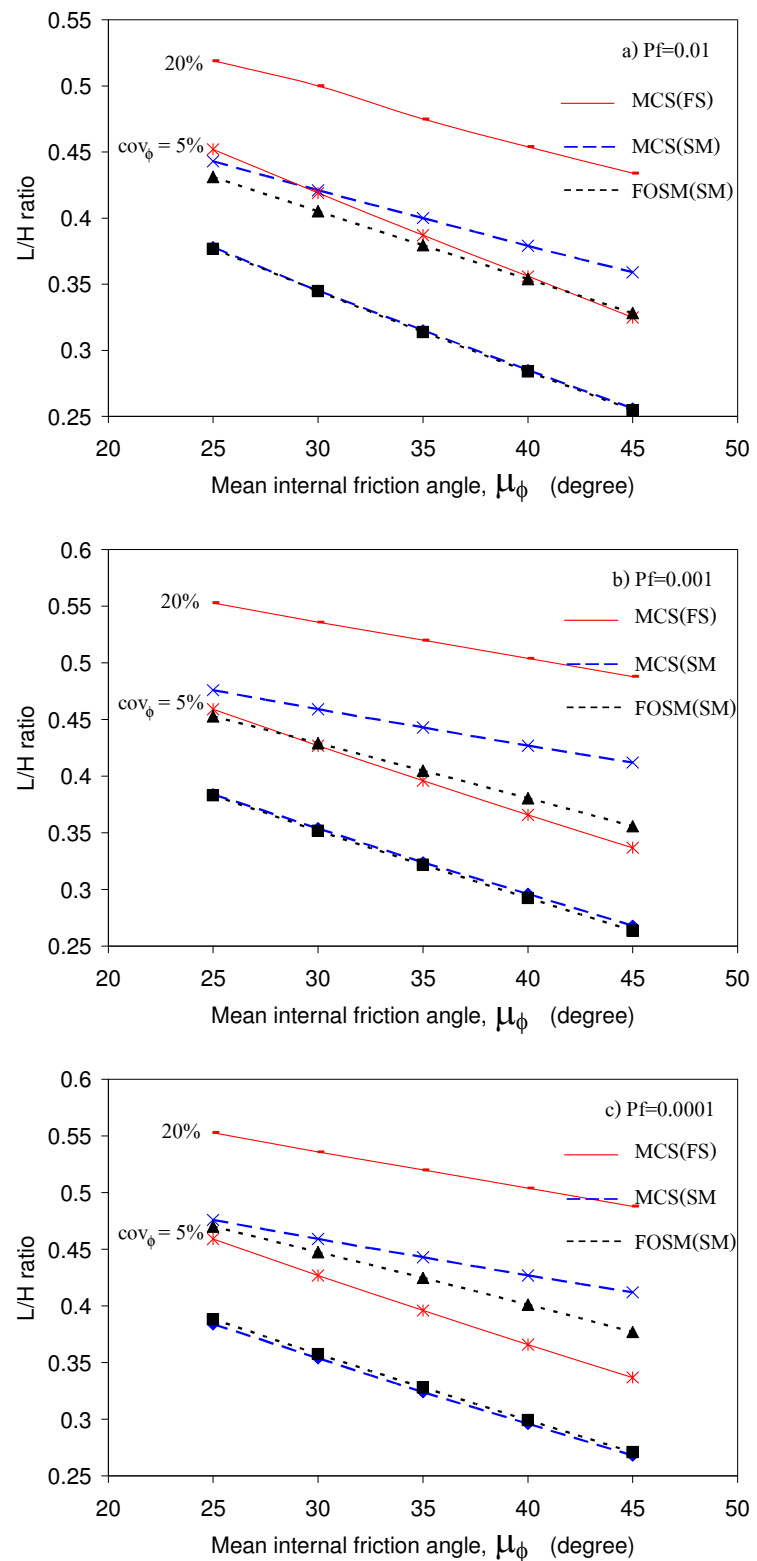
รูปที่ 4.27 การเปรียบเทียบ Design charts ที่ได้จากวิธี MCS และ FOSM

(SM: Bearing capacity mode) a)  $P_f=0.01$ , b)  $P_f=0.001$ , c)  $P_f=0.0001$

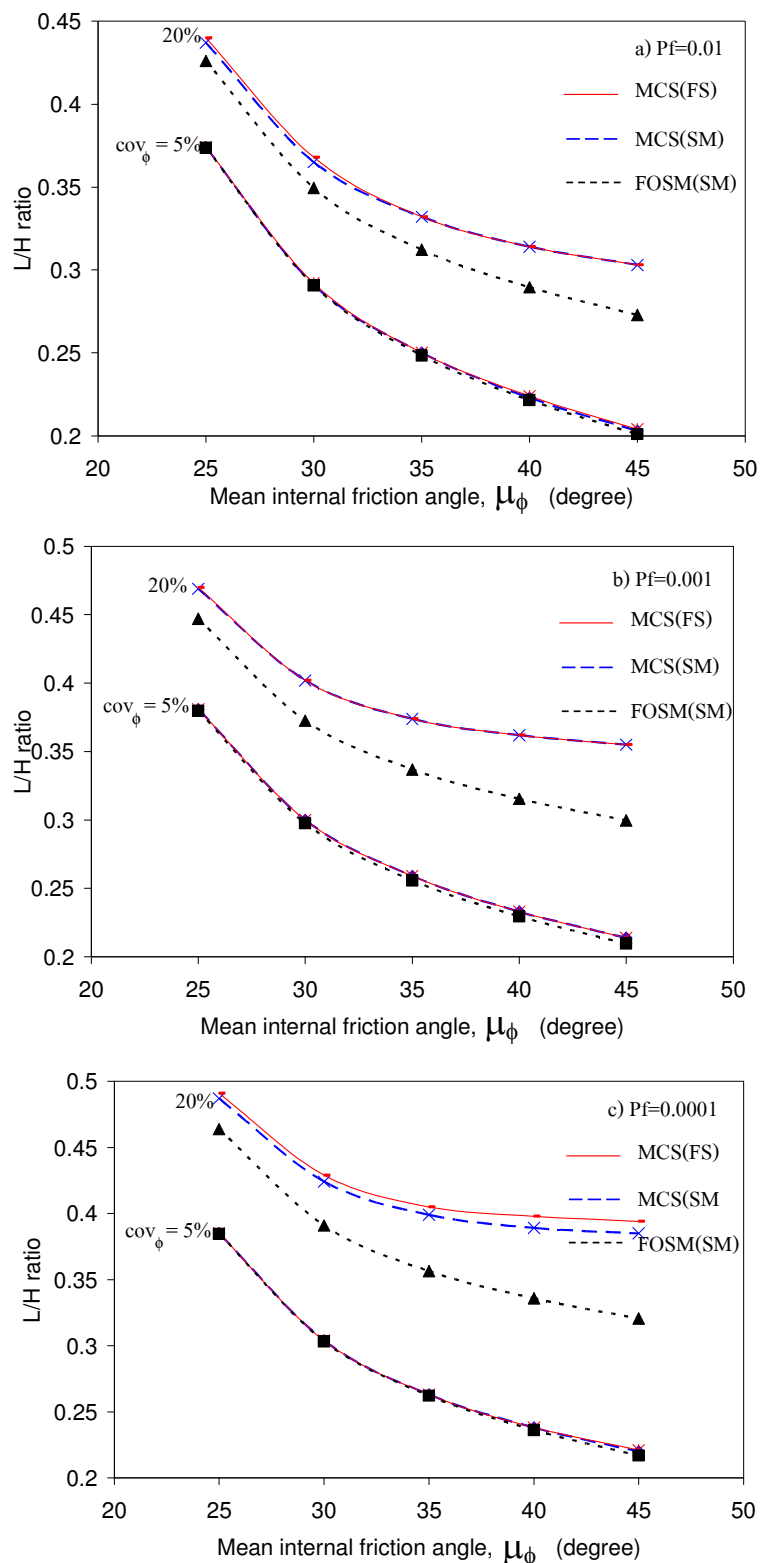


รูปที่ 4.28 การเปรียบเทียบ Design charts ที่ได้จากการวิธี MCS (FS), MCS (SM) และ FOSM (SM)

(Sliding mode) a)  $P_f=0.01$ , b)  $P_f=0.001$ , c)  $P_f=0.0001$



รูปที่ 4.29 การเปรียบเทียบ Design charts ที่ได้จากการวิธี MCS (FS), MCS (SM) และ FOSM (SM)  
(Overturning mode) a)  $P_f=0.01$ , b)  $P_f=0.001$ , c)  $P_f=0.0001$



รูปที่ 4.30 การเปรียบเทียบ Design charts ที่ได้จากการวิธี MCS (FS), MCS (SM) และ FOSM (SM)

(Bearing capacity mode) a)  $P_f=0.01$ , b)  $P_f=0.001$ , c)  $P_f=0.0001$

#### 4.4 ผลการตรวจสอบความถูกต้องของ Design Charts

การตรวจสอบความถูกต้องของ Design charts ที่พัฒนาขึ้นสำหรับใช้ออกแบบกำแพงกันดินโดยความน่าจะเป็น ทำได้โดยการเปรียบเทียบค่าอัตราส่วนโครงสร้างของกำแพงกันดิน  $\left(\frac{L}{H}\right)$  ที่ได้จากการวิเคราะห์เสถียรภาพของกำแพงกันดินด้วย Conventional method กับผลที่ได้จากการศึกษาที่ใช้ Design charts ที่ผู้วิจัยพัฒนาขึ้น โดยคุณสมบัติของดินที่กำหนดใช้ในการตรวจสอบความถูกต้องมีค่าดังนี้ ให้  $\gamma = 18 \text{ kN/m}^3$ ,  $\mu_\phi = 35^\circ$ ,  $\text{COV}_\phi = 10\%$  และทำการคำนวณตามขั้นตอนที่ 3.4.1 และ 3.4.2 ซึ่งจะเป็นการเปรียบเทียบระหว่างผลที่ได้จากการคำนวณด้วยวิธี Conventional method ที่วิศวกรส่วนใหญ่ใช้และคุณเคยเป็นอย่างเดียวกับผลที่คำนวณโดยอ้างอิงกับค่าความน่าจะเป็นในการพิบัติ ( $P_f$ ) ที่ใช้ทั่วไปในงานประดิษฐ์ Geotech โดยผลการเปรียบเทียบได้แสดงในตารางที่ 4.4 ผลการเปรียบเทียบค่าอัตราส่วนโครงสร้างกำแพงกันดิน  $\left(\frac{L}{H}\right)$  ที่ได้จากการคำนวณเปรียบเทียบทั้ง 3 วิธีสามารถสรุปได้ดังนี้

- 1) ค่าอัตราส่วนโครงสร้างกำแพงกันดิน  $\left(\frac{L}{H}\right)$  ที่ได้จากการออกแบบโดยใช้ Reliability based design charts มีค่าสอดคล้องใกล้เคียงกับค่าที่ได้จากการคำนวณด้วย Conventional method โดยเฉพาะค่า  $\frac{L}{H}$  เมื่อค่า  $FS = 1.5$  และ  $2.0$  มีความสอดคล้องกับค่า  $\frac{L}{H}$  ที่  $P_f = 0.01$  ถึง  $0.001$  ดังนั้น Reliability based design charts ที่พัฒนาขึ้น จึงมีความน่าเชื่อถือ
- 2) Design charts ที่ได้จากการคำนวณด้วยวิธี MCS(SM) ให้ค่า  $\frac{L}{H}$  ใกล้เคียงกันมาก เมื่อเปรียบเทียบกับ Design charts ที่ได้จากการคำนวณด้วยวิธี FOSM(SM)

ตารางที่ 4.4 การเปรียบเทียบผลที่ได้จากการศึกษา กับผลการคำนวณด้วย Conventional method

Failure mode	ค่าอัตราส่วนโครงสร้างกำแพงกันดินที่ต้องการ ( $\frac{L}{H}$ )											
	FS			$P_f$								
	Conventional Design			FOSM (SM)			MCS (FS)			MCS (SM)		
	1.5	2.0	3.0	0.01	0.001	0.0001	0.01	0.001	0.0001	0.01	0.001	0.0001
Sliding	0.33	0.47	0.73	0.29	0.32	0.35	0.29	0.33	0.35	0.30	0.35	0.37
Overturning	0.43	0.49	0.59	0.34	0.35	0.36	0.42	0.44	0.45	0.34	0.36	0.37
Bearing capacity	0.24	0.25	0.28	0.27	0.28	0.30	0.28	0.30	0.31	0.28	0.30	0.31

\* $\gamma = 18 \text{ kN/m}^3$ ,  $\mu_\phi = 35^\circ$ ,  $\text{COV}_\phi = 10\%$

## บทที่ 5

### สรุปผลการวิจัย

#### 5.1 สรุปผลการวิจัย

การพัฒนาแผนภูมิการออกแบบบนพื้นฐานของความน่าเชื่อถือสำหรับกำแพงกันดินทำได้โดยการนำความไม่แน่นอนของค่ามุมเสียดทานภายในของคิดที่ไม่มีความเชื่อมแน่นมาทำการคำนวณและแสดงผลการศึกษาในรูปแบบของความน่าจะเป็นในการพิบัติของกำแพงกันดินสำหรับการพิบัติจากการเลื่อนไอล, การพิบัติจากการพลิกคว่ำ และการพิบัติเนื่องจากดินได้ฐานรากมีกำลังรับแรงแบกท่านไม่เพียงพอ โดยวิธี First Order Second Moment และวิธี Monte Carlo Simulation ซึ่งผลการศึกษาสามารถสรุปได้ดังนี้

1) ค่าเสถียรภาพของกำแพงกันดินในรูปแบบของค่าอัตราส่วนความปลอดภัยจากการเลื่อนไอล ( $FS_s$ ) และค่าอัตราส่วนความปลอดภัยจากการพลิกคว่ำ ( $FS_u$ ) มีลักษณะการกระจายตัวของข้อมูลแบบ Log – Normal Distribution แต่ค่าอัตราส่วนความปลอดภัยของแรงแบกท่าน ( $FS_b$ ), ค่าผลต่างความปลอดภัยจากการเลื่อนไอล ( $SM_s$ ), ค่าผลต่างความปลอดภัยจากการพลิกคว่ำ ( $SM_u$ ) และค่าผลต่างความปลอดภัยของแรงแบกท่าน ( $SM_b$ ) มีลักษณะการกระจายตัวของข้อมูลแบบ Normal Distribution

2) จำนวนครั้งการคำนวณที่เพิ่มสำหรับใช้ทำการคำนวณค่าความน่าจะเป็นในการพิบัติด้วยวิธี Monte Carlo Simulation จะต้องมีค่าไม่น้อยกว่า 10,000 ครั้งจึงจะให้ค่าความน่าจะเป็นในการพิบัติที่น่าเชื่อถือ

3) การคำนวณความแปรปรวนของผลการศึกษาในรูปของค่าเบี่ยงเบนมาตรฐานของค่าผลต่างความปลอดภัย ( $\sigma_{sm}$ ) ด้วยวิธี First order second moment method (FOSM) และวิธี Monte carlo simulation method (MCS) พบว่าทั้ง 2 วิธีให้ค่าที่ใกล้เคียงกัน แต่ค่าความน่าจะเป็นในการพิบัติ ( $P_r$ ) ที่ได้อาจมีความแตกต่างกันเล็กน้อยเนื่องจากค่าเฉลี่ยของค่าผลต่างความปลอดภัย ( $\mu_{sm}$ ) ที่แตกต่างกัน

4) ผลจากการคำนวณค่าความน่าจะเป็นในการพิบัติของกำแพงกันดินด้วยวิธี First Order Second Moment และวิธี Monte Carlo Simulation พบว่าค่าเฉลี่ยมุมเสียดทานภายในของดินทราย ( $\mu_\phi$ ) และค่าสัมประสิทธิ์แห่งความแปรผันของมุมเสียดทานภายในของดินทราย ( $COV_\phi$ ) เป็นตัวแปรที่มีนัยสำคัญต่อการคำนวณค่าอัตราส่วนของโครงสร้างกำแพงกันดิน  $\left(\frac{L}{H}\right)$  ในขณะที่ค่าหน่วยน้ำหนักของดิน ( $\gamma$ ) ไม่มีผลอย่างมีนัยสำคัญ

5) ผลการพัฒนา Design charts สำหรับออกแบบกำแพงกันดินบนพื้นฐานของความน่าเชื่อถือได้แสดงในรูปของความสัมพันธ์ระหว่างค่าอัตราส่วนของโครงสร้างกำแพงกันดิน  $\left(\frac{L}{H}\right)$  กับค่าความน่าจะเป็นในการพิบัติ ( $P_f$ ), ค่าเฉลี่ยมุมเสียดทานภายในของดินทราย ( $\mu_\phi$ ) และค่าสัมประสิทธิ์แห่งความแปรผันของมุมเสียดทานภายในของดินทราย ( $COV_\phi$ )

6) Design charts ที่พัฒนาขึ้นแสดงให้เห็นว่าอัตราส่วนของโครงสร้างกำแพงกันดิน  $\left(\frac{L}{H}\right)$  แปรผันกับค่าความน่าจะเป็นในการพิบัติ ( $P_f$ ) เนื่องจาก เมื่อค่าความน่าจะเป็นในการพิบัติ ( $P_f$ ) มีค่าลดลง (โอกาสที่จะเกิดการพิบัติต่ำ) ค่าอัตราส่วนของโครงสร้างกำแพงกันดิน  $\left(\frac{L}{H}\right)$  มีค่ามากขึ้น

7) Design charts ที่พัฒนาขึ้นแสดงให้เห็นว่าค่าอัตราส่วนของโครงสร้างกำแพงกันดิน  $\left(\frac{L}{H}\right)$  แปรผันกับค่าเฉลี่ยมุมเสียดทานภายในของดินทราย ( $\mu_\phi$ ) เนื่องจากเมื่อค่าเฉลี่ยมุมเสียดทานภายในของดินทราย ( $\mu_\phi$ ) ที่ใช้ในการคำนวณมีค่าสูงขึ้นทำให้ดินมีความแข็งแรงเพิ่มขึ้น ส่งผลให้แรงต้านการกระทำ (Resisting force) มีค่ามากขึ้นและแรงกระทำ (Active force) มีค่าลดลง ค่าของอัตราส่วนของโครงสร้างกำแพงกันดิน  $\left(\frac{L}{H}\right)$  ที่ต้องการก็มีค่าลดลง

8) Design charts ที่พัฒนาขึ้นแสดงให้เห็นว่าค่าอัตราส่วนของโครงสร้างกำแพงกันดิน  $\left(\frac{L}{H}\right)$  แปรผันตรงกับค่าสัมประสิทธิ์แห่งความแปรผันของมุมเสียดทานภายในของดินทราย ( $COV_\phi$ ) เนื่องจากเมื่อค่าสัมประสิทธิ์แห่งความแปรผันของมุมเสียดทานภายในของดินทราย

( $\text{COV}_\phi$ ) มีค่าสูงขึ้นค่าคุณสมบัติของдинก์มีความแปรปรวนมากขึ้นส่งผลให้โอกาสที่จะเกิดการพิบัติมีมากขึ้น ทำให้ค่าอัตราส่วนโครงการสร้างของกำแพงกันดิน  $\left(\frac{L}{H}\right)$  มีค่ามากขึ้นด้วย

9) ผลการตรวจสอบความถูกต้องของ Design charts โดยการเปรียบเทียบค่าอัตราส่วนของโครงการสร้างกำแพงกันดิน  $\left(\frac{L}{H}\right)$  ที่หาค่าได้จาก Design charts ที่พัฒนาขึ้น กับค่าอัตราส่วนของโครงการสร้างกำแพงกันดิน  $\left(\frac{L}{H}\right)$  ที่ได้จากการคำนวณด้วย Conventional method พนว่าค่าอัตราส่วนของโครงการสร้างกำแพงกันดิน  $\left(\frac{L}{H}\right)$  ที่หาได้จากทั้ง 2 วิธีมีค่าใกล้เคียงกัน ดังนั้น Design charts ที่พัฒนาขึ้นจึงมีความน่าเชื่อถือและสามารถนำไปใช้ออกแบบกำแพงกันดินได้

10) การวิเคราะห์หาค่าเสถียรภาพของกำแพงกันดินในรูปแบบของการหาค่า  $FS$  ที่กำหนดให้มีลักษณะการกระจายตัวแบบปกติ (Normal Distribution) ไม่เหมาะสมต่อการนำไปใช้เพื่อทำการคำนวณหาค่าความน่าจะเป็นในการพิบัติ ( $P_f$ ) ด้วยวิธี First Order Second Moment !พราะผลจากการคำนวณด้วยวิธี MCS พนว่ามีเพียงค่า อัตราส่วนความปลอดภัยของแรงแบกท่าน ( $FS_b$ ) เท่านั้นที่มีลักษณะการกระจายตัวแบบ Normal Distribution แต่ค่าอัตราส่วนความปลอดภัยจากการเลื่อนไถล ( $FS_s$ ) และค่าอัตราส่วนความปลอดภัยจากการพลิกคว่ำ ( $FS_u$ ) มีลักษณะการกระจายตัวของข้อมูลแบบ Log - Normal Distribution

## บรรณานุกรม

กิติศักดิ์ พลอพานิชเจริญ (2548). สอดีสำหรับงานวิชากรรม. สมาคมส่งเสริมเทคโนโลยี (ไทย-ญี่ปุ่น). กรุงเทพมหานคร.

ชัย มุกตพันธ์ และ ภาณุ โอะดา นาคาชิ瓦 (2546). ปฐพีกลศาสตร์ และ วิศวกรรมฐานราก. กรุงเทพมหานคร. สำนักพิมพ์ดวงกมล.

บัญชัย อุกฤษณ (2547). การวิเคราะห์ขอบเขตบนแบบประยุกต์สำหรับปัญหาสถิติรากของความลาด. คณะวิศวกรรมศาสตร์สาขาวิชาชีวกรรม โยธา. จุฬาลงกรณ์มหาวิทยาลัย

สงวน ตั้งโพธิธรรม (2542). สodic วิศวกรรม. ภาควิชาชีวกรรมอุตสาหการ คณะวิศวกรรมศาสตร์ มหาวิทยาลัยสงขลานครินทร์ วิทยาเขตหาดใหญ่.

สุทธิศักดิ์ ศรลัมพ์ และ วรกร ไม้เรียง (2548). การวิเคราะห์ความน่าจะเป็นต่อการพิบัติเพื่อประเมินความเสี่ยงของเขื่อน. ศูนย์วิจัยและพัฒนาวิศวกรรมปฐพีและฐานราก. คณะวิศวกรรมศาสตร์. มหาวิทยาลัยเกษตรศาสตร์.

Babu, G.L.S. and Basha, B.M. (2008). Optimum Design of Cantilever Retaining Walls Using Target Reliability Approach. International Journal of Geomechanics@ASCE. 8(4):240-252.

Baecher,G.B. and Chritian,J.T. (2003). Reliability and Statistics in Geotechnical Engineering. John Wiley & Sons Ltd. New York.

Box, G.E.P. and Muller, M.E. (1958). A Note on the Generation of Random Deviates. Ann. Math. Stat. 29:610-611.

Cernica, J.N. (1994). Geotechnical Engineering Soil Mechanics. Ph.D. Dissertation. Department of Civil Engineering. Youngstown State University.

Chalermyanont, T. and Benson, C.H. (2004). Reliability – Base Design for Internal Stability of Mechanically Stabilized Earth Walls. Journal of Geotechnical and Geoenvironmental Engineering. ASCE. 130(2):163-173.

Chalermyanont, T. and Benson, C.H. (2005). Reliability – Base Design for External Stability of Mechanically Stabilized Earth Walls. International Journal of Geomechanics @ASCE. 5(3):196-205.

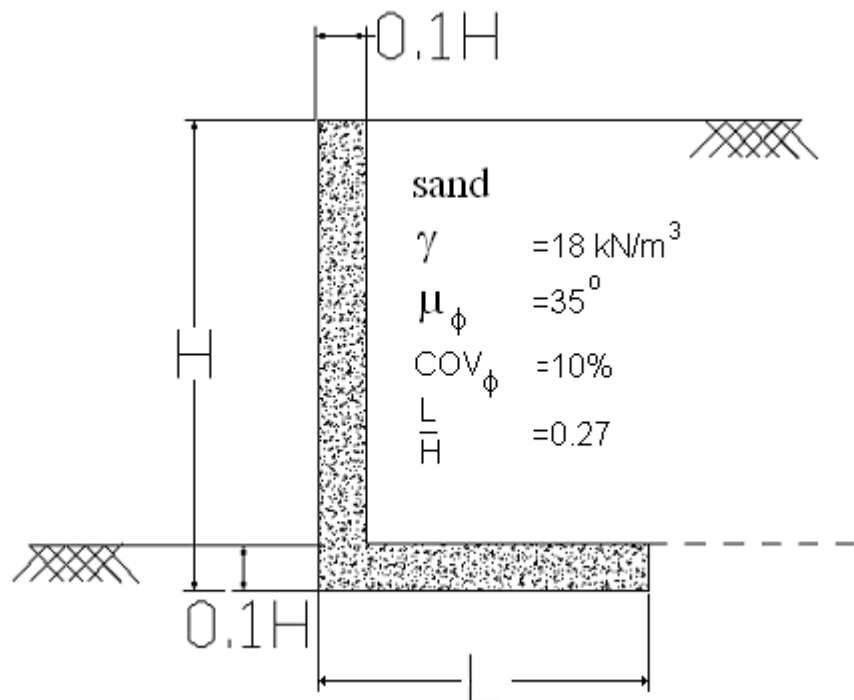
- Chalermyanont, T. and Benson, C.H. (2005). Method to Estimate The System Probability of Failure of Mechanically Stabilized Earth (MES) Walls. Slopes and Retaining Structures Under Seismic and Static Conditions, GSP No. 140, M. Gabr et al., eds., ASCE, Reston, VA, 1-15.
- Chalermyanont, T. and Rattanamanee, P. (2004). Probabilistic study of bearing capacity of strip footing on Cohesionless soil . Proceeding of the 9<sup>th</sup> National Convention on Civil Engineering. Cha-Am. Petchaburi. GTE 30-33
- Liu, C. and Evett, J.B. (2005). Soil and foundations. Prentice – Hall, Singapore.
- Degroot, D.J. (1996). Analyzing Spatial Variability of In Situ Soil Properties. Proceedings of Uncertainty. 96 . Geotechnical Special Publication No. 58. ASCE. 1:210-238
- Duncan, J.M. (2000). Factors of Safety and Reliability in Geotechnical Engineering . J. Geotech. Geoenviron. Eng. 126(4):307-316.
- Kulhawy, F.H., F. and Phoon, K.K. (1996) Engineering Judgment in The Evaluation from Deterministic to Reliability-Based Foundation Design Uncertainty' 96, Geotechnical Special Publication No. 58, ASCE, New York, 1, 29-48.
- Lian, Y., M. and Yen, B.C., F. (2003). Comparison of Risk Calculation Methods for a Culvert. Journal of Hydraulic Engineering. 129:140-152
- Low, B.K. and Tang, W. H. (1997). Reliability Analysis of Reinforced Embankments on Soft Ground . Canadian Geotechnical Journal. 34:672-685
- Phoon, K.K. and Kulhawy, F.H. (1999). Characterization of Geotechnical Variability. Canadian Geotechnical Journal. 36: 612- 624.
- Robert, V. (2000). Organizing and Evaluating Uncertainty in Geotechnical Engineering. Professor. Emeritus. Massachusetts Inst. of Technology. Cambridge.
- Teng, W.C. (1962). Foundation Design. Prentice – Hall, Englewood Cliffs, New Jersey.
- Wichmann , B. and Hill, D. (1987). Building a Random Number Generator. BYTE. March. 127-128.

## ภาคผนวก

### ภาคผนวก ก.

ขั้นตอนการคำนวณความแปรปรวนของค่าเสถียรภาพของกำแพงกันดิน  
ด้วยวิธี FOSM โดยใช้ค่า  $FS_s$

กรณีตัวอย่างแสดงการคำนวณความแปรปรวนของค่าเสถียรภาพของกำแพงกันดินด้วยวิธี FOSM โดยใช้ค่า  $FS_s$ , กำหนดให้ค่าเฉลี่ยมุมเสียดทานภายในของดิน ( $\mu_\phi$ ) =  $35^\circ$ , ค่าหน่วยน้ำหนักของดิน ( $\gamma$ ) =  $18 \text{ kN/m}^3$ , ค่าสัมประสิทธิ์แห่งความแปรผันของมุมเสียดทาน ( $COV_\phi$ ) =  $10\%$ , อัตราส่วนความกว้างต่อความสูงของกำแพงกันดิน ( $\frac{L}{H}$ ) =  $0.27$  มีขั้นตอนการคำนวณดังนี้



รูปที่ ก-1 กำแพงกันดินสำหรับการคำนวณกรณีตัวอย่าง

### 1) กำหนดค่าตัวแปรตั้งต้น

$$\mu_\phi = 35^\circ, \gamma = 18 \text{ kN/m}^3, COV_\phi = 10\%, \frac{L}{H} = 0.27$$

2) คำนวณค่าเฉลี่ยค่าอัตราส่วนความปลอดภัยสำหรับการพิบัติแบบเดือนไถด ( $\mu_{FS_s}$ )

$$\mu_{FS_s} = \frac{\sum W \tan(0.75\phi) + P_p}{P_a} \quad (\text{n - 1})$$

เมื่อ  $\sum W$  = ผลรวมของน้ำหนักดินตามและน้ำหนักของกำแพงกันดิน

$$= (0.1H \times 0.9H)\gamma_c + (L \times 0.1H)\gamma_c + 0.9H(L - 0.1H)\gamma$$

$$\gamma_c = \text{น้ำหนักของคอนกรีต } (24 \text{ kN/m}^3)$$

$$P_a = \text{แรงดันดินด้านข้างแบบ Active}$$

$$P_p = \text{แรงดันดินด้านข้างแบบ Passive}$$

$$\begin{aligned} \sum W &= (0.1 \times 1m \times 0.9 \times 1m) 24 \frac{kN}{m^3} + (0.27 \times m \times 0.1 \times 1m) 24 \frac{kN}{m^3} \\ &\quad + 0.9 \times 1m \times (0.27m - 0.1 \times 1m) 18 \frac{kN}{m^3} \end{aligned}$$

$$= 5.562 \text{ kN}$$

$$P_a = \frac{1}{2} K_a \gamma H^2 \quad (\text{n - 2})$$

$$P_p = \frac{1}{2} K_p \gamma h^2 \quad (\text{n - 3})$$

$$K_a = \frac{1 - \sin \phi}{1 + \sin \phi} \quad (\text{n - 4})$$

$$K_p = \frac{1 + \sin \phi}{1 - \sin \phi} \quad (\text{n - 5})$$

$$P_a = \frac{1}{2} \left( \frac{1 - \sin \phi}{1 + \sin \phi} \right) \gamma H^2 = \frac{1}{2} \left( \frac{1 - \sin 35^\circ}{1 + \sin 35^\circ} \right) 18 \frac{\text{kN}}{\text{m}^3} \times (1\text{m})^2$$

$$= 2.439 \text{ kN}$$

$$P_p = \frac{1}{2} \left( \frac{1 + \sin \phi}{1 - \sin \phi} \right) \gamma h^2 = \frac{1}{2} \left( \frac{1 + \sin 35^\circ}{1 - \sin 35^\circ} \right) 18 \frac{kN}{m^3} \times (0.1m)^2$$

$$= 0.332 \text{ kN}$$

$$\text{จะได้ } \mu_{FS_s} = \frac{(5.562kN)\tan(0.75 \times 35^\circ) + 0.332kN}{2.439kN} = 1.261$$

3) คำนวณความแปรปรวนของค่า  $FS_s$

$$FS = g(x_1, x_2, x_3, \dots, x_n) + e \quad (\text{n - 6})$$

$$V[FS] \approx \left[ \frac{\Delta FS}{\Delta \phi} \right]^2 [COV_\phi \cdot \mu_\phi]^2 \quad (\text{n - 7})$$

$$\sigma_{FS} = \sqrt{V[FS]} \quad (\text{n - 8})$$

เมื่อ  $g(x_i)$  = ฟังชันที่ใช้คำนวณค่าเสถียรภาพของโครงสร้าง

$$\Delta FS = g(\phi + 1^\circ) - g(\phi - 1^\circ)$$

$$\text{จะได้ } \Delta FS = g(35^\circ + 1^\circ) - g(35^\circ - 1^\circ) = g(36^\circ) - g(34^\circ)$$

$$P_a(36^\circ) = \frac{1}{2} \left( \frac{1 - \sin 36^\circ}{1 + \sin 36^\circ} \right) 18 \frac{kN}{m^3} \times (1m)^2$$

$$= 2.337 \text{ kN}$$

$$g(36^\circ) = FS_{s(36^\circ)} = \frac{(5.562kN)\tan(0.75 \times 35^\circ) + 0.332kN}{2.337kN} = 1.316$$

$$P_a(34^\circ) = \frac{1}{2} \left( \frac{1 - \sin 34^\circ}{1 + \sin 34^\circ} \right) 18 \frac{kN}{m^3} \times (1m)^2$$

$$= 2.544 \text{ kN}$$

$$g(34^\circ) = FS_{s(34^\circ)} = \frac{(5.562kN)\tan(0.75 \times 35^\circ) + 0.332kN}{2.544kN} = 1.209$$

$$\Delta FS_s = 1.316 - 1.209 = 0.108$$

$$V[FS_s] \approx \left[ \frac{0.107}{2} \right]^2 \left[ \frac{10}{100} \cdot 35^o \right]^2 \approx 0.036$$

$$\sigma_{FSs} = \sqrt{0.036} \approx 0.188$$

ดังนั้น  $\mu_{FS_s} = 1.261$   $\sigma_{FSs} = 0.438$

## ภาคผนวก ๔.

ค่าอัตราส่วนขนาดของโครงสร้างกำแพงกันดินสำหรับใช้พัฒนา

Design charts

ตารางที่ ๖ - ผลการคำนวณจากการหาค่าเสถียรภาพแบบ FS (Sliding mode) FOSM

sliding mode							
$\phi$ (degree)	COV $\phi$ (%)	P <sub>f</sub>	$\frac{L}{H}$	P <sub>f</sub>	$\frac{L}{H}$	P <sub>f</sub>	$\frac{L}{H}$
25	5	0.01	0.59	0.001	0.62	0.0001	0.64
30	5	0.01	0.39	0.001	0.41	0.0001	0.44
35	5	0.01	0.26	0.001	0.28	0.0001	0.30
40	5	0.01	0.16	0.001	0.19	0.0001	0.21
45	5	0.01	0.10	0.001	0.12	0.0001	0.14

25	10	0.01	0.68	0.001	0.76	0.0001	0.84
30	10	0.01	0.48	0.001	0.56	0.0001	0.64
35	10	0.01	0.34	0.001	0.43	0.0001	0.53
40	10	0.01	0.25	0.001	0.35	0.0001	0.50
45	10	0.01	0.19	0.001	0.33	0.0001	0.64

25	15	0.01	0.81	0.001	0.98	0.0001	1.19
30	15	0.01	0.61	0.001	0.82	0.0001	1.13
35	15	0.01	0.49	0.001	0.80	0.0001	1.52
40	15	0.01	0.43	0.001	1.11	0.0001	-
45	15	0.01	0.48	0.001	-	0.0001	-

25	20	0.01	0.98	0.001	1.36	0.0001	1.98
30	20	0.01	0.83	0.001	1.48	0.0001	3.82
35	20	0.01	0.80	0.001	3.34	0.0001	-
40	20	0.01	1.13	0.001	-	0.0001	-
45	20	0.01	-	0.001	-	0.0001	-

ตารางที่ ๖ - ๒ ผลการคำนวณจากการหาค่าเสถียรภาพแบบ FS (overturning mode) FOSM

overturning mode							
$\phi$ (degree)	COV $\phi$ (%)	P <sub>f</sub>	$\frac{L}{H}$	P <sub>f</sub>	$\frac{L}{H}$	P <sub>f</sub>	$\frac{L}{H}$
25	5	0.01	0.45	0.001	0.46	0.0001	0.47
30	5	0.01	0.42	0.001	0.43	0.0001	0.44
35	5	0.01	0.39	0.001	0.41	0.0001	0.42
40	5	0.01	0.37	0.001	0.38	0.0001	0.40
45	5	0.01	0.34	0.001	0.37	0.0001	-

25	10	0.01	0.48	0.001	0.51	0.0001	0.53
30	10	0.01	0.46	0.001	0.49	0.0001	0.52
35	10	0.01	0.44	0.001	0.48	0.0001	0.53
40	10	0.01	0.43	0.001	0.49	0.0001	0.57
45	10	0.01	0.43	0.001	0.53	0.0001	-

25	15	0.01	0.52	0.001	0.57	0.0001	0.61
30	15	0.01	0.51	0.001	0.58	0.0001	0.67
35	15	0.01	0.51	0.001	0.63	0.0001	0.84
40	15	0.01	0.54	0.001	0.80	0.0001	0.39
45	15	0.01	0.63	0.001	-	0.0001	-

25	20	0.01	0.57	0.001	0.65	0.0001	0.77
30	20	0.01	0.58	0.001	0.75	0.0001	1.15
35	20	0.01	0.63	0.001	1.20	0.0001	0.71
40	20	0.01	0.81	0.001	-	0.0001	-
45	20	0.01	-	0.001	-	0.0001	-

ตารางที่ ๖ - ๓ ผลการคำนวณจากการหาค่าเสถียรภาพแบบ FS (bearing capacity mode) FOSM

bearing capacity mode							
$\phi$ (degree)	COV $\phi$ (%)	P <sub>f</sub>	$\frac{L}{H}$	P <sub>f</sub>	$\frac{L}{H}$	P <sub>f</sub>	$\frac{L}{H}$
25	5	0.01	0.37	0.001	0.38	0.0001	0.38
30	5	0.01	0.29	0.001	0.30	0.0001	0.30
35	5	0.01	0.25	0.001	0.26	0.0001	0.26
40	5	0.01	0.22	0.001	0.23	0.0001	0.24
45	5	0.01	0.20	0.001	0.21	0.0001	0.22

25	10	0.01	0.39	0.001	0.40	0.0001	0.41
30	10	0.01	0.31	0.001	0.32	0.0001	0.33
35	10	0.01	0.27	0.001	0.28	0.0001	0.30
40	10	0.01	0.25	0.001	0.26	0.0001	0.27
45	10	0.01	0.23	0.001	0.24	0.0001	0.26

25	15	0.01	0.41	0.001	0.43	0.0001	0.44
30	15	0.01	0.33	0.001	0.35	0.0001	0.36
35	15	0.01	0.29	0.001	0.31	0.0001	0.33
40	15	0.01	0.27	0.001	0.29	0.0001	0.31
45	15	0.01	0.25	0.001	0.27	0.0001	0.29

25	20	0.01	0.43	0.001	0.45	0.0001	0.46
30	20	0.01	0.35	0.001	0.37	0.0001	0.39
35	20	0.01	0.31	0.001	0.34	0.0001	0.36
40	20	0.01	0.29	0.001	0.32	0.0001	0.34
45	20	0.01	0.27	0.001	0.30	0.0001	0.32

ตารางที่ ๔ - ผลการคำนวณจากการหาค่าเสถียรภาพแบบ SM (sliding mode) FOSM

sliding mode							
$\phi$ (degree)	COV $\phi$ (%)	P <sub>f</sub>	$\frac{L}{H}$	P <sub>f</sub>	$\frac{L}{H}$	P <sub>f</sub>	$\frac{L}{H}$
25	5	0.01	0.58	0.001	0.60	0.0001	0.62
30	5	0.01	0.38	0.001	0.40	0.0001	0.41
35	5	0.01	0.25	0.001	0.26	0.0001	0.27
40	5	0.01	0.15	0.001	0.17	0.0001	0.18
45	5	0.01	0.09	0.001	0.10	0.0001	0.10

25	10	0.01	0.64	0.001	0.69	0.0001	0.72
30	10	0.01	0.43	0.001	0.47	0.0001	0.50
35	10	0.01	0.29	0.001	0.32	0.0001	0.35
40	10	0.01	0.19	0.001	0.22	0.0001	0.24
45	10	0.01	0.12	0.001	0.14	0.0001	0.16

25	15	0.01	0.71	0.001	0.77	0.0001	0.83
30	15	0.01	0.49	0.001	0.54	0.0001	0.59
35	15	0.01	0.34	0.001	0.38	0.0001	0.42
40	15	0.01	0.23	0.001	0.27	0.0001	0.30
45	15	0.01	0.15	0.001	0.18	0.0001	0.21

25	20	0.01	0.77	0.001	0.86	0.0001	0.93
30	20	0.01	0.54	0.001	0.62	0.0001	0.68
35	20	0.01	0.39	0.001	0.45	0.0001	0.50
40	20	0.01	0.27	0.001	0.32	0.0001	0.36
45	20	0.01	0.18	0.001	0.22	0.0001	0.26

ตารางที่ ๖ - ๕ ผลการคำนวณจากการหาค่าเสถียรภาพแบบ SM (overturning mode) FOSM

overturning mode							
$\phi$ (degree)	COV $\phi$ (%)	P <sub>f</sub>	$\frac{L}{H}$	P <sub>f</sub>	$\frac{L}{H}$	P <sub>f</sub>	$\frac{L}{H}$
25	5	0.01	0.38	0.001	0.38	0.0001	0.39
30	5	0.01	0.34	0.001	0.35	0.0001	0.36
35	5	0.01	0.31	0.001	0.32	0.0001	0.33
40	5	0.01	0.28	0.001	0.29	0.0001	0.30
45	5	0.01	0.25	0.001	0.26	0.0001	0.27

25	10	0.01	0.40	0.001	0.41	0.0001	0.42
30	10	0.01	0.37	0.001	0.38	0.0001	0.39
35	10	0.01	0.34	0.001	0.35	0.0001	0.36
40	10	0.01	0.31	0.001	0.32	0.0001	0.34
45	10	0.01	0.28	0.001	0.30	0.0001	0.31

25	15	0.01	0.41	0.001	0.43	0.0001	0.44
30	15	0.01	0.39	0.001	0.40	0.0001	0.42
35	15	0.01	0.36	0.001	0.38	0.0001	0.40
40	15	0.01	0.33	0.001	0.35	0.0001	0.37
45	15	0.01	0.31	0.001	0.33	0.0001	0.35

25	20	0.01	0.43	0.001	0.45	0.0001	0.47
30	20	0.01	0.41	0.001	0.43	0.0001	0.45
35	20	0.01	0.38	0.001	0.40	0.0001	0.42
40	20	0.01	0.35	0.001	0.38	0.0001	0.40
45	20	0.01	0.33	0.001	0.36	0.0001	0.38

ตารางที่ ๖ ผลการคำนวณจากการหาค่าเสถียรภาพแบบ SM (bearing capacity mode) FOSM

bearing capacity mode							
$\phi$ (degree)	COV $\phi$ (%)	P <sub>f</sub>	$\frac{L}{H}$	P <sub>f</sub>	$\frac{L}{H}$	P <sub>f</sub>	$\frac{L}{H}$
25	5	0.01	0.37	0.001	0.38	0.0001	0.38
30	5	0.01	0.29	0.001	0.30	0.0001	0.30
35	5	0.01	0.25	0.001	0.26	0.0001	0.26
40	5	0.01	0.22	0.001	0.23	0.0001	0.24
45	5	0.01	0.20	0.001	0.21	0.0001	0.22

25	10	0.01	0.39	0.001	0.40	0.0001	0.41
30	10	0.01	0.31	0.001	0.32	0.0001	0.33
35	10	0.01	0.27	0.001	0.28	0.0001	0.30
40	10	0.01	0.25	0.001	0.26	0.0001	0.27
45	10	0.01	0.23	0.001	0.24	0.0001	0.26

25	15	0.01	0.41	0.001	0.43	0.0001	0.44
30	15	0.01	0.33	0.001	0.35	0.0001	0.36
35	15	0.01	0.29	0.001	0.31	0.0001	0.33
40	15	0.01	0.27	0.001	0.29	0.0001	0.31
45	15	0.01	0.25	0.001	0.27	0.0001	0.29

25	20	0.01	0.43	0.001	0.45	0.0001	0.46
30	20	0.01	0.35	0.001	0.37	0.0001	0.39
35	20	0.01	0.31	0.001	0.34	0.0001	0.36
40	20	0.01	0.29	0.001	0.32	0.0001	0.34
45	20	0.01	0.27	0.001	0.30	0.0001	0.32

ตารางที่ ๖ - ๗ ผลการคำนวณจากการหาค่าเสถียรภาพแบบ FS (Sliding mode) MCS

sliding mode							
$\phi$ (degree)	COV $\phi$ (%)	P <sub>f</sub>	$\frac{L}{H}$	P <sub>f</sub>	$\frac{L}{H}$	P <sub>f</sub>	$\frac{L}{H}$
25	5	0.01	0.58	0.001	0.60	0.0001	0.61
30	5	0.01	0.38	0.001	0.40	0.0001	0.41
35	5	0.01	0.24	0.001	0.26	0.0001	0.27
40	5	0.01	0.15	0.001	0.16	0.0001	0.17
45	5	0.01	0.08	0.001	0.08	0.0001	0.09

25	10	0.01	0.65	0.001	0.70	0.0001	0.72
30	10	0.01	0.44	0.001	0.48	0.0001	0.50
35	10	0.01	0.29	0.001	0.33	0.0001	0.35
40	10	0.01	0.19	0.001	0.21	0.0001	0.23
45	10	0.01	0.10	0.001	0.12	0.0001	0.14

25	15	0.01	0.73	0.001	0.81	0.0001	0.85
30	15	0.01	0.50	0.001	0.57	0.0001	0.61
35	15	0.01	0.35	0.001	0.41	0.0001	0.44
40	15	0.01	0.23	0.001	0.28	0.0001	0.31
45	15	0.01	0.14	0.001	0.17	0.0001	0.20

25	20	0.01	0.81	0.001	0.93	0.0001	1.00
30	20	0.01	0.58	0.001	0.68	0.0001	0.76
35	20	0.01	0.41	0.001	0.50	0.0001	0.56
40	20	0.01	0.28	0.001	0.36	0.0001	0.42
45	20	0.01	0.17	0.001	0.23	0.0001	0.27

ตารางที่ ๘ - ผลการคำนวณจากการหาค่าเสถียรภาพแบบ FS (overturning mode) MCS

overturning mode							
$\phi$ (degree)	COV $\phi$ (%)	P <sub>f</sub>	$\frac{L}{H}$	P <sub>f</sub>	$\frac{L}{H}$	P <sub>f</sub>	$\frac{L}{H}$
25	5	0.01	0.45	0.001	0.46	0.0001	0.46
30	5	0.01	0.42	0.001	0.43	0.0001	0.43
35	5	0.01	0.39	0.001	0.40	0.0001	0.40
40	5	0.01	0.36	0.001	0.37	0.0001	0.37
45	5	0.01	0.33	0.001	0.34	0.0001	0.34

25	10	0.01	0.47	0.001	0.49	0.0001	0.50
30	10	0.01	0.45	0.001	0.46	0.0001	0.47
35	10	0.01	0.42	0.001	0.44	0.0001	0.45
40	10	0.01	0.39	0.001	0.41	0.0001	0.42
45	10	0.01	0.36	0.001	0.39	0.0001	0.40

25	15	0.01	0.50	0.001	0.52	0.0001	0.54
30	15	0.01	0.47	0.001	0.50	0.0001	0.52
35	15	0.01	0.45	0.001	0.48	0.0001	0.50
40	15	0.01	0.42	0.001	0.46	0.0001	0.48
45	15	0.01	0.40	0.001	0.44	0.0001	0.46

25	20	0.01	0.52	0.001	0.55	0.0001	0.57
30	20	0.01	0.50	0.001	0.54	0.0001	0.56
35	20	0.01	0.48	0.001	0.52	0.0001	0.55
40	20	0.01	0.45	0.001	0.50	0.0001	0.53
45	20	0.01	0.43	0.001	0.49	0.0001	0.52

ตารางที่ ๖ - ๙ ผลการคำนวณจากการหาค่าเสถียรภาพแบบ FS (bearing capacity mode) MCS

bearing capacity mode							
$\phi$ (degree)	COV $\phi$ (%)	P <sub>f</sub>	$\frac{L}{H}$	P <sub>f</sub>	$\frac{L}{H}$	P <sub>f</sub>	$\frac{L}{H}$
25	5	0.01	0.37	0.001	0.38	0.0001	0.39
30	5	0.01	0.29	0.001	0.30	0.0001	0.30
35	5	0.01	0.25	0.001	0.26	0.0001	0.26
40	5	0.01	0.22	0.001	0.23	0.0001	0.24
45	5	0.01	0.20	0.001	0.21	0.0001	0.22

25	10	0.01	0.39	0.001	0.41	0.0001	0.42
30	10	0.01	0.32	0.001	0.33	0.0001	0.34
35	10	0.01	0.28	0.001	0.30	0.0001	0.31
40	10	0.01	0.25	0.001	0.27	0.0001	0.29
45	10	0.01	0.24	0.001	0.26	0.0001	0.27

25	15	0.01	0.42	0.001	0.44	0.0001	0.45
30	15	0.01	0.34	0.001	0.37	0.0001	0.38
35	15	0.01	0.30	0.001	0.33	0.0001	0.35
40	15	0.01	0.28	0.001	0.32	0.0001	0.34
45	15	0.01	0.27	0.001	0.30	0.0001	0.33

25	20	0.01	0.44	0.001	0.47	0.0001	0.49
30	20	0.01	0.37	0.001	0.40	0.0001	0.43
35	20	0.01	0.33	0.001	0.37	0.0001	0.41
40	20	0.01	0.31	0.001	0.36	0.0001	0.40
45	20	0.01	0.30	0.001	0.36	0.0001	0.39

ตารางที่ ข - 10 ผลการคำนวณจากการหาค่าเสถียรภาพแบบ SM (Sliding mode) MCS

sliding mode							
$\phi$ (degree)	COV $\phi$ (%)	P <sub>f</sub>	$\frac{L}{H}$	P <sub>f</sub>	$\frac{L}{H}$	P <sub>f</sub>	$\frac{L}{H}$
25	5	0.01	0.58	0.001	0.61	0.0001	0.62
30	5	0.01	0.38	0.001	0.40	0.0001	0.42
35	5	0.01	0.25	0.001	0.27	0.0001	0.28
40	5	0.01	0.16	0.001	0.17	0.0001	0.18
45	5	0.01	0.09	0.001	0.10	0.0001	0.11

25	10	0.01	0.65	0.001	0.71	0.0001	0.74
30	10	0.01	0.45	0.001	0.49	0.0001	0.52
35	10	0.01	0.30	0.001	0.35	0.0001	0.37
40	10	0.01	0.20	0.001	0.24	0.0001	0.26
45	10	0.01	0.13	0.001	0.16	0.0001	0.18

25	15	0.01	0.73	0.001	0.82	0.0001	0.88
30	15	0.01	0.52	0.001	0.60	0.0001	0.64
35	15	0.01	0.36	0.001	0.44	0.0001	0.48
40	15	0.01	0.26	0.001	0.32	0.0001	0.36
45	15	0.01	0.17	0.001	0.23	0.0001	0.27

25	20	0.01	0.82	0.001	0.95	0.0001	1.03
30	20	0.01	0.59	0.001	0.71	0.0001	0.79
35	20	0.01	0.43	0.001	0.54	0.0001	0.61
40	20	0.01	0.32	0.001	0.42	0.0001	0.48
45	20	0.01	0.23	0.001	0.32	0.0001	0.38

ตารางที่ ข - 11 ผลการคำนวณจากการหาค่าเสถียรภาพแบบ SM (overturning mode) MCS

overturning mode							
$\phi$ (degree)	COV $\phi$ (%)	P <sub>f</sub>	$\frac{L}{H}$	P <sub>f</sub>	$\frac{L}{H}$	P <sub>f</sub>	$\frac{L}{H}$
25	5	0.01	0.38	0.001	0.38	0.0001	0.39
30	5	0.01	0.35	0.001	0.35	0.0001	0.36
35	5	0.01	0.32	0.001	0.32	0.0001	0.33
40	5	0.01	0.29	0.001	0.30	0.0001	0.30
45	5	0.01	0.26	0.001	0.27	0.0001	0.27

25	10	0.01	0.40	0.001	0.41	0.0001	0.42
30	10	0.01	0.37	0.001	0.39	0.0001	0.40
35	10	0.01	0.34	0.001	0.36	0.0001	0.37
40	10	0.01	0.32	0.001	0.34	0.0001	0.35
45	10	0.01	0.29	0.001	0.31	0.0001	0.33

25	15	0.01	0.42	0.001	0.44	0.0001	0.46
30	15	0.01	0.40	0.001	0.42	0.0001	0.44
35	15	0.01	0.37	0.001	0.40	0.0001	0.42
40	15	0.01	0.35	0.001	0.38	0.0001	0.40
45	15	0.01	0.32	0.001	0.36	0.0001	0.38

25	20	0.01	0.44	0.001	0.48	0.0001	0.50
30	20	0.01	0.42	0.001	0.46	0.0001	0.48
35	20	0.01	0.40	0.001	0.44	0.0001	0.47
40	20	0.01	0.38	0.001	0.43	0.0001	0.46
45	20	0.01	0.36	0.001	0.41	0.0001	0.44

ตารางที่ ข - 12 ผลการคำนวณจากการหาค่าเสถียรภาพแบบ SM (bearing capacity mode) MCS

bearing capacity mode							
$\phi$ (degree)	COV $\phi$ (%)	P <sub>f</sub>	$\frac{L}{H}$	P <sub>f</sub>	$\frac{L}{H}$	P <sub>f</sub>	$\frac{L}{H}$
25	5	0.01	0.37	0.001	0.38	0.0001	0.39
30	5	0.01	0.29	0.001	0.30	0.0001	0.30
35	5	0.01	0.25	0.001	0.26	0.0001	0.26
40	5	0.01	0.22	0.001	0.23	0.0001	0.24
45	5	0.01	0.20	0.001	0.21	0.0001	0.22

25	10	0.01	0.39	0.001	0.41	0.0001	0.42
30	10	0.01	0.32	0.001	0.33	0.0001	0.34
35	10	0.01	0.28	0.001	0.30	0.0001	0.31
40	10	0.01	0.25	0.001	0.27	0.0001	0.28
45	10	0.01	0.24	0.001	0.26	0.0001	0.27

25	15	0.01	0.42	0.001	0.44	0.0001	0.45
30	15	0.01	0.34	0.001	0.37	0.0001	0.38
35	15	0.01	0.30	0.001	0.33	0.0001	0.35
40	15	0.01	0.28	0.001	0.32	0.0001	0.33
45	15	0.01	0.27	0.001	0.30	0.0001	0.33

25	20	0.01	0.44	0.001	0.47	0.0001	0.49
30	20	0.01	0.37	0.001	0.40	0.0001	0.42
35	20	0.01	0.33	0.001	0.37	0.0001	0.40
40	20	0.01	0.31	0.001	0.36	0.0001	0.39
45	20	0.01	0.30	0.001	0.36	0.0001	0.39

## ประวัติผู้เขียน

ชื่อ สกุล นายศุภิศิริ จริยะเลอพงษ์

รหัสประจำตัวนักศึกษา 4910120043

### วุฒิการศึกษา

วุฒิ ชื่อสถาบัน ปีที่สำเร็จการศึกษา

วิศวกรรมศาสตรบัณฑิต มหาวิทยาลัยสงขลานครินทร์ 2548  
(วิศวกรรมโยธา)

### ทุนการศึกษา (ที่ได้รับในระหว่างการศึกษา)

ทุนคิมย์กันกุฎิกะวิศวกรรมศาสตร์ มหาวิทยาลัยสงขลานครินทร์ ปีการศึกษา 2549-2551

### การตีพิมพ์เผยแพร่ผลงาน

ศุภิศิริ จริยะเลอพงษ์, ชนิด เนลิมยานนท์ และ พิพัฒน์ ทองจิม (2551). การออกแบบกำแพงกันดินโดยความน่าจะเป็น: การประชุมวิชาการวิศวกรรมโยธาแห่งชาติ ครั้งที่ 13, 14 - 16 พฤษภาคม 2551 โรงแรมจอมเทียนปัลเมร์ พัทยา จังหวัดชลบุรี